



**Universidade Federal do Rio Grande do Norte  
Centro de Ciências Exatas e da Terra  
Departamento de Informática e Matemática Aplicada  
Curso de Ciências da Computação**



# **ALGUMAS EVIDÊNCIAS COMPUTACIONAIS DA INFINITUDE DOS NÚMEROS PRIMOS DE FIBONACCI E GENERALIZAÇÕES DESTES**

**Aluno: Ricardo Alexandre da Rocha Dias  
Orientador: Benjamín René Callejas Bedregal**

**NATAL – RN  
2008**

RICARDO ALEXANDRE DA ROCHA DIAS

**ALGUMAS EVIDÊNCIAS COMPUTACIONAIS DA  
INFINITUDE DOS NÚMEROS PRIMOS DE FIBONACCI  
E GENERALIZAÇÕES DESTES**

Monografia apresentada à disciplina Relatório de Graduação, ministrada pelo professor Martin Alejandro Musicante para fins de avaliação da disciplina e como requisito para conclusão do curso de Ciências da Computação do Departamento de Informática e Matemática Aplicada da Universidade Federal do Rio Grande do Norte.

Orientador: Prof. Dr. Benjamín René Callejas Bedregal

Natal – RN

2008

RICARDO ALEXANDRE DA ROCHA DIAS

**ALGUMAS EVIDÊNCIAS COMPUTACIONAIS DA  
INFINITUDE DOS NÚMEROS PRIMOS DE FIBONACCI  
E GENERALIZAÇÕES DESTES**

Monografia apresentada à disciplina Relatório de Graduação, ministrada pelo professor Martin Alejandro Musicante para fins de avaliação da disciplina e como requisito para conclusão do curso de Ciências da Computação do Departamento de Informática e Matemática Aplicada da Universidade Federal do Rio Grande do Norte.

MONOGRAFIA APROVADA EM 26/06/2008

BANCA EXAMINADORA

---

Professor: Benjamín René Callejas Bedregal  
DIMAp - UFRN

---

Professora: Márcia Maria de Castro Cruz  
Departamento de Matemática - UFRN

---

Professor: Roque Mendes Prado Trindade  
DCE - UESB

Aos meus familiares e aos meus amigos.

## **AGRADECIMENTOS**

A Deus, por ter me concedido o dom da vida e ter me dado a graça de, na liberdade, concluir o curso de Ciências da Computação.

A minha mãe, tia e avó, por terem feito de suas vidas completa doação para que eu atingisse cada um dos meus objetivos.

A minha família, pelas constantes palavras de incentivo e por confiarem e acreditarem em mim.

Ao meu orientador Prof. Benjamín René Callejas Bedregal, por sua constante paciência, disponibilidade e entusiasmo que possibilitaram a conclusão do presente trabalho.

Aos professores, por terem contribuído com seus conhecimentos, conselhos e exemplos para minha formação acadêmica, profissional e pessoal.

Aos meus amigos e colegas de curso, pelo dia-a-dia ao longo desses anos, pelos sábados e domingos sacrificados para estudos e trabalhos.

## RESUMO

Este trabalho apresenta um estudo sobre os números primos e números de fibonacci, objetivando alcançar algumas evidências computacionais para a conjectura que diz que: “Existem infinitos números de Fibonacci primos”, através dos testes realizados. São abordadas algumas generalizações dos números de Fibonacci, como a já conhecida seqüência dos números de Lucas, além de outras generalizações de iniciativa própria. Trata também de alguns conceitos-chave da Teoria dos números, sobre as propriedades concernentes aos primos que servem de base para muitos dos algoritmos de primalidade explicados brevemente aqui. Resultados teóricos e computacionais são explicitados e finalizamos com algumas conclusões sobre o trabalho.

**Palavras-chave:** números primos, números de Fibonacci, testes de primalidade, números de Lucas.

## **ABSTRACT**

This work presents a study about prime numbers and Fibonacci numbers, trying to achieve some computational evidence for the conjecture: “There are infinite Fibonacci prime numbers”, using some tests. Some others generalized Fibonacci numbers approach, like Lucas Numbers and others generalizations, are studied here. Number Theory’s fundamental concepts are presented, as well properties of prime numbers that are the basis for primality testing algorithms. Theoric and computational results are explained. It finishes with the conclusion about the subject.

**Keywords:** prime numbers, Fibonacci numbers, primality test, Lucas numbers.

## LISTA DE ILUSTRAÇÕES

Figura 2.1 – Árvore Genealógica da abelha macho .....	39
Figura 2.2 – Incidência dos raios .....	40
Figura 2.3 – Tabuleiro com 64 quadrados e retângulo com 65 quadrados .....	41
Figura 2.4 – Soma dos números de Fibonacci até $n$ .....	42
Figura 2.5 – Triângulo de Pascal modificado .....	48
Figura 5.1 – Plataforma de desenvolvimento Eclipse .....	71



## LISTA DE TABELAS

Tabela 1.1	- Comparativo de seqüências .....	21
Tabela 2.1	- Primos palindrômicos da base binária .....	37
Tabela 2.2	- Quantidade de coelhos por mês (a) .....	38
Tabela 2.3	- Quantidade de coelhos por mês (b) .....	38
Tabela 2.4	- Quantidade de coelhos por mês (c) .....	38
Tabela 2.5	- Primeiros números de Fibonacci .....	43
Tabela 2.6	- Primeiros números de Fibonacci deslocados .....	43
Tabela 2.7	- Primeiros números de Lucas .....	44
Tabela 2.8	- Comparativo das seqüências de Lucas e Fibonacci .....	44
Tabela 2.9	- Relação entre os números de Lucas e Fibonacci (a) .....	45
Tabela 2.10	- Relação entre os números de Lucas e Fibonacci (b) .....	45
Tabela 2.11	- Relação entre os números de Lucas e Fibonacci (c) .....	45
Tabela 2.12	- Relação entre os números de Lucas e Fibonacci (d) .....	46
Tabela 2.13	- Relação entre os números de Lucas e Fibonacci (e) .....	47
Tabela 2.14	- Relação entre os números de Lucas e Fibonacci (f) .....	47
Tabela 2.15	- Relação entre os números de Lucas e Fibonacci (g) .....	47
Tabela 2.16	- Cálculo do elemento $L_2$ .....	49
Tabela 2.17	- Cálculo do elemento $L_4$ .....	49
Tabela 2.18	- Características do Crivo de Eratosthenes .....	53
Tabela 2.19	- Características do Teste Clássico 1 .....	54
Tabela 2.20	- Características do Teste Clássico 2 .....	55
Tabela 2.21	- Características do Teste de primalidade de Fermat .....	56
Tabela 2.22	- Características do Teste de primalidade de Lucas .....	57
Tabela 2.23	- Características do Teste de primalidade AKS .....	59
Tabela 2.24	- Característica do Teste de primalidade Miller-Rabin .....	60
Tabela 3.1	- Generalização I .....	61
Tabela 3.2	- Generalização II (a) .....	62
Tabela 3.3	- Generalização II (b) .....	62
Tabela 4.1	- Números de Fibonacci .....	63
Tabela 4.2	- Se $x \bmod d = 0$ , $F_x$ é múltiplo de $m$ .....	63
Tabela 4.3	- Números de Lucas .....	65
Tabela 4.4	- Padrões nos números de Lucas .....	65

Tabela 4.5 -	Números da seqüência com $k = 2$ , $G_1 = 2$ e $G_2 = 5$ .....	66
Tabela 4.6 -	Números da seqüência com $k = 2$ , $G_1 = 3$ e $G_2 = 7$ .....	67
Tabela 4.7 -	Números da seqüência com $k = 3$ , $G_1 = 1$ , $G_2 = 2$ e $G_3 = 3$ ..	68
Tabela 4.8 -	Números da seqüência com $k = 4$ , $G_1 = 1$ , $G_2 = 2$ , $G_3 = 3$ e $G_4 = 4$ .....	69
Tabela 4.9 -	Números da seqüência em tabala 5x5 .....	69
Tabela 4.10 -	Padrões dos números da seqüência .....	69
Tabela 6.1 -	Dados da seqüência de Fibonacci .....	75
Tabela 6.2 -	Índices dos primos de Fibonacci e quantidades de dígitos destes .....	76
Tabela 6.3 -	Índices / número de dígitos .....	77
Tabela 6.4 -	Quantidade de primos de Fibonacci x Intervalo desta seqüência .....	78
Tabela 6.5 -	Dados da seqüência de Lucas .....	79
Tabela 6.6 -	Índices dos primos de Lucas e quantidades de dígitos destes .....	80
Tabela 6.7 -	Quantidade de primos de Lucas x Intervalo desta seqüência .....	81
Tabela 6.8 -	Dados da seqüência com $k = 2$ , $G_1 = 2$ e $G_2 = 5$ .....	82
Tabela 6.9 -	Índices dos primos da seqüência com $k = 2$ , $G_1 = 2$ e $G_2 = 5$ e quantidades de dígitos destes .....	83
Tabela 6.10 -	Quantidade de primos da seqüência com $k = 2$ , $G_1 = 2$ e $G_2 = 5$ x Intervalo desta seqüência .....	84
Tabela 6.11 -	Dados da seqüência com $k = 2$ , $G_1 = 3$ e $G_2 = 7$ .....	85
Tabela 6.12 -	Índices dos primos da seqüência com $k = 2$ , $G_1 = 3$ e $G_2 = 7$ e quantidades de dígitos destes .....	86
Tabela 6.13 -	Quantidade de primos da seqüência com $k = 2$ , $G_1 = 3$ e $G_2 = 7$ x Intervalo desta seqüência .....	86
Tabela 6.14 -	Dados da seqüência com $k = 3$ , $G_1 = 1$ , $G_2 = 2$ e $G_3 = 3$ .....	87
Tabela 6.15 -	Índices dos primos da seqüência com $k = 3$ , $G_1 = 1$ , $G_2 = 2$ e $G_3 = 3$ e quantidades de dígitos destes .....	88
Tabela 6.16 -	Quantidade de primos da seqüência com $k = 3$ , $G_1 = 1$ ,	

	$G_2 = 2$ e $G_3 = 3$ x Intervalo desta seqüência .....	88
Tabela 6.17 -	Dados da seqüência com $k = 4$ , $G_1 = 1$ , $G_2 = 2$ , $G_3 = 3$ e $G_4 = 4$ .....	89
Tabela 6.18 -	Índices dos primos da seqüência com $k = 4$ , $G_1 = 1$ , $G_2 = 2$ , $G_3 = 3$ e $G_4 = 4$ e quantidades de dígitos destes .....	89
Tabela 6.19 -	Quantidade de primos da seqüência com $k = 4$ , $G_1 = 1$ , $G_2 = 2$ , $G_3 = 3$ e $G_4 = 4$ x Intervalo desta seqüência .....	89
Tabela 7.1 -	Primeiros números da generalização $k = 3$ , $G_1 = 1$ , $G_2 = 3$ e $G_3 = 4$ .....	90
Tabela 7.2 -	Tabela de índices dos primeiros primos das seqüências de Lucas e de Fibonacci .....	93

## LISTA DE ABREVIATURAS E SIGLAS

$F_n$ ou $F_x$	Elemento da seqüência de Fibonacci
$L_n$ ou $L_x$	Elemento da seqüência de Lucas
$G_n$ ou $G_x$	Elemento de uma seqüência generalizada
$m \mid n$	$m$ divide $n$
$m \nmid n$	$m$ não divide $n$
$mdc$	Máximo divisor comum
$mmc$	Mínimo múltiplo comum
$max$	Maior valor de um conjunto
$>$	Maior que
$<$	Menor que
$\leq$	Menor ou igual que
$\geq$	Maior ou igual que
$\neq$	Diferente
$\equiv$	Congruência
$\not\equiv$	Não congruência
$!$	Fatorial
$\binom{p}{k}$	Combinação
$\log$	Logaritmo na base 2
$\left(\frac{a}{b}\right)$	Símbolo de Legendre
$(a,b)$	Intervalo aberto à esquerda e à direita
$[a,b]$	Intervalo fechado à esquerda e à direita
$O( )$	Complexidade de pior tempo
$\mathbb{Z}$	Conjunto dos números inteiros
$\mathbb{N}$	Conjunto dos números naturais
$\wedge$	E lógico
$\vee$	Ou lógico
$\in$	Pertence

$\notin$	Não pertence
$\cup$	União
$\cap$	Intersecção
$\approx$	Aproximadamente
$\cong$	Semelhante

# SUMÁRIO

<b>1</b>	<b>INTRODUÇÃO</b>	15
1.1	MOTIVAÇÃO	16
1.2	HISTÓRIA DOS NÚMEROS PRIMOS	17
1.3	IMPORTÂNCIA DOS NÚMEROS PRIMOS	18
1.4	BREVE INTRODUÇÃO À HISTÓRIA DOS NÚMEROS DE FIBONACCI	19
1.5	OBJETIVOS	20
1.6	ABORDAGEM DOS CAPÍTULOS	22
<b>2</b>	<b>CONCEITOS FUNDAMENTAIS</b>	24
2.1	TEORIA DOS NÚMEROS	24
2.1.1	Divisibilidade	24
2.1.2	MMC – Mínimo Múltiplo Comum	25
2.1.3	MDC – Máximo Divisor Comum	25
2.1.4	Números Primos	26
2.1.5	Congruência	28
2.1.6	Pequeno Teorema de Fermat	29
2.1.7	Algoritmo de Euclides	29
2.1.8	Tipos de Números Primos	32
2.1.8.1	Números Primos de Sophie Germain	33
2.1.8.2	Números Primos de Wieferich	33
2.1.8.3	Pares de Wieferich	33
2.1.8.4	Números Primos de Wilson	34
2.1.8.5	Números Primos de Mersenne	34
2.1.8.6	Números Primos de Fermat	35
2.1.8.7	Números Primos de Wall-Sun-Sun	36
2.1.8.8	Números Primos Palindrômicos	36
2.1.8.9	Números Primos de Fibonacci	37
2.2	NÚMEROS DE FIBONACCI	37
2.3	NÚMEROS DE LUCAS	43
2.4	TESTES DE PRIMALIDADE	50

2.4.1	Crivo de Eratosthenes .....	53
2.4.2	Alguns Testes Clássicos baseados em congruência .....	54
2.4.3	Teste de Primalidade de Fermat .....	55
2.4.4	Teste de Primalidade de Lucas-Lehmer .....	56
2.4.5	Teste de Primalidade AKS .....	57
2.4.6	Teste de Primalidade Miller-Rabin .....	59
<b>3</b>	<b>GENERALIZAÇÕES</b> .....	<b>61</b>
3.1	GENERALIZAÇÕES I .....	61
3.2	GENERALIZAÇÕES II .....	62
<b>4</b>	<b>RESULTADOS TEÓRICOS</b> .....	<b>63</b>
4.1	RESULTADOS TEÓRICOS PARA OS NÚMEROS DE FIBONACCI ..	63
4.2	RESULTADOS TEÓRICOS PARA OS NÚMEROS DE LUCAS .....	64
4.3	RESULTADOS TEÓRICOS PARA GENERALIZAÇÃO $k = 2$ , $G_1 = 2$ e $G_2 = 5$ .....	66
4.4	RESULTADOS TEÓRICOS PARA GENERALIZAÇÃO $k = 2$ , $G_1 = 3$ e $G_2 = 7$ .....	67
4.5	RESULTADOS TEÓRICOS PARA GENERALIZAÇÃO $k = 3$ , $G_1 = 1$ , $G_2 = 2$ e $G_3 = 3$ .....	68
4.6	RESULTADOS TEÓRICOS PARA GENERALIZAÇÃO $k = 4$ , $G_1 = 1$ , $G_2 = 2$ , $G_3 = 3$ e $G_4 = 4$ .....	69
<b>5</b>	<b>TESTES COMPUTACIONAIS</b> .....	<b>71</b>
<b>6</b>	<b>RESULTADOS COMPUTACIONAIS</b> .....	<b>75</b>
6.1	RESULTADOS COMPUTACIONAIS PARA OS NÚMEROS DE FIBONACCI .....	75
6.2	RESULTADOS COMPUTACIONAIS PARA OS NÚMEROS DE LUCAS .....	79
6.3	RESULTADOS COMPUTACIONAIS PARA GENERALIZAÇÃO $k = 2$ , $G_1 = 2$ e $G_2 = 5$ .....	82
6.4	RESULTADOS COMPUTACIONAIS PARA GENERALIZAÇÃO $k = 2$ , $G_1 = 2$ e $G_2 = 5$ .....	85
6.5	RESULTADOS COMPUTACIONAIS PARA GENERALIZAÇÃO $k = 3$ ,	

$G_1 = 1, G_2 = 2$ e $G_3 = 3$ .....	87
6.6 RESULTADOS COMPUTACIONAIS PARA GENERALIZAÇÃO $k = 4$ , $G_1 = 1, G_2 = 2, G_3 = 3$ e $G_4 = 4$ .....	88
<b>7 CONSIDERAÇÕES FINAIS</b> .....	90
<b>REFERÊNCIAS</b> .....	95
<b>ANEXOS</b> .....	100



# 1. INTRODUÇÃO

A Teoria dos Números é uma área da matemática que trata sobre os números inteiros e suas propriedades. O estudo dos números inteiros teve início com os matemáticos gregos ao redor de 500 A.C. E embora com mais de 2500 anos de estudos e pesquisas na área, algumas questões simples, porém, interessantes, ainda continuam em aberto, ou seja, sem resposta nem positiva nem negativa, e algumas outras tiveram resposta apenas recentemente. Por isso, este tema continua a fascinar e desafiar estudiosos pela sua natureza simples e misteriosa.

O presente trabalho relaciona duas classes de números inteiros positivos importantes e vastos na teoria dos números: os Números Primos e os Números de Fibonacci.

Os números primos têm despertado curiosidade e fascínio desde tempos remotos. Sua disposição, o modo como eles se encontram dentro da seqüência dos números naturais parece ser, ainda hoje e para muitos, bastante irregular, não há como prever quando aparecerá um novo primo.

No século XIII de forma fortuita, surgiu uma seqüência especial de números que talvez seja uma das mais simples de todas. Os números desta seqüência são conhecidos por números de Fibonacci, e são definidos através de recorrência.

Existem algumas conjecturas que relacionam números primos e números de Fibonacci. Uma delas diz que: “Existem infinitos números primos de Fibonacci”. No entanto, não existe nenhuma prova que ateste a veracidade desta conjectura. Será que realmente existem infinitos números primos na seqüência dos famosos números de Fibonacci?

## 1.1. MOTIVAÇÃO

Como dito na introdução, existem ainda muitas questões acerca dos números primos que ainda não foram respondidas. Muitas conjecturas famosas e que, provavelmente, têm muita probabilidade de serem verdadeiras serão citadas abaixo:

- **Números primos euclidianos:** não se sabe se estes números são infinitos ou não.
- **Conjectura de Goldbach (forte):** todo número inteiro par maior que 2 pode ser escrito como a soma de primos.
- **Conjectura de Goldbach (fraca):** todo número inteiro ímpar maior que cinco pode ser escrito como a soma de três primos.
- **Conjectura dos primos gêmeos:** existem infinitos primos gêmeos, pares de primos cuja diferença é 2.
- Acredita-se que existem infinitos números primos de Mersenne, mas não de Fermat.
- É conjecturado que existem infinitos primos de Fibonacci.
- **Conjectura de Legendre:** Existe um número primo entre  $n^2$  e  $(n+1)^2$  para todo inteiro positivo  $n$ .
- **Conjectura de Brocard:** Há sempre, no mínimo, quatro primos entre os quadrados de primos consecutivos maiores que 2.

O presente trabalho se relaciona com a conjectura que envolve os números de Fibonacci.

## 1.2. HISTÓRIA DOS NÚMEROS PRIMOS

Há evidências, em registros dos antigos egípcios, de que eles tenham algum conhecimento sobre número primos. O Papiro egípcio de Ahmes ou de Rhind, de cerca de 1650 A.C, era um papiro onde um escriba de nome Ahmes ensinava as soluções de 85 problemas de aritmética e geometria. Mais tarde, no século XIX, este papiro foi encontrado pelo egiptólogo inglês Rhind. Curiosamente, neste papiro, os números primos foram escritos de forma diferente dos números compostos. O escriba Ahmes é o mais antigo matemático registrado na História. Contudo, o mais antigo registro de estudo explícito dos números primos vem dos antigos gregos. Os Elementos de Euclides contém importantes teoremas sobre os números primos, incluindo a infinitude dos primos e o teorema fundamental da aritmética. Euclides também mostrou como criar um número perfeito a partir de um número primo de Mersenne.

A primeira forma de se computar números primos é conhecida como Crivo de Eratosthenes, embora, números primos maiores encontrados atualmente não sejam gerados desta maneira.

Em 1640, Pierre de Fermat declarou o Pequeno Teorema de Fermat, somente provado mais tarde por Leibnitz e Euler. Fermat conjecturou que todos os números da forma  $2^{2^n} + 1$  são primos. No entanto, Euler descobriu alguns anos depois que o número  $2^{32} + 1$  é composto. O francês Marin Mersenne percebeu que alguns primos são da forma  $2^p - 1$ , onde  $p$  é um primo. Em sua homenagem, estes números são chamados de Primos de Mersenne.

No início do século XIX, Legendre e Gauss conjecturaram que quando  $x$  tende a infinito, o número de primos até  $x$  é, assintoticamente,  $x/\ln(x)$ .

Muitos matemáticos têm trabalhado sobre testes de primalidade para números longos, no entanto, com restrições quanto à forma específica do

número. Os algoritmos mais recentes como APRT-CL, ECPP E AKS funcionam com qualquer número, porém, permanecem muito lentos.

Por muito tempo, se pensou que os números primos não tivessem nenhuma possível aplicação fora da matemática pura, ou fora do domínio da matemática. Em 1970, com o surgimento do conceito de Criptografia de Chave-Pública, no qual os números primos formavam a base dos primeiros algoritmos como aqueles da RSA, os matemáticos ganharam novo ânimo e motivação renovada para continuarem suas pesquisas.

A busca constante por números primos mais longos tem gerado interesses fora da matemática também. Alguns projetos com a finalidade de se encontrar números primos grandes se tornaram bastante populares nos últimos 15 anos, enquanto matemáticos continuam estudando fortemente a teoria dos números primos.

### 1.3. IMPORTÂNCIA DOS NÚMEROS PRIMOS

Uma das importâncias dos números primos é que todo número inteiro maior que um, não primo, pode ser escrito como um produto de números primos. Podemos, ainda, reescrever essa assertiva para dizer que todo inteiro positivo pode ser escrito como um produto de primos. Dito isto, se faz necessário definir um primo como sendo um produto de fator único e assumir que o número 1 é um produto vazio ou sem fator.

Cada número inteiro positivo tem uma única representação (sem considerarmos a ordem dos fatores) como produto de números primos e pode também ser identificado unicamente através de seus fatores. Isto é, um inteiro positivo pode ser decomposto de uma única maneira em fatores primos. Uma consequência disso também é que, não existem dois números inteiros positivos distintos cujas decomposições em primos sejam equivalentes. Estas afirmações foram provadas pelos antigos gregos.

A teoria dos números primos também serve de base para provar outros conceitos e teoremas dentro da matemática. Por exemplo, aplicando o teorema que diz: “Todo inteiro positivo pode ser escrito como um produto de primos, e sua fatoração é única levando em conta a ordem de seus fatores”, pode-se provar um outro teorema: “O número  $\sqrt{2}$  é irracional”.

Os números primos também passaram a ter relevante importância na Ciência da Computação. Alguns algoritmos e estruturas de dados se baseiam nos números primos como é o caso das tabelas Hash. A partir de 1970, devido ao conceito de criptografia de chave-pública, passaram a formar a base dos primeiros algoritmos de criptografia, como exemplo, podemos citar o algoritmo cryptosystem da RSA.

Os números primos passaram a ser tão interessantes que existiam até premiações. A Eletronic Frontier Foundation (EFF) oferecia US\$100,000 para quem encontrasse um primo de 10 milhões de dígitos, US\$150,000 para um primo de 100 milhões de dígitos e US\$250,000 para um primo de um bilhão de dígitos. A RSA Factoring Challenge ofereceu até US\$200,000 para quem encontrasse os fatores primos de um semi-primo ou pseudo-primo de até 2048 bits. Esse desafio foi encerrado em 2007.

#### 1.4. BREVE INTRODUÇÃO À HISTÓRIA DOS NÚMEROS DE FIBONACCI

A seqüência dos números de Fibonacci surgiu, de maneira curiosa, no século XIII, quando um matemático começou uma investigação para determinado problema.

***“Um fazendeiro criava coelhos. Cada coelho gerava um outro coelho quando completava dois meses de idade, e daí por diante, um novo coelho a cada mês. Coelhos nunca morrem, e não levamos em conta os***

***coelhos machos. Quantos coelhos o fazendeiro terá em n meses se ele começar apenas com um coelho recém-nascido?”***

Este era o problema, não muito realista, que o italiano Leonardo Fibonacci estudava e que deu surgimento à famosa seqüência dos números de Fibonacci.

Os números de Fibonacci serão abordados mais adiante, no capítulo sobre Conceitos Fundamentais.

## 1.5. OBJETIVOS

A famosa e forte conjectura de que “Existem infinitos números primos de Fibonacci” continua sem nenhuma prova ou contraprova. Não se pode dizer nenhuma verdade a respeito dela.

Este trabalho tem como um de seus objetivos o desenvolvimento de algoritmos que gerem o maior número possível de números primos de Fibonacci, a fim de levantar alguma possível evidência sobre a infinitude dos números de Fibonacci primos, bem como sua distribuição dentro desta seqüência.

A seqüência dos números de Fibonacci é gerada a partir da fórmula recorrente:

$$F_{n+1} = F_n + F_{n-1}, \text{ com } F_0 = 0 \text{ e } F_1 = 1.$$

Faz parte da presente proposta também verificar a possível presença de infinitos primos em duas simples variações da seqüência de Fibonacci.

A primeira delas é uma seqüência que dependa não somente de dois valores definidos inicialmente ou calculados a partir destes, mas dependa de  $k$

fatores. Para  $m=3$ , teríamos  $F_0 = 0$ ,  $F_1 = 1$  e  $F_2 = 2$ . Os demais valores seriam calculados através de uma fórmula recursiva do tipo  $F_{n+1} = F_n + F_{n-1} + F_{n-2}$ . Para  $m>3$  seguiremos o mesmo raciocínio lógico.

A segunda variante tem a mesma fórmula que determina a seqüência de Fibonacci, no entanto, os valores de  $F_0$  e  $F_1$  não seriam aqueles convencionados nesta seqüência. Os valores  $F_0$  e  $F_1$  seriam dois inteiros positivos quaisquer. Para  $F_0 = 3$  e  $F_1 = 4$ , a seqüência dos primeiros dez números seria: **3, 4, 7, 11, 18, 29, 47, 76, 123 e 199**. Destes primeiros elementos da nova seqüência inspirada na idéia de Fibonacci seis são primos, ou seja, 60% dos primeiros dez elementos são primos. Na seqüência de Fibonacci apenas 40% dos dez primeiro elementos são primos.

Fibonacci	1	1	<b>2</b>	<b>3</b>	<b>5</b>	8	<b>13</b>	21	34	55
seqüência	<b>3</b>	4	<b>7</b>	<b>11</b>	18	<b>29</b>	<b>47</b>	76	123	<b>199</b>

*Tabela 1.1 - Comparativo de seqüências.*

Analisaremos também outra seqüência inspirada naquela de Fibonacci, já existente na literatura, conhecida por Números de Lucas. Os números de Lucas têm algumas aplicações dentro da Ciência da Computação na área de criptografia, e também em testes de primalidade e na geração de criptografia de chave pública e assinaturas de sistemas. A seqüência é tão simples quanto a de Fibonacci e, também, não menos interessantes pelas propriedades que ela apresenta e por sua relação com estes.

Os números da seqüência de Lucas são definidos pela fórmula  $L_n = L_{n-1} + L_{n-2}$  para todo  $n > 1$ ,  $L_0 = 2$  e  $L_1 = 1$ . A seqüência que obteríamos a partir da fórmula e dos valores iniciais convencionados seria:

**2, 1, 3, 4, 7, 11, 18, 29, 47, 76, 123, ...**

Vale reforçar que não faz parte do escopo deste trabalho provar a veracidade ou não da conjectura sobre a infinitude de números de Fibonacci primos, mas, somente apresentar algumas evidências computacionais a favor da mesma, assim como estabelecer novas conjecturas sobre as generalizações dos números de Fibonacci primos abordados acima.

## 1.6. ABORDAGEM DOS CAPÍTULOS

Este trabalho foi organizado de forma a inserir o leitor dentro de todo contexto do tema abordado, dando uma visão geral dos conceitos básicos de cada um dos principais tópicos envolvidos.

No capítulo 1, foi apresentada a motivação, seguida de uma breve introdução aos números primos, sua importância e os números de Fibonacci. Também foi apresentado neste capítulo os objetivos do presente trabalho.

No capítulo 2, serão apresentados os conceitos básicos dos assuntos abordados em nosso tema. Este capítulo tratará de uma breve introdução à Teoria dos Números e suas principais propriedades, dos números de Fibonacci e de Lucas, e encerra com uma descrição de alguns algoritmos de teste de primalidade.

No capítulo 3, as generalizações propostas no nosso trabalho serão apresentadas, e no capítulo 4, será mostrado resultados teóricos das generalizações propostas no capítulo anterior.

Todo contexto dos testes computacionais, as idéias utilizadas no desenvolvimento dos algoritmos de testes, o hardware utilizado e suas limitações, serão apresentados no capítulo 5, e, no capítulo 6 apresentaremos os resultados destes testes.



Por fim, encerramos com o capítulo 7 sobre as considerações finais sobre o trabalho realizado explicitando algumas conjecturas e idéias a cerca do mesmo.

## 2. CONCEITOS FUNDAMENTAIS

### 2.1. TEORIA DOS NÚMEROS

A Teoria dos Números tem como tema central os números inteiros e suas propriedades. Esta área da matemática surgiu há mais de 2500 anos, e ainda hoje existem muitas questões simples sem resposta, bem como algumas que só tiveram alguma resposta recentemente.

Nesta seção apresentaremos algumas propriedades e noções básicas dos números inteiros dos quais fazem parte os números primos.

#### 2.1.1. Divisibilidade

Sejam dois inteiros quaisquer  $m$  e  $n$ . Dizemos que  $m$  divide  $n$  se,  $m > 0$  e o resultado da divisão  $n/m$  é um inteiro [2]. A notação que indica que “ $m$  divide  $n$ ” é:

$$m \mid n \Leftrightarrow m > 0 \text{ e } n = mk \text{ para algum inteiro } k .$$

Se  $m$  não divide  $n$  usamos a notação:

$$m \nmid n$$

Uma outra relação “ $n$  é múltiplo de  $m$ ”, significa quase a mesma coisa menos no fato de que  $n$  não precisa ser necessariamente positivo. Assim, existe apenas um múltiplo de 0, porém, 0 não divide nada. [2]

Para quaisquer inteiros  $a$ ,  $b$  e  $c$ , podemos declarar alguns simples fatos baseado na divisibilidade [1]:

- (i)  $a|a$ ,  $1|a$ , e  $a|0$ ;
- (ii)  $a|b$  e  $a|c \Rightarrow a|(b+c)$ ;
- (iii)  $a|b \Rightarrow a|-b$ ;
- (iv)  $a|b$  e  $b|c \Rightarrow a|c$ .

### 2.1.2. MMC – MÍNIMO MÚLTIPLO COMUM

Chamamos de Mínimo Múltiplo Comum de dois inteiros positivos  $m$  e  $n$ , o maior inteiro positivo que é divisível por  $m$  e  $n$ .

Como exemplo podemos dizer que o  $\text{mmc}(9,5)$  é 45,  $\text{mmc}(12,9)$  é 36 e  $\text{mmc}(10, 5)$  é 10.

### 2.1.3. MDC – MÁXIMO DIVISOR COMUM

Chamamos de Máximo Divisor Comum de dois inteiros  $m$  e  $n$ , o maior inteiro que divide ambos. Logo podemos escrever formalmente:

$$\mathbf{mdc(m,n) = \max\{k, \text{tal que, } k|m \text{ e } k|n\}.$$

Como exemplo podemos dizer que  $\text{mdc}(25,35) = 5$  e que  $\text{mdc}(42, 18) = 6$ .

O mdc apresenta algumas propriedades interessantes. Uma delas é que podemos calcular o mdc usando um método antigo, de mais de 2300 anos, chamado Algoritmo de Euclides. Este algoritmo se baseia na recursão e a explicação de seu funcionamento se encontra nas próximas páginas.

Existe um pequeno teorema que é uma conseqüência deste algoritmo [2]:

$$k \mid m \text{ e } k \mid n \Leftrightarrow k \mid \text{mdc}(m, n)$$

A seguir abordaremos o conceito de número primo. Além de ser tema central do nosso trabalho, os números primos também são de fundamental importância no estudo dos números inteiros, uma vez que os primos são a base de construção de todo inteiro.

#### 2.1.4. NÚMEROS PRIMOS

**Definição 1:** Chamamos de número primo um número inteiro  $p > 1$  não divisível por qualquer outro inteiro além de  $p$ ,  $-p$ ,  $1$  e  $-1$ . [3]

**Definição 2:** Um número inteiro  $p > 1$  é primo se, e somente se, não pode ser escrito como produto de dois inteiros positivos menores. [1]

Um número inteiro  $n > 1$  não primo é chamado número composto.

Alguns matemáticos não consideram os divisores negativos, ou seja,  $-p$  e  $-1$ . Eles apenas consideram os divisores positivos do número. Também foi convencionalizado que o número 1 não é primo, nem muito menos composto.

Podemos dizer que todo inteiro positivo pode ser escrito como um produto de números primos. Consideramos os números primos como sendo um produto de um único fator e o número 1 é considerado um produto vazio.

Apresentaremos três famosos teoremas abaixo que se relacionam bem com nosso trabalho:

**Teorema 1:** *Todo número inteiro positivo pode ser escrito como produto de primos e sua fatora  o     nica considerando a ordem de seus fatores primos. [3]*

Este teorema citado logo acima   conhecido como “Teorema Fundamental da Aritm tica”.

O pr ximo teorema foi conjecturado e provado por Euclides no terceiro s culo a.C. e   um teorema muito interessante que inspirou outras conjecturas famosas, inclusive a que o presente trabalho trata.

**Teorema 2:** *Existem infinitos n meros primos. [41]*

O terceiro teorema que apresentamos   t o interessante quanto o segundo e j  nos traz a id ia de que os espa os entre os n meros primos se tornam maiores   medida que o n mero cresce.

**Teorema 3:** *Para todo inteiro positivo  $k$ , existe uma seq ncia de  $k$  inteiros compostos consecutivos. [3]*

Este terceiro teorema parece meio obscuro ou incompleto   primeira leitura. Mas o que ele realmente quer dizer   que existem seq ncias de inteiros compostos consecutivos de todos os tamanhos que se possa imaginar. Por exemplo, se imaginarmos nosso  $k = 5$ , podemos afirmar que existe uma seq ncia de cinco inteiros compostos consecutivos e s o eles:  $5!$ ,  $5! + 1$ ,  $5! + 2$ ,  $5! + 3$ ,  $5! + 4$ ,  $5! + 5$ .

Apesar dos n meros primos serem infinitos, o que foi provado por Euclides, esses n meros se tornam mais raros   medida que tendem ao infinito. Esta afirmativa parece at  uma contradi o porque quando falamos na no o de infinito temos sempre a id ia de indefini o de quantidades. Mas, o

que é claro para nós e que podemos afirmar com certeza como uma consequência do teorema acima, é que se nós fizermos a razão entre os números primos e os números compostos encontrados entre 1 a  $k$ , essa razão só tende a diminuir quando o valor de  $k$  se torna grande.

### 2.1.5. CONGRUÊNCIA

**Definição 3:** *Sejam os inteiros  $n$ ,  $a$  e  $b$ , com  $n > 0$ . Dizemos que  $a$  é côngruo a  $b$  modulo  $n$  se  $n \mid (a - b)$ , e escrevemos  $a \equiv b \pmod{n}$ . Se  $n$  não divide  $(a - b)$ , então  $a \pmod{n} \neq b$ . Chamamos a relação  $a \equiv b \pmod{n}$  de relação de congruência, ou ainda, apenas de congruência. O número  $n$  que aparece na relação de congruência é chamado de módulo da congruência. Chamamos a atenção para o uso de “mod”. No presente trabalho, caso não seja explícito, mod sempre denotará o módulo da congruência e não o resto de uma divisão.*

Da relação de congruência explicada acima observamos que  $a \equiv b \pmod{n}$  se e somente se existe um inteiro  $c$  que satisfaça a igualdade:  $a = cn + b$ . A partir disto temos o seguinte teorema:

**Teorema 4:** *Seja  $n$  um inteiro positivo. Para todo inteiro  $a$ , existe um único inteiro  $b$  tal que  $a \equiv b \pmod{n}$  e  $0 \leq b < n$ , ou seja,  $b$  é o resto da divisão de  $a$  por  $n$ . [1]*

Apresentamos abaixo algumas propriedades dos inteiros que dizem respeito à relação de congruência.

Para um valor de  $n$  fixo, o teorema seguinte nos mostra que  $\cdot \equiv \cdot \pmod{n}$  é uma relação de equivalência no conjunto dos inteiros:

**Teorema 5:** *Seja  $n$  um inteiro positivo. Para todo  $a$ ,  $b$  e  $c$  pertencentes ao conjunto dos números inteiros, temos: [1]*

$$(i) a \equiv a \pmod{n}$$

$$(ii) a \equiv b \pmod{n} \Rightarrow b \equiv a \pmod{n}$$

$$(iii) a \equiv b \pmod{n} \text{ e } b \equiv c \pmod{n} \Rightarrow a \equiv c \pmod{n}$$

**Teorema 6:** Para todo inteiro positivo  $n$ , e todo  $a, a', b, b'$  pertencentes ao conjunto dos inteiros, se  $a \equiv a' \pmod{n}$  e  $b \equiv b' \pmod{n}$ , então [1]:

$$a + b \equiv a' + b' \pmod{n} \text{ e } a \cdot b \equiv a' \cdot b' \pmod{n}$$

### 2.1.6. PEQUENO TEOREMA DE FERMAT

**Teorema 7:** Se  $p$  é um número primo e  $a$  é um inteiro, então  $p \mid a^p - a$ .  
[13]

Uma outra forma de apresentar esse teorema seria dizer que: Se  $p$  é um número primo e  $a$  é um inteiro não divisível por  $p$ , então  $p \mid a^{p-1} - 1$ .

Na prova deste Teorema de Fermat foi usado um lema [3] bem interessante que diz que:

**Lema 1:** Se  $p$  é um primo e  $0 < k < p$ , então  $p \mid \binom{p}{k}$ .

### 2.1.7. ALGORITMO DE EUCLIDES

O Algoritmo de Euclides é um algoritmo para computação do Máximo Divisor Comum de dois números. O mdc de dois números pode ser calculado de maneira muito simples. Para isto, basta que encontremos a fatora  o em primos destes dois n  meros e calcularmos o produto dos fatores comuns de menor expoente. Como exemplo calculamos o  $\text{mdc}(900, 108)$ :

A fatoração em primos destes dois números:

$$900 = 2^2 \cdot 3^2 \cdot 5^2$$

$$108 = 2^2 \cdot 3^3$$

Os fatores comuns são 2 e 3. Aqueles de menor expoente são  $2^2$  e  $3^2$ . Logo, o  $\text{mdc}(900,108) = 2^2 \cdot 3^2 = 36$ .

O problema deste método é que calcular a fatoração em primos de um inteiro muito grande é bastante complicado [1]. O algoritmo de Euclides calcula o mdc de dois inteiros de uma maneira muito mais rápida, sem a necessidade de encontrar suas fatorações em primos. Este algoritmo, apesar de ter sido desenvolvido muito tempo atrás pelo famoso matemático grego Euclides, ainda é utilizado como parte de outros algoritmos para computação com inteiros.

Este algoritmo se baseia em alguns simples fatos:

(i) Se  $a$  e  $b$  são inteiros positivos e  $a \mid b$ , então  $\text{mdc}(a,b) = a$ .

(ii)  $\text{mdc}(a,b) = \text{mdc}(a,b-a)$ .

(iii) Seja  $r$  o resto da divisão de  $b$  por  $a$ . Então,  $\text{mdc}(a,b) = \text{mdc}(a,r)$ .

Convencionamos também que o  $\text{mdc}(0,a) = a$ . Descrevemos abaixo o funcionamento do Algoritmo de Euclides:

O Algoritmo de Euclides funciona da seguinte forma:

Sejam  $a$  e  $b$  inteiros positivos, e queremos encontrar o mdc deles. Os passos a serem realizados são [3]:

1. Se  $a > b$ , nós trocamos  $a$  por  $b$  e vice-versa.
2. Se  $a > 0$ , dividimos  $b$  por  $a$ , e pegamos o resto  $r$  desta divisão. Substituímos  $b$  por  $r$  e retornamos ao passo 1.



3. Se  $(a \neq 0)$ , retornamos  $b$  como sendo o mdc e paramos o algoritmo.

Como dito anteriormente, este algoritmo é recursivo e precisa de uma condição de parada. A condição de parada deste algoritmo é quando  $a$  for igual a 0. Vamos executar um exemplo sobre o nosso algoritmo. Queremos calcular o mdc de 24 e 60. Então começamos nossa execução da seguinte maneira:

$\text{mdc}(a,b) = \text{mdc}(24, 60)$  ;  
 $\text{mdc}(24,60) = \text{mdc}(24, 12)$ ;  
 $\text{mdc}(24,12) = \text{mdc}(12, 24)$ ;  
 $\text{mdc}(12,24) = \text{mdc}(12, 0)$ ;  
 $\text{mdc}(0,12) = 12$ ;

Logo,  $\text{mdc}(24, 60) = \text{mdc}(0, 12) = 12$ . Além de termos determinado logo acima a condição de parada do algoritmo, precisamos também mostrar que o algoritmo executa em um número finito de passos e que a saída do algoritmo é aquilo que esperamos.

A garantia de que o algoritmo é finito está na execução do passo 2. Repare que na execução do passo 2 um dos números sempre diminui e o resto sempre é não-negativo. Isto basta para garantir que o algoritmo de Euclides não ficará rodando para sempre.

Em relação à saída ou resultado do algoritmo, podemos perceber que no passo 1 apenas trocamos  $a$  por  $b$ , o que não altera o resultado do mdc, pois  $\text{mdc}(a,b) = \text{mdc}(b,a)$ . O passo 3 também não muda o resultado do mdc, vide a propriedade citada em (iii).

Outra questão importante é o tempo de execução do algoritmo, quantos passos ele leva para encerrar. Podemos obter um limite superior de passos pensando no argumento de finitude da execução do algoritmo. Como sempre que os passos 1 e 2 são executados um dos dois números decresce, podemos afirmar que o algoritmo não levará mais do que  $a + b$  passos para encerrar. Se

calcularmos o mdc de dois números com mais de 100 dígitos poderemos levar  $2 \cdot 10^{100}$  passos, o que é um número relativamente grande de passos na execução. Porém, o nosso exemplo mostra que ele não dura isso tudo. O limite de pior caso que escolhemos é um limite extremamente, exageradamente pessimista. Contudo, conforme os números ( 24 e 60 ) apresentados no nosso exemplo sugere, esta questão de número de passos é uma questão bem delicada. O tempo de execução do algoritmo de Euclides pode ser ligeiramente diferente dependendo dos números em questão.

Uma aproximação mais justa do tempo de execução de pior caso do Algoritmo de Euclides é:  $\log a + \log b$ , onde  $\log$  é o log na base 2. [3]

#### 2.1.8. TIPOS DE NÚMEROS PRIMOS

Muitos matemáticos tentaram descobrir padrões no aparecimento dos números primos na seqüência dos números inteiros e encontrar fórmulas para geração de números primos. Nenhuma destas duas tentativas foi totalmente bem sucedida.

São muitos os tipos de números primos: primos balanceados, primos de Carol, primos cubanos, primos de Cullen, primos diedrais, primos de Euclides, primos fatoriais, primos gaussianos, primos de Lucas, primos felizes, primos da sorte, primos de Mills, primos regulares, primos gêmeos, entre muitos outros.

Citamos abaixo, sem nos preocupar com provas ou teoremas, alguns importantes matemáticos que estabeleceram fórmulas para geração de certos primos que recebem seus nomes por satisfazerem suas fórmulas. Nenhuma destas fórmulas, no entanto, é capaz de gerar a seqüência de todos os números primos, uma vez que parece que estes estão distribuídos aleatoriamente dentro da seqüência dos inteiros.

### 2.1.8.1. *Números Primos de Sophie Germain*

Um número primo  $p$  é dito primo de Sophie Germain se  $2p+1$  é também um número primo [41]. Conjectura-se, também, a existência de uma infinidade de primos de Sophie Germain; porém sua demonstração é considerada, ainda hoje, bastante difícil. São exemplos destes primos o número 2, 3, 5, 11 e 23. O maior número primo de Sophie Germain conhecido é  $48047305725 \times 2^{172403} - 1$ . [33]

Estes números primos de Sophie Germain têm aplicação prática na geração de números pseudo-aleatórios. [33]

### 2.1.8.2. *Números Primos de Wieferich*

Um primo  $p$  que satisfaz a congruência  $2^{p-1} \equiv 1 \pmod{p^2}$  é chamado primo de Wieferich [41]. São exemplos de números primos de Wieferich os números primos 1093 e 3511.

### 2.1.8.3. *Pares de Wieferich*

Um par de Wieferich [36] é um par de números primos  $p$  e  $q$  que satisfazem as relações:

$$p^{q-1} \equiv 1 \pmod{q^2} \text{ e } q^{p-1} \equiv 1 \pmod{p^2}.$$

Os únicos pares de Wieferich conhecidos são: (2, 1093), (3, 1006003), (5, 1645333507), (83, 4871), (911, 318917) e (2903, 18787).

#### 2.1.8.4. Números Primos de Wilson

O teorema de Wilson [41] diz que, se  $p$  é um número primo, então  $(p-1)! \equiv -1 \pmod{p}$ ; Logo, o quociente de Wilson:

$$W(p) = \frac{(p-1)!+1}{p}, \text{ é um inteiro.}$$

O número  $p$  é chamado primo de Wilson quando  $W(p) \equiv 0 \pmod{p}$ , ou ainda, um número primo  $p$  é um primo de Wilson se  $p^2$  divide  $(p-1)!+1$ , onde “!” denota a função fatorial. São exemplos de primos de Wilson os números 5 e 13. [38]

#### 2.1.8.5. Números Primos de Mersenne

Se um número da forma  $2^m - 1$  é primo, então  $m$  é um número primo. Os números da forma  $M_q = 2^q - 1$ , onde  $q$  é um número primo, são chamados de Números de Mersenne [41]. No entanto, desde os tempos de Mersenne, era sabido que certos números de Mersenne eram primos e outros compostos. Por exemplo,  $M_2 = 3$ ,  $M_3 = 7$ ,  $M_5 = 31$  e  $M_7 = 127$  são primos, enquanto que  $M_{11} = 23 \times 89$ .

Em 1640, Mersenne afirmou  $M_q$  é primo que para  $q = 13, 17, 19, 31, 67, 127$  e 257. Em relação a 67 e 127 ele estava enganado, e esqueceu de colocar em sua lista os números 61, 89 e 107 (entre os números inferiores a 257). [19]

Os números primos de Mersenne, com  $q \leq 127$ , foram descobertos antes do aparecimento dos computadores eletrônicos. Allan Turing foi o primeiro, em 1951, a tentar determinar números primos de Mersenne com auxílio do

computador, no entanto, não obteve êxito. Em 1952, foram descobertos os números primos de Mersenne  $M_{521}$  e  $M_{607}$ .

O maior falso-primo fatorado até hoje é um número de Mersenne. O número de Mersenne  $2^{1039} - 1$  é o recordista e teve sua fatoração em primos no mês de Março de 2007. [11]

Ainda hoje existem questões abertas sobre a infinitude dos números primos de Mersenne e sobre a infinitude dos números compostos de Mersenne. O maior primo de mersenne conhecido até agora é:  $2^{32582657} - 1$ .

#### 2.1.8.6. *Números Primos de Fermat*

Todo número primo da forma  $2^{2^n} + 1$  é um Número de Fermat, e estes números primos são chamados de primos de Fermat [41]. Escrevemos formalmente:

$$F_n = 2^{2^n} + 1.$$

Pierre de Fermat conjecturou que todo número de Fermat é primo. De fato, os primeiros cinco números de  $F_0$  a  $F_4$  são primos. Mas, esta conjectura foi refutada por Leonhard Euler em 1732 quando ele mostrou que  $F_5$  era um número composto. Os únicos números de Fermat conhecidos são os números de  $F_0$  até  $F_4$ .

Muitos dos maiores números primos conhecidos são generalizações dos primos de fermat.

### 2.1.8.7. *Números Primos de Wall-Sun-Sun*

Um primo de Wall-Sun-Sun [35] é um certo tipo de número primo que é conjecturado existir embora nenhum seja conhecido. Um número primo  $p > 5$  é chamado de primo de Wall-Sun-Sun se  $p^2$  divide:

$$F\left(p - \left(\frac{p}{5}\right)\right)$$

Onde  $F(n)$  é o  $n$ ésimo número de Fibonacci e  $\left(\frac{a}{b}\right)$  é o símbolo de Legendre para  $a$  e  $b$  e foge do escopo do nosso trabalho por envolver outros conceitos.

### 2.1.8.8. *Números Primos Palíndrômicos*

Um número primo palíndromo [31] é um número primo que é também um número palíndromo. Os números palíndromos dependem da base do sistema de contagem, mas os números primos são independentes de tais conceitos. Os primos palíndrômicos da base 10 são:

2, 3, 5, 7, 11, 101, 131, 151, 181, 191, 313, 353, 373, 383, 727, 757, 787, 797,  
919, 929, 10301, 10501, 10601, 11311, ...

O maior número primo palíndromo da base 10 conhecido é  $10^{180004} + 248797842 \times 10^{89998} + 1$ , encontrado por Harvey Dubner em 2007.

Ainda se encontra em aberto a questão da infinitude dos números primos palíndromos na base 10.

Na tabela abaixo mostramos os primeiros primos palíndromicos da base binária:

Bin	11	101	111	10001	11111	1001001	1101011	1111111	10000001
Dec	3	5	7	17	31	73	107	127	257

*Tabela 2.1 - Primos palíndromicos da base binária.*

#### 2.1.8.9. Números Primos de Fibonacci

Os números primos de Fibonacci são simplesmente os números primos encontrados na seqüência dos números de Fibonacci. O maior número primo de Fibonacci é o  $F_{604711}$ , com 126377 dígitos [46].

## 2.2. NÚMEROS DE FIBONACCI

***“Um fazendeiro criava coelhos. Cada coelho gerava um outro coelho quando completava dois meses de idade, e daí por diante, um novo coelho a cada mês. Coelhos nunca morrem, e não levamos em conta os coelhos machos. Quantos coelhos o fazendeiro terá em  $n$  meses se ele começar apenas com um coelho recém-nascido?”***

Como dito na seção 1.4 *Breve Introdução à História dos Números de Fibonacci*, era este o problema, não muito realista, que o italiano Leonardo Fibonacci estudava e que deu surgimento à famosa seqüência dos números de Fibonacci.

A princípio, para um valor de  $n$  (número de meses) pequeno, não é difícil responder à questão acima. No primeiro e segundo meses o fazendeiro continua com apenas um coelho. No terceiro mês, como o primeiro coelho tem dois meses de idade completos e gera um outro coelho, o fazendeiro fica agora com dois coelhos. No quarto mês, o primeiro coelho gera mais um novo coelho

e o fazendeiro passa a ter três coelhos em sua fazenda. No quinto mês, o segundo coelho completa dois meses de idade e passa a gerar coelhos também. Assim, o fazendeiro passa a ter cinco coelhos no quinto mês, pois dois novos coelhos foram gerados a partir do primeiro e segundo coelhos. Se nós dispusermos esses valores em uma tabela e observarmos com bastante atenção, seremos capazes de, facilmente, responder o número completo de coelhos nos próximos meses:

Nº de meses	1	2	3	4	5	6	7	8
Nº de coelhos	1	1	2	3	5	?	?	?

*Tabela 2.2 - Quantidade de coelhos por mês (a).*

O número de coelhos a adicionar no próximo mês será exatamente o número de coelhos com, no mínimo, dois meses de idade. Simplesmente, precisamos observar quantos coelhos existiam na fazenda no mês anterior e somar este número ao número de coelhos do mês atual para obtermos o número de coelhos do próximo mês.

Nº de meses	1	2	3	4	5	6	7	8
Nº de coelhos	1	1	2	3	5	3+5	5+3+5	...

*Tabela 2.3 - Quantidade de coelhos por mês (b).*

Nº de meses	1	2	3	4	5	6	7	8
Nº de coelhos	1	1	2	3	5	8	13	21

*Tabela 2.4 - Quantidade de coelhos por mês (c).*

Podemos expressar estes cálculos para o número de coelhos no  $n$ -ésimo mês através de uma fórmula. Para isto, denotamos por  $F_n$  o número de coelhos no mês  $n$ , para todo  $n > 2$ :

$$F_{n+1} = F_n + F_{n-1} \quad \mathbf{(1)}$$



Sabemos também que  $F_1 = 1$ ,  $F_2 = 1$ ,  $F_3 = 2$ ,  $F_4 = 3$ ,  $F_5 = 5$ , e assim por diante. Definimos por convenção que  $F_0 = 0$ ; então a equação (1) permanecerá válida para  $n = 1$ .

Usando a equação (1) podemos determinar um número qualquer de termos da seqüência de Fibonacci:

0, 1, 1, 2, 3, 5, 8, 13, 21, 34, 55, 89, 144, 233, 377, 610, 987, ...

Os números desta seqüência são chamados números de Fibonacci. A equação (1), juntamente com os valores especiais de  $F_0 = 0$  e  $F_1 = 1$ , determina unicamente os números de Fibonacci.

A simplicidade da regra que rege esses números, o fato do número depender apenas do valor dos outros dois imediatamente anteriores, ocorre numa ampla variedade de situações.

As “Bee Trees” – árvore genealógica das abelhas – fornecem um bom exemplo de como os números de Fibonacci acontecem naturalmente. Vamos considerar o surgimento de uma abelha macho. Cada abelha macho é produzida assexuadamente por uma abelha fêmea. Entretanto, cada abelha fêmea tem dois pais, um macho e uma fêmea. Aqui podemos ver os primeiros níveis desta árvore genealógica:

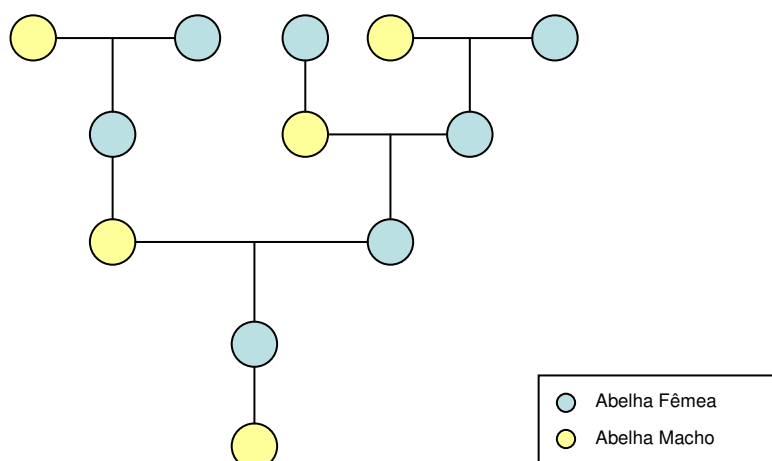


Figura 2.1 - Árvore genealógica da abelha macho.

A abelha macho possui um avô e uma avó; um bisavô e duas bisavós; dois tataravôs e três tataravós, e assim vai. De maneira geral é fácil perceber que os números de Fibonacci aparecem naturalmente na hierarquia de níveis de avôs.

Os números de Fibonacci também acontecem na natureza. Por exemplo, uma flor de girassol típica possui uma cabeça enorme que contém espiral de pacotes de floretes, geralmente com 34 espiras numa direção e 55 numa outra. Outras, com uma cabeça menor, possuirão 21 e 34 espiras, ou 13 e 21; um girassol gigante com 89 e 144 espirais foi encontrado somente na Inglaterra.

Um outro exemplo de natureza diferente dos anteriores é o seguinte: suponha que você colocou dois fundos de copos de vidros um sobre o outro. De quantas maneiras os raios podem passar através ou serem refletidos depois de mudarem de direção  $n$  vezes? Os primeiros casos podem ser visualizados na figura abaixo:

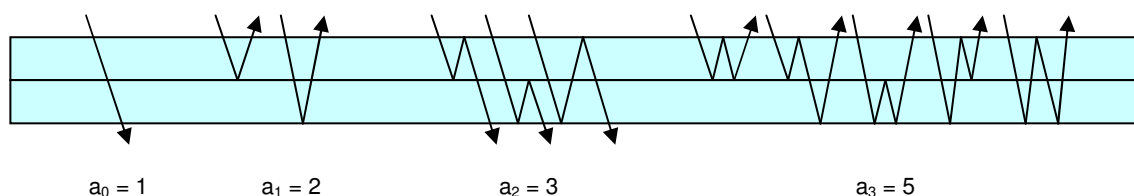


Figura 2.2 - Incidência dos raios.

Quando  $n$  é par, nós temos um número par de saltos e o raio atravessa a superfície de vidro formado pelo pelos fundos do copo. Quando  $n$  é ímpar, o raio é refletido e sai pelo mesmo lado que entrou. As  $a_n$  maneiras parecem ser números de Fibonacci, e se olharmos melhor na figura perceberemos a razão disto acontecer: para  $n \geq 2$ , os  $n$ -saltos do raio ou tem seu primeiro salto para a superfície oposta e continuam das  $a_{n-1}$  maneiras, ou o raio salto para superfície do meio e depois salta de volta novamente para terminar em uma das  $a_{n-2}$  maneiras. Então, nós temos a recorrência de Fibonacci  $a_n = a_{n-1} + a_{n-2}$ .

As condições iniciais são um pouco diferentes, pois os valores iniciais são  $a_0 = 1 = F_2$  e  $a_1 = 2 = F_3$ , por tanto,  $a_n = F_{n+2}$ .

Leonardo Fibonacci introduziu estes números em 1202, e os matemáticos foram, gradativamente, descobrindo mais e mais coisas interessantes sobre eles. O matemático Edouard Lucas, conhecido pelo problema da “Torre de Hanói”, trabalhou muito com os números de Fibonacci na segunda metade do século XIX (de fato, foi Lucas que popularizou o nome “números de Fibonacci”). Um dos fabulosos resultados foi usar propriedades dos números de Fibonacci para provar que o número de Mersenne de 39 dígitos  $2^{127} - 1$  era primo.

Um dos mais velhos teoremas sobre números de Fibonacci, de autoria do astrônomo francês Jean-Dominique Cassini em 1680 é a identidade [2]:

$$F_{n+1} \cdot F_{n-1} - F_n^2 = (-1)^n, \text{ para } n > 0.$$

Por exemplo, para  $n = 4$ , temos:  $F_5 = 5$ ;  $F_3 = 2$  e  $F_4 = 3$ . Esta identidade diz com razão que:  $5 \cdot 2 - 3^2 = (-1)^4$ .

A identidade de Jean-Dominique Cassini é a base de um paradoxo geométrico, um dos favoritos de Lewis Carroll. A idéia era pegar um tabuleiro de xadrez e cortá-lo em quatro partes e depois remontar estas partes para obter um retângulo. O resultado é um triângulo  $F_{n+1} \cdot F_{n-1}$ , portanto um quadrado foi ganho. No tabuleiro 8x8 temos 64 quadrados, no retângulo 5x13 temos 65.

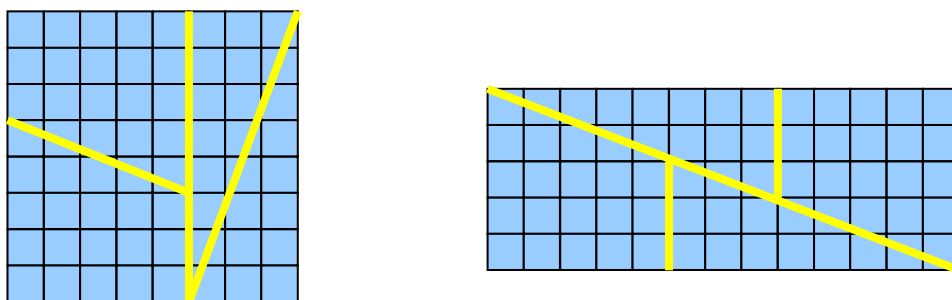


Figura 2.3 - Tabuleiro 8x8 (a) com 64 quadrados. Retângulo (b) com 65 quadrados.

Existem muitas outras identidades e curiosidades sobre os números de Fibonacci. Abaixo apresentamos algumas [3]:

- A soma dos  $n$  primeiros elementos de Fibonacci pode ser obtida pela expressão:  $F_{n+2} - 1$ .

$$\begin{array}{r}
 0 = 0, \\
 0+1 = 1, \\
 0+1+1 = 2, \\
 0 + 1 + 1 + 2 = 4, \\
 0 + 1 + 1 + 2 + 3 = 7, \\
 0 + 1 + 1 + 2 + 3 + 5 = 12, \\
 0 + 1 + 1 + 2 + 3 + 5 + 8 = 20, \\
 0 + 1 + 1 + 2 + 3 + 5 + 8 + 13 = 33.
 \end{array}$$

Figura 2.4 - Soma dos números de Fibonacci até  $n$ .

$$F_0 + F_1 + F_2 + \dots + F_n = F_{n+2} - 1$$

- A relação  $F_n^2 + F_{n-1}^2 = F_{2n-1}$  também é verdadeira. Por exemplo:  $F_4^2 + F_3^2 = F_7$ , em números:  $3^2 + 2^2 = 13$ .
- A fórmula de Fibonacci, sem uso da recorrência, é dada por:

$$F_n = \frac{1}{\sqrt{5}} \left( \left( \frac{1+\sqrt{5}}{2} \right)^n - \left( \frac{1-\sqrt{5}}{2} \right)^n \right)$$

Na próxima seção apresentaremos uma seqüência de números inspirada nos números de Fibonacci e conhecida por Números de Lucas.

### 2.3. NÚMEROS DE LUCAS

Existe uma outra série similar à série de Fibonacci. Edouard Lucas, que popularizou a série estudada por Leonardo de Pisa como Números de Fibonacci, estudou esta segunda série de números.

Os números na série de Fibonacci são definidos através de recursão a partir dos dois últimos números desta seqüência, que se inicia com os valores especiais de  $F_0$  e  $F_1$ . Como dito em seção anterior, os valores especiais da série de Fibonacci são  $F_0 = 0$  e  $F_1 = 1$ . Estes dois valores determinam todos os outros números da série.

$x$	0	1	2	3	4	5	6	7	...
$F_x$	0	1	1	2	3	5	8	13	...

Tabela 2.5 - Primeiros números de Fibonacci.

Por tanto, a regra básica para geração dos números de Fibonacci é:

$$F_{n+1} = F_n + F_{n-1}, \text{ se } n \geq 1$$

$$\text{com } F_0 = 0 \text{ e } F_1 = 1$$

Se começássemos uma seqüência de números com os valores iniciais 1 e 1, por exemplo, continuaremos obtendo a mesma série de Fibonacci apenas com seus valores deslocado para direita, seja,  $F'_0 = F_1$ ,  $F'_1 = F_2$  e assim por diante.

$x$	0	1	2	3	4	5	6	7	...
$F'_x$	1	1	2	3	5	8	13	21	...

Tabela 2.6 - Primeiros números de Fibonacci deslocados.

Para os valores iniciais sendo iguais a 1 e 2, observaríamos também apenas um deslocamento. Mas, se invertermos os valores iniciais para serem 2 e 1, respectivamente, teremos uma nova série.

$x$	0	1	2	3	4	5	6	7	...
$L_x$	2	1	3	4	7	11	18	29	...

Tabela 2.7 - Primeiros números de Lucas.

Esta seqüência distingue daquela de Fibonacci. A seqüência definida pelos valores especiais  $L_0 = 2$  e  $L_1 = 1$ , e pela mesma regra de recorrência que define a série de Fibonacci chamasse Série de Lucas ou, ainda, Números de Lucas em homenagem ao matemático francês Edouard Lucas.

$$L_{n+1} = L_n + L_{n-1}, \text{ se } n \geq 1$$

$$\text{com } L_0 = 2 \text{ e } L_1 = 1$$

A tabela abaixo mostra um comparativo dos números iniciais da série de Fibonacci e de Lucas:

$x$	0	1	2	3	4	5	6	7	8	9
$F_x$	0	1	1	2	3	5	8	13	21	34
$L_x$	2	1	3	4	7	11	18	29	47	76

Tabela 2.8 - Comparativo das seqüências de Lucas e Fibonacci.

Uma ligeira análise sobre os números de ambas as seqüência nos leva a descoberta de que podemos escrever números de Lucas em função dos números de Fibonacci. Se somarmos os elementos de índices 1 e 3 em Fibonacci obteremos o elemento de índice 2 em Lucas.

$x$	0	1	2	3	4	5	6	7	8	9
$F_x$	0	1	1	2	3	5	8	13	21	34
$L_x$	2	1	3	4	7	11	18	29	47	76

Tabela 2.9 - Relação entre os números de Lucas e Fibonacci (a).

Se somarmos os elementos de índices 2 e 4 de Fibonacci, obteremos o elemento de índice 3 em Lucas. Os elementos de índice 5 e 7 de Fibonacci nos levam ao elemento de índice 6 de Lucas, e assim por diante.

$x$	0	1	2	3	4	5	6	7	8	9
$F_x$	0	1	1	2	3	5	8	13	21	34
$L_x$	2	1	3	4	7	11	18	29	47	76

Tabela 2.10 - Relação entre os números de Lucas e Fibonacci (b).

Isso mostra que podemos expressar os números de Lucas em função dos números de Fibonacci através da expressão:

$$L_n = F_{n-1} + F_{n+1}, \text{ para todo } n \text{ inteiro não-negativo.}$$

Isso implica definirmos o valor de  $F_{-1} = -1$  para obtermos o valor de  $L_0$ .

Um outro padrão interessante acontece se tentamos escrever, de maneira análoga, a seqüência de Fibonacci a partir da seqüência de Lucas.

$x$	0	1	2	3	4	5	6	7	8	9
$F_x$	0	1	1	2	3	5	8	13	21	34
$L_x$	2	1	3	4	7	11	18	29	47	76

Tabela 2.11 - Relação entre os números de Lucas e Fibonacci (c).

Não obtemos a relação  $F_n = L_{n-1} + L_{n+1}$ , como até poderíamos esperar. Mas, percebemos que se somarmos um elemento da seqüência de Lucas com o segundo elemento a partir deste, ou seja, saltando o próximo elemento, o resultante desta soma sempre será um múltiplo de 5.

$$L_1 = 1 \text{ e } L_3 = 4, \text{ e } L_1 + L_3 = 5;$$

$$L_2 = 3 \text{ e } L_4 = 7, \text{ e } L_2 + L_4 = 10;$$

$$L_3 = 4 \text{ e } L_5 = 11, \text{ e } L_3 + L_5 = 15;$$

$$L_4 = 7 \text{ e } L_6 = 18, \text{ e } L_4 + L_6 = 25;$$

Mas se comparamos agora os resultados destes valores com a expressão não coincidente acima:

$$L_1 = 1 \text{ e } L_3 = 4; L_1 + L_3 = 5; \text{ e } F_2 = 1.$$

$$L_2 = 3 \text{ e } L_4 = 7; L_2 + L_4 = 10; \text{ e } F_3 = 2.$$

$$L_3 = 4 \text{ e } L_5 = 11; L_3 + L_5 = 15; \text{ e } F_4 = 3.$$

$$L_4 = 7 \text{ e } L_6 = 13; L_4 + L_6 = 20; \text{ e } F_5 = 5.$$

Isto nos mostra o novo padrão:  $5F_n = L_{n-1} + L_{n+1}$

Muitas outras relações podem ser obtidas com estas duas séries. Nos exemplos abaixo mostraremos algumas delas:

Exemplo 1:

$x$	0	1	2	3	4	5	6	7	8	9
$F_x$	0	1	1	2	3	5	8	13	21	34
$L_x$	2	1	3	4	7	11	18	29	47	76

Tabela 2.12 - Relação entre os números de Lucas e Fibonacci (d).

$$L_n = F_{n+2} - F_{n-2}$$



Exemplo 2:

$x$	0	1	2	3	4	5	6	7	8	9
$F_x$	0	1	1	2	3	5	8	13	21	34
$L_x$	2	1	3	4	7	11	18	29	47	76

Tabela 2.13 - Relação entre os números de Lucas e Fibonacci (e).

$$L_n = (F_{n+3} + F_{n-3})/2$$

Exemplo 3:

$x$	0	1	2	3	4	5	6	7	8	9
$F_x$	0	1	1	2	3	5	8	13	21	34
$L_x$	2	1	3	4	7	11	18	29	47	76

Tabela 2.14 - Relação entre os números de Lucas e Fibonacci (f).

$$L_n = (F_{n+4} - F_{n-4})/3$$

Exemplo 3:

$x$	0	1	2	3	4	5	6	7	8	9
$F_x$	0	1	1	2	3	5	8	13	21	34
$L_x$	2	1	3	4	7	11	18	29	47	76

Tabela 2.15 - Relação entre os números de Lucas e Fibonacci (g).

$$F_n = (L_{n+2} - L_{n-2})/5.$$

São muitos os exemplos. Só para citar, uma outra relação entre estas duas seqüências é a seguinte:

$$L_n = \frac{F_{(2n)}}{F_n} \text{ ou } F_{(2n)} = L_n \cdot F_n$$

Outra coisa interessante é o fato de encontrarmos ambas as seqüências, de Fibonacci e de Lucas, no Triângulo de Pascal. Abaixo, o Triângulo de Pascal está escrito de outra forma de modo a facilitar a visualização das seqüências de Fibonacci e Lucas nela.

	0	1	2	3	4	5	6	7	8	9
0	1	-	-	-	-	-	-	-	-	-
1	-	1	1	-	-	-	-	-	-	-
2	-	-	1	2	1	-	-	-	-	-
3	-	-	-	1	3	3	1	-	-	-
4	-	-	-	-	1	4	6	4	1	-
5	-	-	-	-	-	1	5	10	10	5
6	-	-	-	-	-	-	1	6	15	20
7	-	-	-	-	-	-	-	1	7	21
8	-	-	-	-	-	-	-	-	1	8
9	-	-	-	-	-	-	-	-	-	1
	1	1	2	3	5	8	13	21	34	55

Figura 2.5 - Triângulo de Pascal modificado.

A seqüência de Fibonacci pode ser facilmente visualizada no desenho acima, basta apenas somar os elementos de cada coluna. Porém, precisamos ainda realizar algum algebrismo para enxergarmos a seqüência de Lucas.

Para obtermos os números de Lucas também somamos os valores dos números da coluna. Porém, antes de somarmos cada valor precisamos multiplicar cada valor pelo valor da sua coluna e dividi-lo pelo valor de sua

respectiva linha. Note que o multiplicador (coluna) em questão sempre será o mesmo, porém, o número a ser multiplicado, e o seu divisor irão variar.

Por exemplo, para a coluna de número 2 temos:

Número	Coluna	Linha	(Número x Coluna)/Linha
1	2	1	2
1	2	2	1
<b>Soma</b>			<b>3</b>

Tabela 2.16 - Cálculo do elemento  $L_2$ .

O cálculo abaixo utiliza a seguinte fórmula: **(Número x Coluna)/Linha**:

$$(1 \times 2) / 1 = 2$$

$$(1 \times 2) / 2 = 1$$

A soma destes números é 3. Logo,  $L_2 = 3$ .

Para a coluna de número 4, temos:

Número	Coluna	Linha	(Número x Coluna)/Linha
1	4	2	2
3	4	3	4
1	4	4	1
<b>Soma</b>			<b>7</b>

Tabela 2.17 - Cálculo do elemento  $L_4$ .

Da mesma maneira utilizamos a fórmula: **(Número x Coluna)/Linha**:

$$(1 \times 4) / 2 = 2$$

$$(3 \times 4) / 3 = 4$$

$$(1 \times 4) / 4 = 1$$

E logo verificamos que a soma daqueles números nos dá 7, que é o elemento  $L_4 = 7$  da seqüência de Lucas.

## 2.4. TESTES DE PRIMALIDADE

Teste de primalidade é um algoritmo que computa se determinado número  $n$  é um número primo ou não. O teste de primalidade é um dos problemas fundamentais da Teoria dos Números e tem forte relação com importantes aplicações como criptografia.

Estes problemas, referidos como problema do teste de primalidade, tem sido investigado intensivamente desde o surgimento da Teoria da Complexidade na década de 60 – quando as noções de complexidade foram formalizadas e várias classes de problemas foram definidas [4].

Existem algoritmos extremamente simples como os algoritmos de força bruta e, outros algoritmos que usam idéias e heurísticas mais sofisticadas: probabilísticos e algoritmos determinísticos. Algoritmos “eficientes” para o problema do teste de primalidade são conhecidos a um longo tempo [5]. Todavia, o problema, até pouco tempo atrás, não era considerado na classe dos problemas do tipo P - problemas resolvidos em tempo polinomial em relação à determinada entrada. Em 2004, Agrawal, Kaia e Saxena desenvolveram um algoritmo conhecido por AKS, de tempo-polinomial e publicaram um artigo [4] afirmando que o problema do teste de primalidade pertence à classe P.

Todos estes algoritmos utilizam alguma das várias propriedades dos números primos. A própria definição de número primo já nos dá, diretamente, uma maneira de determinar se um número  $n$  é primo ou não: Tentamos dividir o número  $n$  por todo número  $m \leq \sqrt{n}$  - se  $m$  divide  $n$ , então  $n$  é composto, caso contrário,  $n$  é primo. Este teste é conhecido desde a época dos antigos gregos e é apenas uma generalização do Crivo de Eratosthenes que gerava

todos os números primos menores que um inteiro  $n$ . Todavia, esse teste é ineficiente porque requer um número muito grande de passos para resolução do problema [4].

Uma outra propriedade que, quase, nos dá um teste eficiente é o Pequeno Teorema de Fermat: para qualquer número primo  $p$ , e qualquer  $a$  não divisível por  $p$ ,  $a^{p-1} \equiv 1 \pmod{p}$ . Dados  $a$  e  $n$ , pode-se verificar eficientemente se  $a^{n-1} \equiv 1 \pmod{n}$ . Entretanto, desde que muitos números compostos  $n$  também satisfazem a expressão acima para alguns valores de  $a$ , este teste não é 100% correto. Mesmo assim, o Pequeno Teorema de Fermat se tornou a base de muitos testes eficientes de primalidade [4].

Em 1975, Miller [42] obteve um algoritmo determinístico de tempo polinomial para teste de primalidade que assumia a Hipótese de Riemman e que utilizava a propriedade baseada no Pequeno Teorema de Fermat. Posteriormente, Rabin [43] modificou o teste de Miller para obter uma nova versão do teste que não se fundamentasse em nenhuma hipótese ou teoria não provada. Dessa forma, o algoritmo de Rabin seria incondicional em relação a hipóteses, pagando o preço de ser um algoritmo probabilístico.

Em 1974, Solovay e Strassen obtiveram um algoritmo probabilístico de tempo polinomial diferente, que se baseava na propriedade que para um primo  $n$ ,  $\left(\frac{a}{n}\right) = a^{\frac{n-1}{2}} \pmod{n}$  para todo  $a$  ( $\left(\frac{\cdot}{\cdot}\right)$  é o símbolo de Jacob). O algoritmo deles também pode ser determinístico se considerarem a Hipótese de Riemman.

A partir de então, muitos outros algoritmos foram propostos: algoritmos probabilísticos baseados nas mais diversas propriedades, algoritmos determinísticos que executavam em tempo não exponencial e muitos outros.

Na verdade, podemos classificar esses testes de várias formas [41], eles podem ser:

- *Testes para números de forma particular ou testes para números genéricos.*
- *Testes completamente justificados por teoremas ou testes cuja justificativa é baseada em conjecturas.*
- *Testes determinísticos ou testes probabilísticos.*

Cabe aqui explicar, brevemente, o que vem a ser um teste determinístico e um teste probabilístico. Os testes determinísticos são aqueles que para toda execução do teste para uma determinada instância de entrada retornam sempre a mesma resposta de saída. Sempre que o algoritmo (ou teste) for executado para aquela instância a resposta será sempre a mesma. A confiabilidade destes tipos de teste é 100% em se tratando de probabilidades.

Os testes probabilísticos são aqueles que retornam uma resposta com alto índice percentual de confiabilidade e se baseiam em números gerados aleatoriamente para computação do mesmo. A saída do algoritmo (ou teste) pode variar de acordo com o número aleatório gerado para uma mesma instância de entrada. Para se obter um resultado com determinado percentual de confiança deve-se executar o algoritmo várias vezes e conferir o seu resultado. No caso do teste de primalidade o algoritmo é executado várias vezes, se em alguma destas execuções o número foi considerado composto, teremos 100% de certeza nessa resposta. Porém, se o número foi considerado primo, a resposta terá um grau de confiabilidade diretamente proporcional ao número de execuções realizadas.

Nesta seção iremos descrever brevemente alguns algoritmos de teste de primalidade descrevendo suas principais características e em quais classificações eles se encontram.

### 2.4.1. Crivo de Eratosthenes

Este algoritmo para teste de primalidade, criado por Eratosthenes, é um dos mais primitivos e também bastante simples, e é utilizado para encontrar todos os números primos até um determinado número  $n$  de entrada.

O algoritmo funciona da seguinte maneira [44]:

1. Escreve-se uma lista de 2 até  $n$ , onde  $n$  é o maior número que queremos testar a primalidade. Esta lista é a lista dos números que testaremos para primalidade e chamaremos lista de teste.
2. Escrevemos o número 2 numa lista a parte, que será a lista de primos.
3. Marcamos na lista de teste todos os múltiplos de 2 até o número  $n$ .
4. O primeiro número que não foi marcado na lista de teste é um número primo e deveremos escrever esse número na lista de primos.
5. Marcamos na lista de testes todos os múltiplos deste número até  $n$ .
6. Repetimos os passos 4 e 5 até que não haja mais nenhum número na lista de testes para marcar.

Nome	Crivo de Eratosthenes
Classificação	<ul style="list-style-type: none"> <li>• Teste para números genéricos</li> <li>• Teste completamente justificado por teoremas</li> <li>• Teste Determinístico</li> </ul>
Problemas	A complexidade de tempo de execução é muito grande. Este teste se torna muito lento para números compostos de muitos dígitos. É um algoritmo de Força-Bruta.

*Tabela 2.18 - Características do Crivo de Eratosthenes.*

### 2.4.2. Alguns testes clássicos baseados em congruência

Os “Testes clássicos” são assim mencionados de acordo com o livro “Números primos: mistérios e recordes” do autor Paulo Ribenboim que afirma que, em sua opinião, testes clássicos são aqueles baseados nas congruências, indicados por Lehmer como extensões de testes anteriores de Lucas, Pocklington e Proth. Esta parte do trabalho se baseia em [41]. Citaremos abaixo dois destes testes clássicos

#### a) Teste 1:

Em 1876, Lucas descobriu uma verdadeira recíproca do pequeno teorema de Fermat bastante útil, que diz:

Seja  $N > 1$ . Supõe-se que exista um inteiro  $a > 1$  tal que

i)  $a^{N-1} \equiv 1 \pmod{N}$

ii)  $a^m \pmod{N} \neq 1$ , para  $m < N - 1$ .

Então  $N$  é primo.

Classificação	<ul style="list-style-type: none"> <li>• Teste para números genéricos</li> <li>• Teste completamente justificado por teoremas</li> <li>• Teste Determinístico</li> </ul>
Problemas	A complexidade de tempo de execução é grande. Este teste se torna muito lento para números compostos de muitos dígitos, uma vez que o teste exige $(N-2)$ multiplicações sucessivas por $a$ e a verificação que 1 não é resíduo módulo $N$ de uma potência de $a$ inferior a $N - 1$ .

Tabela 2.19 - Características do Teste Clássico 1.



b) Teste 2:

Em 1891, Lucas formulou:

Seja  $N > 1$ . Supõe-se que existe um inteiro  $a > 1$  tal que

i)  $a^{N-1} \equiv 1 \pmod{N}$

ii)  $a^m \pmod{N} \neq 1$ , para todo  $m$  divisor de  $N-1$ .

Então  $N$  é primo.

Classificação	<ul style="list-style-type: none"> <li>• Teste para números genéricos</li> <li>• Teste completamente justificado por teoremas</li> <li>• Teste Determinístico</li> </ul>
Problemas	É preciso conhecer todos os fatores de $N - 1$ , e como falamos anteriormente no capítulo sobre Conceitos Fundamentais, não é fácil computar os fatores de um número grande.

Tabela 2.20 - Características do Teste Clássico 2.

### 2.4.3. Teste de Primalidade de Fermat

O pequeno teorema de Fermat declara que, se  $p$  é um número primo então a expressão  $a^{p-1} \equiv 1 \pmod{p}$  é verdadeira, para  $1 \leq a < p$ . Se a expressão acima falha para algum valor de  $a$  dizemos que  $p$  é composto. Se a expressão é verdadeira para muitos valores de  $a$  podemos dizer que  $p$  é provavelmente primo, ou que  $p$  é um pseudo-primo.

O pseudocódigo para este teste é:

**Entrada:**

$n$ : o número a ser testado;

$k$ : parâmetro que determina quantas vezes o teste executará.

**Saída:**

*Composto*: se  $n$  é composto;

*Provável Primo*: caso contrário;

*Repita  $k$  vezes:*

*Sorteie um número  $a$  no intervalo  $(1, n - 1]$*

*Se  $a^{n-1} \bmod n \neq 1$  retorne Composto*

*Retorne Provável Primo*

Nome	Teste de Primalidade de Fermat
Classificação	<ul style="list-style-type: none"> <li>• Teste para números genéricos</li> <li>• Teste completamente justificado por teoremas</li> <li>• Teste Probabilístico</li> </ul>
Problemas	

Tabela 2.21 - Características do Teste de primalidade de Fermat.

#### 2.4.4. Teste de primalidade de Lucas-Lehmer

O teste de primalidade de Lucas-Lehmer é um teste relativamente simples. Dado um inteiro  $n$  maior que 1, se faz necessário que todos os fatores primos de  $n - 1$  sejam conhecidos.

O algoritmo de Lucas-Lehmer funciona da seguinte maneira:

*Se para todos os fatores primos  $q$  de  $n - 1$  existe um inteiro  $a$ , tal que  $1 < a < n$ , as duas condições abaixo são satisfeitas, então  $n$  é um número primo. Caso contrário,  $n$  é um número composto.*

- *Condição 1:*  $a^{n-1} \equiv 1 \pmod{n}$
- *Condição 2:*  $a^{\frac{n-1}{q}} \pmod{n} \neq 1$

<b>Nome</b>	<i>Teste de Primalidade de Lucas-Lehmer</i>
<b>Classificação</b>	<ul style="list-style-type: none"> <li>• <i>Teste para números genéricos</i></li> <li>• <i>Teste completamente justificado por teoremas</i></li> <li>• <i>Teste Determinístico</i></li> </ul>
<b>Problemas</b>	<i>É preciso conhecer todos os fatores primos de <math>n - 1</math>. Como explicado antes, a fatoração em primos de um número não é uma tarefa fácil.</i>

*Tabela 2.22 - Características do Teste de primalidade de Lucas-Lehmer.*

Obs.: Esse teste é determinístico, mas muitos usam este teste de maneira probabilística, ora não usando o teste para todos os  $a$  no intervalo  $(1, n - 1)$ , ora não usando o teste para todo fator primo de  $q$ . O problema aqui é que este teste determinístico tende a ter uma complexidade de tempo de execução muito alta se o número escolhido para fazer o teste for muito grande.

#### 2.4.5. Teste de primalidade AKS

Este trecho do presente documento é baseado no documento *Primes in P* de autoria de Agrawal, Kaia e Saxena.

O algoritmo AKS é de fundamental importância para o mundo da Matemática e da Ciência da Computação porque ele é o primeiro algoritmo que conseguiu atingir os principais objetivos de interesse no desenvolvimento de testes de primalidade.

Estes objetivos eram conseguir um algoritmo que fosse ao mesmo tempo:

- Determinístico;
- Polinomial em sua complexidade de tempo de execução;
- Incondicional, ou seja, independente de quaisquer conjecturas ou hipóteses;
- E, independente também da forma do número.

O algoritmo tem o tempo de execução  $O\left(\log^{15/2} n\right)$ . Para provar que o AKS é um algoritmo correto é necessário apenas algumas simples ferramentas da álgebra.

O teste se baseia em uma identidade para números primos que é uma generalização do pequeno teorema de Fermat:

*Seja  $a \in \mathbb{Z}$ ,  $n \in \mathbb{N}, n \geq 2$ , e  $(a, n) = 1$ . Então  $n$  é primo se e somente se:*

$$(X + a)^n = X^n + a \pmod{X^r - 1, n}$$

Vale ressaltar que a expressão  $(a, n) = 1$  significa que o maior divisor comum entre  $a$  e  $n$  é 1, ou ainda que,  $a$  e  $n$  são primos entre si. A computação pelo módulo de um polinômio da forma  $X^r - 1$ , com um pequeno  $r$  escolhido adequadamente serve para reduzir o número de coeficientes avaliados em ambos os lados na expressão:

$$(X + a)^n = X^n + a \pmod{n}$$

Como dito no início o algoritmo AKS tem sua importância por ter atingido os objetivos supracitados, porém sua implementação não é tão trivial e não entraremos em maiores detalhes, uma vez que este algoritmo ainda é, na prática, muito mais lento que outros algoritmos probabilísticos.

<b>Nome</b>	<i>Teste de Primalidade AKS</i>
<b>Classificação</b>	<ul style="list-style-type: none"> <li>• <i>Teste para números genéricos</i></li> <li>• <i>Teste completamente justificado por teoremas</i></li> <li>• <i>Teste Determinístico</i></li> <li>• <i>Complexidade de tempo polinomial</i></li> </ul>
<b>Problemas</b>	<i>Na prática, embora seja um algoritmo de tempo polinomial, ainda é bastante lento para valores de entrada de muitos dígitos quando comparado a certos algoritmos probabilísticos. Além disso, sua implementação não é trivial.</i>

*Tabela 2.23 - Características do Teste de primalidade AKS.*

#### 2.4.6. Teste de Primalidade Miller-Rabin

O Teste de primalidade Miller-Rabin é um teste similar ao teste de Fermat e o de Solovay-Strassen. Originalmente este teste era determinístico, mas se confiava na hipótese de Riemann que ainda não é provada.

O teste se baseia num conjunto de igualdades que deverão ser sempre verdadeira para números primos.

O algoritmo é apresentado abaixo:

##### **Entrada:**

$n > 1$  : inteiro ímpar a ser testado para primalidade;

$k$  : parâmetro que determina a confiabilidade do resultado.

##### **Saída:**

*Composto*, se  $n$  for composto;

*Primo*, caso contrário.

Escrever  $n-1$  como  $2^s \cdot d$  fatorando  $n-1$  por 2, onde  $d$  é um inteiro ímpar;

Repita  $k$  vezes:

Escolher aleatoriamente um  $a$  entre  $[1, n-1]$ ;

Se  $a^d \not\equiv 1 \pmod{n}$  e  $a^{2^r d} \not\equiv -1 \pmod{n}$  para todo  $r$  entre  $[0, s-1]$  então

retorne Composto;

Retorne Provavelmente Primo;

<b>Nome</b>	<i>Teste de Primalidade Miller-Rabin</i>
<b>Classificação</b>	<ul style="list-style-type: none"> <li>• <i>Teste para números genéricos</i></li> <li>• <i>Teste completamente justificado por teoremas</i></li> <li>• <i>Teste Probabilístico</i></li> </ul>
<b>Problemas</b>	<i>A confiabilidade da resposta de saída depende do número de vezes que o teste é realizado para uma dada instância de entrada.</i>

Tabela 2.24 - Características do Teste de primalidade Miller-Rabin.

### 3. GENERALIZAÇÕES

Como dito anteriormente, na parte introdutória do nosso trabalho, o objetivo do presente trabalho é levantar alguma possível evidência sobre a infinitude dos números de Fibonacci primos. A seqüência particular de Fibonacci é definida pela fórmula  $F_{n+1} = F_n + F_{n-1}$  e os valores iniciais  $F_0 = 0$  e  $F_1 = 1$ .

Nesta seção, apresentaremos as principais generalizações dos números de Fibonacci que serão abordadas em nossos experimentos. A primeira delas já foi discutida anteriormente e é bem famosa na literatura, a seqüência dos números de Lucas. Essa seqüência é definida recursivamente, assim como a de Fibonacci, e os valores iniciais especiais dessa seqüência são  $L_0 = 2$  e  $L_1 = 1$ .

#### 3.1. GENERALIZAÇÃO I

Uma simples generalização, seguindo a mesma idéia de Lucas, seria definirmos dois novos valores iniciais especiais quaisquer. Por exemplo, poderíamos gerar uma nova seqüência de números a partir dos valores especiais  $G_0 = 5$  e  $G_1 = 2$ . Isso nos daria a seguinte seqüência:

$x$	0	1	2	3	4	5	6	7	8	9	10	11	12	13
$G_x$	5	2	7	9	16	25	41	66	107	173	280	453	733	1186

Tabela 3.1 - Generalização I.

### 3.2. GENERALIZAÇÃO II

Uma outra generalização será feita aumentando o número  $k$  de valores iniciais e necessários para a geração de cada número da seqüência. Por exemplo, para  $k = 4$ , podemos definir uma seqüência de números gerados pela fórmula:

$$G_{n+1} = G_n + G_{n-1} + G_{n-2} + G_{n-3}$$

Para tal, precisaremos definir quatro valores iniciais especiais. Se escolhêssemos os valores iniciais 1, 2, 3 e 4, nós obteríamos a seguinte seqüência inicial:

$x$	0	1	2	3	4	5	6	7	8	9	10	11	12
$G_x$	1	2	3	4	10	19	36	69	134	258	497	958	1847

Tabela 3.2 - Generalização II (a).

Se escolhêssemos o valor de  $k = 3$ , e os valores iniciais 1, 2 e 3. Os resultados obtidos inicialmente seriam:

$x$	0	1	2	3	4	5	6	7	8	9	10	11	12
$G_x$	1	2	3	6	11	20	37	68	125	230	423	778	1431

Tabela 3.3 - Generalização II (b).

Para cada uma destas seqüências iremos verificar a questão da infinitude dos números primos.



## 4. RESULTADOS TEÓRICOS

A partir da análise da seqüência dos números de Fibonacci, dos números de Lucas e das nossas próprias generalizações, pudemos obter alguns resultados para otimizar o processo de testes das instâncias de entrada. Explicamos os resultados encontrados e as idéias utilizadas em cada um destes testes.

### 4.1. RESULTADOS TEÓRICOS PARA OS NÚMEROS DE FIBONACCI

A seqüência inicial dos números de Fibonacci abaixo nos permite enxergar algumas coisas:

$x$	1	2	3	4	5	6	7	8	9	10
$F_x$	1	1	2	3	5	8	13	21	34	55

$x$	11	12	13	14	15	16	17	18	19	20
$F_x$	89	144	233	377	610	987	1597	2584	4181	6765

Tabela 4.1 - Números de Fibonacci.

Os números  $F_x$  cujos índices  $x$  satisfazem à condição  $(x \bmod 3 = 0)$  são sempre múltiplos de 2. Aqueles índices que satisfazem à condição  $(x \bmod 4 = 0)$  são sempre múltiplos de 3. Os que satisfazem à condição  $(x \bmod 5 = 0)$  são sempre múltiplos de 5. Estruturando mais essas idéias para expressão  $x \bmod d = 0$ , temos:

$x$	3, 6, 9	4, 8, 12	5, 10, 15	6, 12, 18	7, 14, 21	8, 16, 24
$d$	3	4	5	6	7	8
$m$	2	3	5	8	13	21

Tabela 4.2 - Se  $x \bmod d = 0$ ,  $F_x$  é múltiplo de  $m$ .

Na tabela 4.2, na linha dos valores de  $x$  damos alguns exemplos dos índices cujos  $F_x$  são múltiplos de  $d$ . Note que:

$$F_{10} = 55 = 5 \cdot 11; F_{18} = 2584 = 4 \cdot 646; F_{16} = 987 = 21 \cdot 47; \text{ e assim continua.}$$

Isso acontece de forma generalizada. Por exemplo, quando  $(x \bmod 9 = 0)$ ,  $F_x$  será múltiplo de 34. Dividindo  $F_{18} = 2584$  por 34 obtemos 76.

Esse resultado não foi aproveitado na otimização dos testes de primalidade para números de Fibonacci porque já existe um teorema mais forte que diz que:

*Se  $F_x$  é primo, necessariamente o índice  $x$  é primo.*

A única exceção acontece para o índice 4. O elemento da seqüência de Fibonacci  $F_4 = 3$  é um número primo, mas seu índice é composto. Para os demais primos desta seqüência todos os índices são primos. Logo, em nosso teste computacional, apenas calculamos a primalidade dos números de Fibonacci cujos seus índices fossem primos. Isso nos fez ter que calcular a primalidade de todos os números entre 1 e 27000, mas certamente é bem mais fácil realizar computações de primalidade em números de 5 dígitos do que em números de mais de 5000. Portanto, esse foi um valor a ser pago.

## 4.2. RESULTADOS TEÓRICOS PARA OS NÚMEROS DE LUCAS

Trabalhamos com os números de Lucas de maneira análoga a forma como trabalhamos os números de Fibonacci. Procuramos encontrar padrões que nos levassem a ganhar tempo no processamento dos testes de primalidade dos 27000 números de Lucas da nossa lista. Analisando os primeiros números da seqüência de Lucas abaixo:

$x$	1	2	3	4	5	6	7	8	9	10
$L_x$	2	1	3	4	7	11	18	29	47	76

$x$	11	12	13	14	15	16	17	18	19	20
$L_x$	123	199	322	521	843	1364	2207	3571	5778	9349

$x$	21	22	23	24	25
$L_x$	15127	24476	39603	64079	103682

Tabela 4.3 - Números de Lucas.

Perceba que quando  $(x \bmod 3 = 1)$  os valores de  $L_x$  são todos múltiplos de 2, e que quando  $(x \bmod 4 = 3)$  os valores de  $L_x$  são múltiplos de 3.

Se repararmos nos doze primeiros números desta seqüência veremos que temos 6 números que são múltiplos de 2 e/ou múltiplos de 3. Nos doze números seguintes desta seqüência o mesmo acontece, temos 6 números que são múltiplos de 2 e/ou são múltiplos de 3. Além disso, note no último dígito de cada um dos doze primeiros números. Os dígitos são: 2, 1, 3, 4, 7, 1, 8, 9, 7, 6, 3 e 9. Os últimos dígitos dos doze números seguintes são: 2, 1, 3, 4, 7, 1, 8, 9, 7, 6, 3 e 9. Existe uma seqüência de últimos dígitos que se repetem de doze em doze números. Observe a tabela abaixo contendo os 24 primeiros índices da seqüência dos números de Lucas:

1	2	3	4	5	6	7	8	9	10	11	12
13	14	15	16	17	18	19	20	21	22	23	24

Tabela 4.4 - Padrões nos números de Lucas.

Os índices de cor azul são aqueles cujos números de Lucas são múltiplos de 2. Os de amarelo são aqueles cujos números de Lucas são múltiplos de 3. E os verdes são os números de Lucas que são múltiplos de 2 e de 3 simultaneamente.

Podemos concluir que a cada doze números da seqüência de Lucas precisaremos testar para primalidade apenas seis números. Os outros seis são descartados no teste de módulo dos índices. Sempre que o índice  $x$  satisfizer uma das condições:  $(x \bmod 3 = 1)$  ou  $(x \bmod 4 = 3)$ , não precisamos testar para primalidade o número  $L_x$ , pois este ou é múltiplo de 2 ou de 3.

Usando os testes dos módulos sobre os índices descartamos aproximadamente a metade dos números de lucas que testaríamos para primalidade.

### 4.3. RESULTADOS TEÓRICOS PARA GENERALIZAÇÃO

$$k = 2, G_1 = 2 \text{ E } G_2 = 5$$

Nesta seqüência generalizada os primeiros números da seqüência são:

$x$	1	2	3	4	5	6	7	8	9	10
$G_x$	2	5	7	12	19	31	50	81	131	212

$x$	11	12	13	14	15	16	17	18
$G_x$	343	555	898	1453	2351	3804	6155	9959

Tabela 4.5 – Números da seqüência com  $k = 2$ ,  $G_1 = 2$  e  $G_2 = 5$ .

Observer que:

- Os múltiplos de 2 se encontram nos índices 1, 4, 7, 10, e assim por diante. Repare que a distância que separa um múltiplo do outro é de apenas dois números (índices).
- Os múltiplos de 3 se encontram nos índices 4, 8, 12, 16, e assim por diante. A distância entre estes é de três números (índices).
- Os múltiplos de 5 se encontram nos índices 2, 7, 12, 15, etc. Estes múltiplos estão afastados um do outro quatro números.

Podemos concluir que existe um padrão que nos ajudará a melhorar o tempo computacional dos testes desta seqüência evitando computações desnecessárias.

As relações são:

- Quando o índice  $x$  for múltiplo de 3, o número  $G_x$  será múltiplo de dois;
- Quando o índice  $x \bmod 4 = 3$ , o número  $G_x$  será múltiplo de 3;
- E, quando o índice  $x \bmod 5 = 1$ , o número será múltiplo de 5.

Aplicamos este conhecimento para otimização do teste de primalidade dos números desta seqüência. A idéia básica foi a mesma das consideradas nas seqüências de Fibonacci e Lucas.

#### 4.4. RESULTADOS TEÓRICOS PARA GENERALIZAÇÃO

$$k = 2, G_1 = 3 \text{ E } G_2 = 7$$

Os primeiros números da seqüência generalizada para  $k = 2$ ,  $G_1 = 3$  e  $G_2 = 7$  são:

$x$	1	2	3	4	5	6	7	8	9	10
$G_x$	3	7	10	17	27	44	71	115	186	301

$x$	11	12	13	14	15	16	17
$G_x$	487	788	1275	2063	3338	5401	8739

Tabela 4.6 – Números da seqüência com  $k = 2$ ,  $G_1 = 3$  e  $G_2 = 7$ .

Usamos aqui a mesma idéia usada nos números de Fibonacci e demais seqüências citadas até então. As relações obtidas da análise dos valores  $G_x$  em relação aos seus índices  $x$  são:

- Quando o índice  $x$  for múltiplo de 4, o número  $G_x$  será múltiplo de 3;
- Quando o índice  $x \bmod 6 = 5$ , o número  $G_x$  será múltiplo de 2;
- E, quando o índice  $x \bmod 5 = 2$ , o número será múltiplo de 5.

Estes resultados foram utilizados na implementação dos algoritmos de teste para obtenção de um melhor tempo de resposta.

#### 4.5. RESULTADOS TEÓRICOS PARA GENERALIZAÇÃO

$$k = 3, G_1 = 1, G_2 = 2 \text{ E } G_3 = 3$$

Os primeiros números desta seqüência são mostrados logo abaixo:

$x$	1	2	3	4	5	6	7	8	9	10
$G_x$	1	2	3	6	11	20	37	68	125	230

Tabela 4.7 – Números da seqüência com  $k = 3$ ,  $G_1 = 1$ ,  $G_2 = 2$  e  $G_3 = 3$ .

Percebemos claramente que existe um padrão: os números que aparecem nesta seqüência são, alternadamente, ímpares e pares. Este padrão permitiu evitar, de cara, cinqüenta por cento dos números desta seqüência.

O nosso código testava se o índice era par ou ímpar comparando o resto da divisão por dois. Quando o resto da divisão do índice  $x$  por 2 era 0, não testávamos  $G_x$ , pois sabíamos do resultado teórico que  $G_x$  era par. Quando o resto da divisão do índice  $x$  era 1,  $G_x$  era submetido ao teste de primalidade.

#### 4.6. RESULTADOS TEÓRICOS PARA GENERALIZAÇÃO

$$k = 4, G_1 = 1, G_2 = 2, G_3 = 3 \text{ E } G_4 = 4$$

Os primeiros números desta seqüência são explicitados na tabela abaixo:

$x$	1	2	3	4	5	6	7	8	9	10
$G_x$	1	2	3	4	10	19	36	69	134	258

Tabela 4.8 – Números da seqüência com  $k = 4$ ,  $G_1 = 1$ ,  $G_2 = 2$ ,  $G_3 = 3$  e  $G_4 = 4$ .

Se organizarmos esses números novamente em uma tabela 5x5 temos:

<b>1</b>	<b>2</b>	<b>3</b>	<b>4</b>	<b>10</b>
<b>19</b>	<b>36</b>	<b>69</b>	<b>134</b>	<b>258</b>
<b>497</b>	<b>958</b>	<b>1847</b>	<b>3560</b>	<b>6862</b>

Tabela 4.9 – Números da seqüência em tabela 5x5.

A tabela acima nos permite enxergar um padrão, uma repetição que ocorre em um ciclo de cinco em cinco números. A tabela 4.9 é escrita abaixo em termos de seu padrão característico.

<b>Ímpar</b>	<b>Par</b>	<b>Ímpar</b>	<b>Par</b>	<b>Par</b>
<b>Ímpar</b>	<b>Par</b>	<b>Ímpar</b>	<b>Par</b>	<b>Par</b>
<b>Ímpar</b>	<b>Par</b>	<b>Ímpar</b>	<b>Par</b>	<b>Par</b>

Tabela 4.10 – Padrões dos números da presente seqüência.

Expressando matematicamente este padrão, temos:

- $(x \bmod 5 = 1) \vee (x \bmod 5 = 3) \Rightarrow G_x \text{ é ímpar.}$
- $(x \bmod 5 = 2) \vee (x \bmod 5 = 4) \vee (x \bmod 5 = 0) \Rightarrow G_x \text{ é par.}$

Usando esses artifícios matemáticos, conseguimos reduzir em 60% a quantidade de números submetidos ao teste de primalidade.



## 5. TESTES COMPUTACIONAIS

Para realizar a parte dos testes computacionais relativos às generalizações expostas no Capítulo 4 e o desenvolvimento dos algoritmos geradores de números primos, números primos de Fibonacci e de Lucas, e mais algum outro código necessário para facilitar a análise de dados, foi utilizado o ambiente de desenvolvimento Eclipse e a linguagem de programação Java.

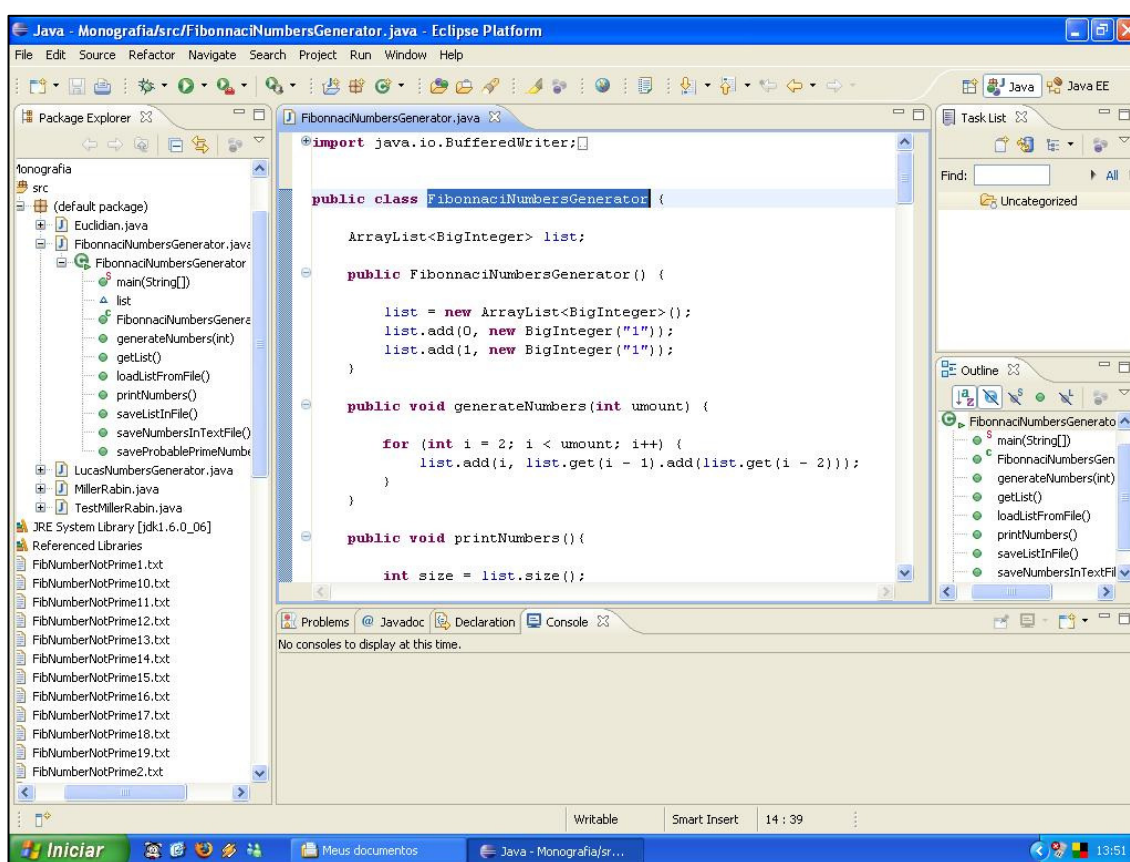


Figura 5.1 - Plataforma de Desenvolvimento Eclipse.

O motivo da escolha de tais ferramentas é que o Eclipse oferece muitos *plugins*, facilidades de programação e um enorme conjunto de ferramentas integradas, como por exemplo, um depurador de programas poderoso com interface gráfica de fácil uso e um *framework* de testes unitário conhecido como JUnit. Java foi preferida dentre outras linguagens porque já oferece, em sua

API, uma abstração para números inteiros suficientemente grandes chamada BigInteger, além de funcionar sem maiores complicações em qualquer sistema.

Todos os testes foram realizados no Laboratório de Lógica e Inteligência Computacional (LABLIC) do Departamento de Informática e Matemática Aplicada (DIMAp), utilizando o sistema operacional Linux com distribuição Ubuntu 7.10 em uma máquina com a seguinte configuração:

- Processador Core 2 Duo da Intel;
- Memória RAM: 1 Giga.

Vale aqui fazer uma ressalva. Atualmente testes para obtenção de números primos grandes são executadas em grandes *clusters* de 700 máquinas como parte de uma rede *grid* chamada PrimeNet de mais de 70000 máquinas com poder computacional imensamente maior do que o que usamos neste trabalho. Estes testes de primalidade executam nestas poderosas máquinas por mais de nove meses. Para ter uma idéia, para calcular o maior número primo encontrado até hoje ( $2^{32582657} - 1$ ), em uma única máquina seria necessário mais de 4000 anos.

O nosso primeiro passo na fase de testes foi programar código para geração das listas de números de Fibonacci e de números de Lucas. A funcionalidade do programa inclui:

- Gerar os números num determinado intervalo determinado pelo usuário;
- Salvar a lista de números em arquivo binário;
- Salvar a lista em arquivo texto;
- Carregar a lista para memória a partir do arquivo binário;
- Testar a primalidade dos números nessa lista e salva-la num arquivo texto;

A escolha para o teste de primalidade, inicialmente, foi o AKS, mas, este algoritmo era de difícil implementação e algumas implementações que chegamos a testar eram bastante lentas. A partir de então optamos por implementar o algoritmo Miller-Rabin em sua versão probabilística. Podíamos ter implementado a versão determinística deste algoritmo, o problema é que esta versão se baseia na hipótese, ainda não provada, de Riemman. Preferimos o Miller-Rabin probabilístico por três motivos principais:

- O problema relativo ao erro pode ser minimizado realizando-se mais testes para uma mesma instância de entrada;
- O Miller-Rabin é um algoritmo relativamente rápido em comparação com algoritmos determinísticos;
- É um algoritmo mais fácil de implementar.

Os algoritmos usados em nossos testes foram baseados na nossa implementação do Miller-Rabin e, também, em um teste para primalidade disponível na classe `BigInteger` da API Java. A priori havíamos descartado utilizar esse teste por que não sabíamos realmente o quanto podíamos confiar nele. Depois, acabamos tendo acesso ao seu código-fonte e verificamos que esse teste era uma outra implementação do algoritmo Miller-Rabin e também do algoritmo para primalidade de Lucas-Lehmer. O teste da API do Java sempre verifica se o número  $n$  testado para primalidade utilizando ambos os algoritmos citados acima.

Para os testes relativos aos números de Fibonacci e Lucas geramos uma lista dos 27000 primeiros números da seqüência. Os últimos números desta seqüência possuem mais de 5000 dígitos. Infelizmente, não foi possível gerar números com muito mais dígitos porque a memória não era suficiente e, além disso, o teste de primalidade se tornava mais caro computacionalmente à medida que o número de dígitos da instância de entrada crescia. Os testes de primalidade para os números de Fibonacci duraram aproximadamente 4 dias, enquanto que o teste de primalidade para os números de Lucas durou pouco mais de 5 dias.

Os testes para as duas primeiras generalizações com  $k = 2$  foram bem mais rápidos. Duraram cerca de 5 dias ambos os testes, média de 2,5 dias para cada. Uma das razões para isso é que as listas de primos que geramos para essas duas seqüências tiveram o tamanho um pouco menor. Essas listas continham 20000 números cada.

## 6. RESULTADOS COMPUTACIONAIS

Nesta seção, apresentamos os números primos encontrados durante cada um dos nossos testes e alguns dados estatísticos ao final.

### 6.1. RESULTADOS COMPUTACIONAIS PARA O TESTE SOBRE NÚMEROS DE FIBONACCI

Foram testados os 27000 primeiros números da seqüência de Fibonacci.

<b>Total de Números de Fibonacci testados</b>	<b>27000</b>
<b>Qtde de num. primos de Fibonacci encontrados</b>	<b>28</b>
<b>Percentual</b>	<b>0,103%</b>
<b>Qtde de primos terminados em 1</b>	<b>2</b>
<b>Qtde de primos terminados em 3</b>	<b>6</b>
<b>Qtde de primos terminados em 7</b>	<b>7</b>
<b>Qtde de primos terminados em 9</b>	<b>11</b>

Tabela 6.1 – Dados da seqüência de Fibonacci.

<b>Índice do num. Primos de Fibonacci</b>	<b>Número de dígitos</b>
[3]	<b>1</b>
[4]	<b>1</b>
[5]	<b>1</b>
[7]	<b>2</b>
[11]	<b>2</b>
[13]	<b>3</b>
[17]	<b>4</b>
[23]	<b>5</b>
[29]	<b>6</b>
[43]	<b>9</b>

[47]	<b>10</b>
[83]	<b>17</b>
[131]	<b>28</b>
[137]	<b>29</b>
[359]	<b>76</b>
[431]	<b>90</b>
[433]	<b>91</b>
[449]	<b>94</b>
[509]	<b>107</b>
[569]	<b>119</b>
[571]	<b>119</b>
[2971]	<b>621</b>
[4723]	<b>987</b>
[5387]	<b>1126</b>
[9311]	<b>1946</b>
[9377]	<b>2023</b>
[14431]	<b>3016</b>
[25561]	<b>5342</b>

*Tabela 6.2 – Índices dos primos de Fibonacci e quantidades de dígitos destes.*

Da tabela 6.2 podemos verificar algo bem interessante. Se tomarmos a quantidade de dígitos de dois números primos consecutivos da seqüência acima e dividirmos um pelo outro, e compararmos com o resultado da divisão de seus respectivos índices, observaremos que os resultados dessas divisões serão bem parecidos. A diferença máxima entre os resultados da divisão dos primos e da divisão dos seus índices quando os números passam a ter mais de 5 dígitos é 0,06. Por exemplo, escolhendo os números primos com 5342 e 3016 dígitos, e, [25561] e [14431], seus respectivos índices, temos:

$$\frac{25561}{14431} \approx 1,7712 \text{ e } \frac{5342}{3016} \approx 1,7712$$

A diferença entre essas divisões é de 3,62E-05.

Outra coisa interessante é que, se dividirmos o índice de um número primo da seqüência de Fibonacci por sua quantidade de dígitos, na maioria das vezes e excetuando-se os primeiros quatro valores, obteremos sempre um resultado próximo de 4,78. Por exemplo:

<b>Índices</b>	<b>Número de dígitos</b>	<b>Índices/números de dígitos</b>
[7]	<b>2</b>	3,5
[11]	<b>2</b>	5,5
[13]	<b>3</b>	4,333333
[17]	<b>4</b>	4,25
[23]	<b>5</b>	4,6
[29]	<b>6</b>	4,833333
[43]	<b>9</b>	4,777778
[47]	<b>10</b>	4,7
[83]	<b>17</b>	4,882353
[131]	<b>28</b>	4,678571
[137]	<b>29</b>	4,724138
[359]	<b>76</b>	4,723684
[431]	<b>90</b>	4,788889
[433]	<b>91</b>	4,758242
[449]	<b>94</b>	4,776596
[509]	<b>107</b>	4,757009
[569]	<b>119</b>	4,781513
[571]	<b>119</b>	4,798319
[2971]	<b>621</b>	4,784219
[4723]	<b>987</b>	4,785208
[5387]	<b>1126</b>	4,784192
[9311]	<b>1946</b>	4,784687
[9377]	<b>2023</b>	4,635195
[14431]	<b>3016</b>	4,784814
[25561]	<b>5342</b>	4,784912

Tabela 6.3 – índices / número de dígitos

A tabela abaixo mostra a distribuição dos números primos dentro da seqüência de Fibonacci. A maioria dos números primos encontrados nos primeiros 27000 números de Fibonacci acontece quando o índice é menor que 1000.

<b>Intervalo</b>	<b>Qtde</b>	<b>Intervalo</b>	<b>Qtde</b>	<b>Intervalo</b>	<b>Qtde</b>
1 a 1000	<b>21</b>	9001 a 10000	<b>2</b>	18001 a 19000	<b>0</b>
1001 a 2000	<b>0</b>	10001 a 11000	<b>0</b>	19001 a 20000	<b>0</b>
2001 a 3000	<b>1</b>	11001 a 12000	<b>0</b>	20001 a 21000	<b>0</b>
3001 a 4000	<b>0</b>	12001 a 13000	<b>0</b>	21001 a 22000	<b>0</b>
4001 a 5000	<b>1</b>	13001 a 14000	<b>0</b>	22001 a 23000	<b>0</b>
5001 a 6000	<b>1</b>	14001 a 15000	<b>1</b>	23001 a 24000	<b>0</b>
6001 a 7000	<b>0</b>	15001 a 16000	<b>0</b>	24001 a 25000	<b>0</b>
7001 a 8000	<b>0</b>	16001 a 17000	<b>0</b>	25001 a 26000	<b>1</b>
8001 a 9000	<b>0</b>	17001 a 18000	<b>0</b>	26001 a 27000	<b>0</b>

*Tabela 6.4 – Quantidade de primos de Fibonacci x Intervalo desta seqüência*



## 6.2. RESULTADOS COMPUTACIONAIS PARA O TESTE SOBRE NÚMEROS DE LUCAS

Foram testados os 27000 primeiros números da seqüência de Lucas.

<b>Total de Números de Lucas testados</b>	<b>27000</b>
<b>Qtde de num. primos de Lucas encontrados</b>	<b>38</b>
<b>Percentual</b>	<b>0,140%</b>
<b>Qtde de primos terminados em 1</b>	<b>18</b>
<b>Qtde de primos terminados em 3</b>	<b>1</b>
<b>Qtde de primos terminados em 7</b>	<b>3</b>
<b>Qtde de primos terminados em 9</b>	<b>15</b>

Tabela 6.5 – Dados da seqüência de Lucas.

<b>Índices dos num. primos de Lucas</b>	<b>Número de dígitos</b>
[1]	<b>1</b>
[3]	<b>1</b>
[5]	<b>1</b>
[6]	<b>2</b>
[8]	<b>2</b>
[9]	<b>2</b>
[12]	<b>3</b>
[14]	<b>3</b>
[17]	<b>4</b>
[18]	<b>4</b>
[20]	<b>4</b>
[32]	<b>7</b>
[38]	<b>8</b>
[42]	<b>9</b>
[48]	<b>10</b>
[54]	<b>12</b>
[62]	<b>13</b>

[72]	<b>15</b>
[80]	<b>17</b>
[114]	<b>24</b>
[314]	<b>66</b>
[354]	<b>74</b>
[504]	<b>106</b>
[614]	<b>129</b>
[618]	<b>129</b>
[864]	<b>181</b>
[1098]	<b>230</b>
[1362]	<b>285</b>
[4788]	<b>1001</b>
[4794]	<b>1002</b>
[5852]	<b>1223</b>
[7842]	<b>1618</b>
[8468]	<b>1770</b>
[10692]	<b>2235</b>
[12252]	<b>2561</b>
[13964]	<b>2919</b>
[14450]	<b>3020</b>
[19470]	<b>4069</b>

*Tabela 6.6 – Índices dos primos de Lucas e quantidades de dígitos destes.*

Na seqüência de Lucas acontece o mesmo padrão encontrado na seqüência de Fibonacci. O resultado da divisão do índice de um número primo de Lucas pela quantidade de dígitos deste número primo, converge para 4,78 também. Alguns exemplos:

$$\frac{19740}{4096} \approx 4,784, \quad \frac{14450}{3020} \approx 4,784, \quad \frac{12252}{2561} \approx 4,784 \quad \text{e} \quad \frac{8468}{1770} \approx 4,784$$

Da mesma forma, a divisão dos índices de dois números primos consecutivos da seqüência de Lucas é, aproximadamente, igual ao resultado da divisão de

suas respectivas quantidades de dígitos. Por exemplo:  $54 \div 48 = 1,125$  e  $12 \div 10 = 1,2$ ;  $10692 \div 8468 \approx 1,2626$  e  $2235 \div 1770 \approx 1,2627$ .

A tabela 6.7 mostra a distribuição dos números primos de Lucas dentro da seqüência dos 27000 primeiros números testados. Como era de se esperar, a maioria dos números primos desta seqüência limitada se encontra nos primeiros mil números da seqüência.

<b>Intervalo</b>	<b>Qtde</b>	<b>Intervalo</b>	<b>Qtde</b>	<b>Intervalo</b>	<b>Qtde</b>
1 a 1000	<b>26</b>	9001 a 10000	<b>0</b>	18001 a 19000	<b>0</b>
1001 a 2000	<b>2</b>	10001 a 11000	<b>1</b>	19001 a 20000	<b>1</b>
2001 a 3000	<b>0</b>	11001 a 12000	<b>0</b>	20001 a 21000	<b>0</b>
3001 a 4000	<b>0</b>	12001 a 13000	<b>1</b>	21001 a 22000	<b>0</b>
4001 a 5000	<b>2</b>	13001 a 14000	<b>1</b>	22001 a 23000	<b>0</b>
5001 a 6000	<b>1</b>	14001 a 15000	<b>1</b>	23001 a 24000	<b>0</b>
6001 a 7000	<b>0</b>	15001 a 16000	<b>0</b>	24001 a 25000	<b>0</b>
7001 a 8000	<b>1</b>	16001 a 17000	<b>0</b>	25001 a 26000	<b>0</b>
8001 a 9000	<b>1</b>	17001 a 18000	<b>0</b>	26001 a 27000	<b>0</b>

*Tabela 6.7 – Quantidade de primos de Lucas x Intervalo desta seqüência*

### 6.3. RESULTADOS COMPUTACIONAIS PARA O TESTE SOBRE NÚMEROS DA SEQÜÊNCIA GENERALIZADA COM

$$k = 2, G_1 = 2 \text{ E } G_2 = 5.$$

Foram testados os primeiros 20000 números desta seqüência. Esta seqüência apresenta os mesmos padrões citados anteriormente nas seqüências de Fibonacci e Lucas. O primeiro padrão é que a divisão do índice de um número primo desta seqüência, pela quantidade de seus dígitos, converge para 4,784. O segundo é que o resultado da divisão dos índices de dois números primos consecutivos e o resultado da divisão das suas respectivas quantidades de dígitos são aproximadamente os mesmos. A diferença máxima é de 0,1.

<b>Total de Números da seqüência testada</b>	<b>20000</b>
<b>Qtde de num. primos encontrados</b>	<b>37</b>
<b>Percentual</b>	<b>0,185%</b>
<b>Qtde de primos terminados em 1</b>	<b>13</b>
<b>Qtde de primos terminados em 3</b>	<b>5</b>
<b>Qtde de primos terminados em 7</b>	<b>8</b>
<b>Qtde de primos terminados em 9</b>	<b>9</b>

Tabela 6.8 – Dados da seqüência com  $k = 2$ ,  $G_1 = 2$  e  $G_2 = 5$ .

<b>Índice dos números primos</b>	<b>Número de dígitos</b>
[1]	<b>1</b>
[2]	<b>1</b>
[3]	<b>1</b>
[5]	<b>2</b>
[6]	<b>2</b>
[9]	<b>3</b>
[14]	<b>4</b>
[15]	<b>4</b>
[21]	<b>5</b>

[29]	<b>7</b>
[30]	<b>7</b>
[33]	<b>8</b>
[54]	<b>12</b>
[65]	<b>14</b>
[81]	<b>18</b>
[86]	<b>19</b>
[93]	<b>20</b>
[125]	<b>27</b>
[129]	<b>28</b>
[326]	<b>38</b>
[806]	<b>169</b>
[825]	<b>173</b>
[1073]	<b>225</b>
[1106]	<b>232</b>
[1305]	<b>273</b>
[1343]	<b>281</b>
[1719]	<b>360</b>
[1745]	<b>365</b>
[3495]	<b>731</b>
[4229]	<b>885</b>
[4535]	<b>948</b>
[5990]	<b>1253</b>
[6725]	<b>1406</b>
[9089]	<b>1900</b>
[9741]	<b>2036</b>
[10370]	<b>2168</b>
[18225]	<b>3810</b>

*Tabela 6.9 – Índices dos primos da seqüência com  $k = 2$ ,  $G_1 = 2$ ,  $G_2 = 5$  e quantidades de dígitos destes.*

Novamente, a maioria dos números primos desta seqüência limitada aparece quando o índice dos números é menor que 1000.

<i>Intervalo</i>	<i>Qtde</i>	<i>Intervalo</i>	<i>Qtde</i>	<i>Intervalo</i>	<i>Qtde</i>
1 a 1000	<b>22</b>	7001 a 8000	<b>0</b>	14001 a 15000	<b>0</b>
1001 a 2000	<b>6</b>	8001 a 9000	<b>0</b>	15001 a 16000	<b>0</b>
2001 a 3000	<b>0</b>	9001 a 10000	<b>2</b>	16001 a 17000	<b>0</b>
3001 a 4000	<b>1</b>	10001 a 11000	<b>1</b>	17001 a 18000	<b>0</b>
4001 a 5000	<b>2</b>	11001 a 12000	<b>0</b>	18001 a 19000	<b>1</b>
5001 a 6000	<b>1</b>	12001 a 13000	<b>0</b>	19001 a 20000	<b>0</b>
6001 a 7000	<b>1</b>	13001 a 14000	<b>0</b>		

*Tabela 6.10 – Quantidade de primos da seqüência com  $k = 2$ ,  $G_1 = 2$ ,  $G_2 = 5$  x Intervalo desta seqüência*

#### 6.4. RESULTADOS COMPUTACIONAIS PARA O TESTE SOBRE NÚMEROS DA SEQÜÊNCIA GENERALIZADA COM

$$k = 2, G_1 = 3 \text{ E } G_2 = 7.$$

Foram testados os 20000 primeiros números dessa seqüência. Esta seqüência apresenta os mesmos padrões explicitados nas outras seqüências com  $k = 2$ . O primeiro padrão é que a divisão do índice de um número primo desta seqüência, pela quantidade de seus dígitos, converge para 4,784. O segundo é que o resultado da divisão dos índices de dois números primos consecutivos e o resultado da divisão das suas respectivas quantidades de dígitos são aproximadamente os mesmos.

<b>Total de Números da seqüência testada</b>	<b>20000</b>
<b>Qtde de num. primos encontrados</b>	<b>27</b>
<b>Percentual</b>	<b>0,135%</b>
<b>Qtde de primos terminados em 1</b>	<b>4</b>
<b>Qtde de primos terminados em 3</b>	<b>9</b>
<b>Qtde de primos terminados em 7</b>	<b>8</b>
<b>Qtde de primos terminados em 9</b>	<b>6</b>

Tabela 6.11 – Dados da seqüência com  $k = 2$ ,  $G_1 = 3$  e  $G_2 = 7$ .

<b>Índice dos números primos</b>	<b>Número de dígitos</b>
[1]	<b>1</b>
[2]	<b>1</b>
[4]	<b>2</b>
[7]	<b>2</b>
[11]	<b>3</b>
[14]	<b>4</b>
[20]	<b>5</b>
[35]	<b>8</b>
[92]	<b>20</b>
[100]	<b>22</b>

[124]	<b>27</b>
[155]	<b>33</b>
[191]	<b>41</b>
[259]	<b>55</b>
[470]	<b>99</b>
[511]	<b>108</b>
[587]	<b>124</b>
[812]	<b>171</b>
[899]	<b>189</b>
[1999]	<b>419</b>
[2032]	<b>426</b>
[2095]	<b>439</b>
[3031]	<b>634</b>
[3419]	<b>715</b>
[4231]	<b>885</b>
[7055]	<b>1475</b>
[11747]	<b>2456</b>

*Tabela 6.12 – Índices dos primos da seqüência com  $k = 2$ ,  $G_1 = 3$ ,  $G_2 = 7$  e quantidades de dígitos destes.*

<b>Intervalo</b>	<b>Qtde</b>	<b>Intervalo</b>	<b>Qtde</b>	<b>Intervalo</b>	<b>Qtde</b>
1 a 1000	<b>19</b>	7001 a 8000	<b>1</b>	14001 a 15000	<b>0</b>
1001 a 2000	<b>1</b>	8001 a 9000	<b>0</b>	15001 a 16000	<b>0</b>
2001 a 3000	<b>2</b>	9001 a 10000	<b>0</b>	16001 a 17000	<b>0</b>
3001 a 4000	<b>2</b>	10001 a 11000	<b>0</b>	17001 a 18000	<b>0</b>
4001 a 5000	<b>1</b>	11001 a 12000	<b>1</b>	18001 a 19000	<b>0</b>
5001 a 6000	<b>0</b>	12001 a 13000	<b>0</b>	19001 a 20000	<b>0</b>
6001 a 7000	<b>0</b>	13001 a 14000	<b>0</b>		

*Tabela 6.13 – Quantidade de primos da seqüência com  $k = 2$ ,  $G_1 = 3$ ,  $G_2 = 7$  x Intervalo desta seqüência*



## 6.5. RESULTADOS COMPUTACIONAIS PARA O TESTE SOBRE NÚMEROS DA SEQÜÊNCIA GENERALIZADA COM

$$k=3, G_1=1, G_2=2 \text{ E } G_3=3.$$

Foram testados os 19000 primeiros números desta seqüência. O que se destaca aqui é que o percentual de números primos encontrados na seqüência para  $k=3$  foi bem menor que aquele encontrado nas seqüências com  $k=2$ . A divisão do índice de um número primo desta seqüência pela quantidade de dígitos deste converge para 3,8. E o resultado da divisão dos índices de dois números primos consecutivos e o resultado da divisão das suas respectivas quantidades de dígitos são aproximadamente os mesmos.

Além disso, é importante notar que, entre estes 19000 números testados, apenas encontramos números primos quando o índice era ímpar.

<b>Total de Números da seqüência testada</b>	<b>19000</b>
<b>Qtde de num. primos encontrados</b>	<b>10</b>
<b>Percentual</b>	<b>0,052%</b>
<b>Qtde de primos terminados em 1</b>	<b>5</b>
<b>Qtde de primos terminados em 3</b>	<b>1</b>
<b>Qtde de primos terminados em 7</b>	<b>2</b>
<b>Qtde de primos terminados em 9</b>	<b>1</b>

Tabela 6.14 – Dados da seqüência com  $k=3$ ,  $G_1=1$ ,  $G_2=2$  e  $G_3=3$ .

<b>Índice dos números primos</b>	<b>Número de dígitos</b>
[2]	<b>1</b>
[3]	<b>1</b>
[5]	<b>2</b>
[7]	<b>2</b>
[23]	<b>6</b>
[27]	<b>7</b>
[47]	<b>13</b>

[77]	<b>21</b>
[1611]	<b>427</b>
[15203]	<b>4024</b>

Tabela 6.15 – Índices dos primos da seqüência com  $k = 3$ ,  $G_1 = 1$ ,  $G_2 = 2$  e  $G_3 = 3$ , e quantidades de dígitos destes.

<b>Intervalo</b>	<b>Qtde</b>	<b>Intervalo</b>	<b>Qtde</b>	<b>Intervalo</b>	<b>Qtde</b>
1 a 1000	<b>8</b>	7001 a 8000	<b>0</b>	14001 a 15000	<b>0</b>
1001 a 2000	<b>1</b>	8001 a 9000	<b>0</b>	15001 a 16000	<b>1</b>
2001 a 3000	<b>0</b>	9001 a 10000	<b>0</b>	16001 a 17000	<b>0</b>
3001 a 4000	<b>0</b>	10001 a 11000	<b>0</b>	17001 a 18000	<b>0</b>
4001 a 5000	<b>0</b>	11001 a 12000	<b>0</b>	18001 a 19000	<b>0</b>
5001 a 6000	<b>0</b>	12001 a 13000	<b>0</b>		
6001 a 7000	<b>0</b>	13001 a 14000	<b>0</b>		

Tabela 6.16 – Quantidade de primos da seqüência com  $k = 3$ ,  $G_1 = 1$ ,  $G_2 = 2$  e  $G_3 = 3$  x Intervalo desta seqüência

## 6.6. RESULTADOS COMPUTACIONAIS PARA O TESTE SOBRE NÚMEROS DA SEQÜÊNCIA GENERALIZADA COM $k = 4$ , $G_1 = 1$ , $G_2 = 2$ , $G_3 = 3$ e $G_4 = 4$ .

Foram testados os 18000 primeiros números desta seqüência. A divisão do índice de um número primo desta seqüência pela quantidade de dígitos deste converge para 3,5. E o resultado da divisão dos índices de dois números primos consecutivos e o resultado da divisão das suas respectivas quantidades de dígitos são aproximadamente os mesmos.

<b>Total de Números da seqüência testada</b>	<b>18000</b>
<b>Qtde de num. primos encontrados</b>	<b>11</b>
<b>Percentual</b>	<b>0,061%</b>
<b>Qtde de primos terminados em 1</b>	<b>4</b>

<b>Qtde de primos terminados em 3</b>	<b>2</b>
<b>Qtde de primos terminados em 7</b>	<b>3</b>
<b>Qtde de primos terminados em 9</b>	<b>1</b>

Tabela 6.17 – Dados da seqüência com  $k = 4$ ,  $G_1 = 1$ ,  $G_2 = 2$ ,  $G_3 = 3$  e  $G_4 = 4$ .

<b>Índice dos números primos</b>	<b>Número de dígitos</b>
[2]	<b>1</b>
[3]	<b>1</b>
[6]	<b>2</b>
[13]	<b>4</b>
[58]	<b>17</b>
[71]	<b>20</b>
[363]	<b>104</b>
[373]	<b>106</b>
[446]	<b>127</b>
[1826]	<b>520</b>
[2458]	<b>701</b>

Tabela 6.18 – Índices dos primos da seqüência com  $k = 4$ ,  $G_1 = 1$ ,  $G_2 = 2$ ,  $G_3 = 3$  e  $G_4 = 4$ , e quantidades de dígitos destes.

<b>Intervalo</b>	<b>Qtde</b>	<b>Intervalo</b>	<b>Qtde</b>	<b>Intervalo</b>	<b>Qtde</b>
1 a 1000	<b>9</b>	7001 a 8000	<b>0</b>	14001 a 15000	<b>0</b>
1001 a 2000	<b>1</b>	8001 a 9000	<b>0</b>	15001 a 16000	<b>0</b>
2001 a 3000	<b>1</b>	9001 a 10000	<b>0</b>	16001 a 17000	<b>0</b>
3001 a 4000	<b>0</b>	10001 a 11000	<b>0</b>	17001 a 18000	<b>0</b>
4001 a 5000	<b>0</b>	11001 a 12000	<b>0</b>		
5001 a 6000	<b>0</b>	12001 a 13000	<b>0</b>		
6001 a 7000	<b>0</b>	13001 a 14000	<b>0</b>		

Tabela 6.19 – Quantidade de primos da seqüência com  $k = 4$ ,  $G_1 = 1$ ,  $G_2 = 2$ ,  $G_3 = 3$  e  $G_4 = 4$  x Intervalo desta seqüência

## 7. CONSIDERAÇÕES FINAIS

Como dito anteriormente, existem ainda muitas questões em aberto sobre o fascinante tema dos números primos, assim como sobre os interessantes e simples números de Fibonacci e de Lucas. No presente trabalho, tivemos uma visão bastante ampla sobre estes assuntos e sobre testes de primalidade. Realizamos alguns experimentos computacionais visando obter algumas evidências acerca da infinitude dos números primos de Fibonacci, não ambicionando provar ou derrubar esta famosa conjectura, mas apenas com o propósito de trazer mais luz sobre a questão.

O presente trabalho, através de algumas generalizações, nos permitiu enunciar mais algumas afirmações. Generalizamos a famosa conjectura de Fibonacci, conjecturando:

**Conjectura 1:** *Toda seqüência gerada recursivamente a partir de dois ou mais valores iniciais inteiros positivos, no estilo da seqüência de Fibonacci, possui infinitos primos, se o mdc dos valores especiais iniciais envolvidos for igual a 1.*

Por exemplo, a seqüência recursiva  $G_n = G_{n-1} + G_{n-2}$  para os valores de 11 e 4 possui infinitos primos, uma vez que o mdc entre 4 e 11 é igual a 1. Mas, para os valores especiais 4 e 8 não, uma vez que o mdc entre 4 e 8 é igual a 4.

Seja também a generalização com  $k=3$ ,  $G_1=1$ ,  $G_2=3$  e  $G_3=4$ . Note que, o  $mdc(1,3,4)=1$ . Vamos a partir destes valores iniciais, construir uma seqüência usando a fórmula recorrente  $G_x = G_{x-1} + G_{x-2} + G_{x-3}$ . Os primeiros números dessa seqüência são mostrados na tabela abaixo.

$x$	1	2	3	4	5	6	7	8	9
$G_x$	1	3	4	8	15	27	50	92	169

Tabela 7.1 – Primeiros números da generalização para  $k=3$ ,  $G_1=1$ ,  $G_2=3$  e  $G_3=4$ .

Note que, se tomarmos os números consecutivos desta seqüência três a três, e calcularmos o mdc destes números sempre será igual a 1.

$$\text{mdc}(1,3,4) = \dots = \text{mdc}(8,15,27) = \dots = (27,50,92) = \text{mdc}(50,92,169) = 1$$

Uma outra conjectura que propomos é:

**Conjectura 2:** *Para qualquer valor de  $n \in \mathbb{N}$ , a quantidade de números primos encontrados na seqüência de Lucas até  $L_n$  é sempre maior ou igual à quantidade de primos encontrados na seqüência de Fibonacci até  $F_n$ .*

Na *tabela 7.2* representamos as posições dos números primos encontrados dentro das seqüências de Fibonacci e de Lucas. Na primeira linha da tabela temos [1] na coluna de Lucas e [3] na coluna de Fibonacci. Isto indica que o primeiro número de Lucas e o terceiro número de Fibonacci são primos. De fato, o primeiro número de Lucas é o 2 e o terceiro número de Fibonacci também é o 2.

Se observarmos as tabelas dos índices de Fibonacci e de Lucas postas lado a lado, veremos que as duas seqüências possuem o mesmo número de primos apenas quando o valor de  $n$  é igual a 4, 5 ou 7. A partir daí, sempre existirão mais primos na seqüência de Lucas que na seqüência de Fibonacci quando limitadas superiormente para um valor de  $n$ . Em nossos testes computacionais, dos 27000 números da seqüência de Fibonacci testados para primalidade 28 são provavelmente primos. Dos 27000 da seqüência de Lucas encontramos 38 primos prováveis.

<i>Índices da Seqüência de Fibonacci</i>	<i>Índices da Seqüência de Lucas</i>
[3]	[1]
[4]	[3]
[5]	[5]

[7]	[6]
[11]	[8]
[13]	[9]
[17]	[12]
[23]	[14]
[29]	[17]
[43]	[18]
[47]	[20]
[83]	[32]
[131]	[38]
[137]	[42]
[359]	[48]
[431]	[54]
[433]	[62]
[449]	[72]
[509]	[80]
[569]	[114]
[571]	[314]
[2971]	[354]
[4723]	[504]
[5387]	[614]
[9311]	[618]
[9377]	[864]
[14431]	[1098]
[25561]	[1362]
	[4788]
	[4794]
	[5852]
	[7842]
	[8468]
	[10692]
	[12252]
	[13964]

	[14450]
	[19470]

Tabela 7.2 – Tabela dos índices dos primeiros primos das seqüências de Lucas e Fibonacci

Os números primos se tornam mais “raros” quando os números na seqüência dos números naturais crescem, como comentado após citação do *Teorema 3*. Isto pode explicar porque fica mais raro encontrar números primos à medida que seqüências, como a de Fibonacci e a de Lucas, avançam. A distância entre dois números consecutivos numa seqüência de Fibonacci, por exemplo, se torna cada vez maior.

Isso também explica o fato de termos encontrados bem menos números primos nas seqüências para  $k=3$  e  $k=4$  que nas seqüências de Fibonacci e de Lucas ( $k=2$ ), apesar de termos também calculado uma quantidade menor destes números. As seqüências recursivas dependentes de 3 ou de 4 valores anteriores crescem bem mais rápido do que uma recursão sobre apenas 2 valores.

Por último, baseado em outro teorema que diz que, “se  $F_x$  é primo, então  $x$  é primo, excetuando-se  $x=4$ ”, podemos conjecturar que:

**Conjectura 3:** Sejam  $x, i \in \mathbb{N}$ , e uma seqüência de números definidas por  $F_x^0 = x$  e  $F_x^{i+1} = F_{F_x^i}$ . Não existe um  $x$  tal que para todo  $i$ ,  $F_x^i$  é primo e  $F_x^{i+1} \neq F_x^i$ .

Note que para  $F_5^0 = 5$ , todo valor de  $F_x^i$  será sempre 5. Por isso, a condição  $F_x^{i+1} \neq F_x^i$  na conjectura acima.

O que pretendemos fazer como trabalho futuro é:

- Continuar testando mais e mais seqüências com números cada vez maiores;
- Montar uma rede baseada em várias máquinas para aumentar o poder computacional dos nossos testes.
- Relacionar os índices e as quantidades de dígitos dos números primos de uma determinada seqüência graficamente, verificando se é possível reconhecer algum padrão ou estimar quando o próximo número primo aparecerá.



## REFERÊNCIAS:

- [1] SHOUP, Victor; ***A Computational Introduction to Number Theory and Algebra***. Cambridge University Press, 2005.
- [2] GRAHAM, Ronald L., KNUTH, Donald E., PATASHNIK, Oren. ***Concrete Mathematics: a foundation for computer science***. Addison-Wesley, 1989.
- [3] LOVÁSZ, László; PELIKÁN, József; VESZTERGOMBI, Katalin. ***Discrete Mathematics: Elementary and Beyond***. Springer-Verlag, 2003.
- [4] AGRAWAL, Manindra; KAYAL, Neeraj; SAXENA, Nitin. ***Prime is in P***. Annals of Mathematics, 160 (2004) 781-793. 24 de Janeiro de 2003.
- [5] AGRAWAL, Manindra; BISWAS, Somenath. ***Primality and Identity Testing via Chinese Remaindering***. 21 de Fevereiro de 2003.
- [6] ***The Lucas Numbers***. Disponível em:  
<http://www.mcs.surrey.ac.uk/Personal/R.Knott/Fibonacci/lucasNbs.html>.  
Acesso em 31 de Maio de 2008.
- [7] ***AKS primality test – Wikipedia, The free encyclopedia***. Disponível em:  
[http://en.wikipedia.org/wiki/AKS\\_primality\\_test](http://en.wikipedia.org/wiki/AKS_primality_test). Acesso em: 31 de maio de 2008.
- [8] ***The Largest Known Prime by Year: A Brief Story***. Disponível em:  
[http://primes.utm.edu/notes/by\\_year.html](http://primes.utm.edu/notes/by_year.html). Acesso em 30 de Maio de 2008.
- [9] ***Cramér's Conjecture – Wikipedia, The free encyclopedia***. Disponível em:  
[http://en.wikipedia.org/wiki/Cram%C3%A9r's\\_conjecture](http://en.wikipedia.org/wiki/Cram%C3%A9r's_conjecture). Acesso em 31 de Maio de 2008.

[10] ***Elliptic curve primality proving - Wikipedia, The free encyclopedia.***

Disponível em: [http://en.wikipedia.org/wiki/Elliptic\\_curve\\_primality\\_proving](http://en.wikipedia.org/wiki/Elliptic_curve_primality_proving).

Acesso em 31 de Maio de 2008.

[11] ***Euclid Number – Wikipedia, the free encyclopedia.*** Disponível em:

[http://en.wikipedia.org/wiki/Euclid\\_number](http://en.wikipedia.org/wiki/Euclid_number). Acesso em: 22 de maio de 2008.

[12] ***Parity (mathematics) - Wikipedia the free encyclopedia.*** Disponível em:

[http://en.wikipedia.org/wiki/Even\\_and\\_odd\\_numbers](http://en.wikipedia.org/wiki/Even_and_odd_numbers). Acesso em 31 de Maio de

2008.

[13] ***Fermat primality test - Wikipedia, the free encyclopedia.*** Disponível em:

[http://en.wikipedia.org/wiki/Fermat\\_primality\\_test](http://en.wikipedia.org/wiki/Fermat_primality_test). Acesso em 31 de Maio de

2008.

[14] ***Fermat number – Wikipedia, the free encyclopedia.*** Disponível em:

[http://en.wikipedia.org/wiki/Fermat\\_number](http://en.wikipedia.org/wiki/Fermat_number). Acesso em: 31 de Maio de 2008.

[15] ***Fibonacci prime – Wikipedia, the free encyclopedia.*** Disponível em:

[http://en.wikipedia.org/wiki/Fibonacci\\_prime](http://en.wikipedia.org/wiki/Fibonacci_prime). Acesso em: 31 de Maio de 2008.

[16] ***Goldbach's conjecture – Wikipedia, the free encyclopedia.*** Disponível

em: [http://en.wikipedia.org/wiki/Goldbach's\\_conjecture](http://en.wikipedia.org/wiki/Goldbach's_conjecture). Acesso em: 31 de Maio

de 2008.

[17] ***Goldbach's weak conjecture – Wikipedia, the free encyclopedia.***

Disponível em: [http://en.wikipedia.org/wiki/Goldbach's\\_weak\\_conjecture](http://en.wikipedia.org/wiki/Goldbach's_weak_conjecture).

Acesso em 31 de Maio de 2008.

[18] ***Lucas-Lehmer Test – Wikipedia, the free encyclopedia.*** Disponível em:

[http://en.wikipedia.org/wiki/Lucas%E2%80%93Lehmer\\_test](http://en.wikipedia.org/wiki/Lucas%E2%80%93Lehmer_test). Acesso em 31 de

Maio de 2008.

[19] **Mersenne\_prime** – *Wikipedia, the free encyclopedia*. Disponível em: [http://en.wikipedia.org/wiki/Mersenne\\_prime](http://en.wikipedia.org/wiki/Mersenne_prime). Acesso em 31 de Maio de 2008.

[20] **Miller-Rabin primality test** – *Wikipedia, the free encyclopedia*. Disponível em: [http://en.wikipedia.org/wiki/Miller-Rabin\\_primality\\_test](http://en.wikipedia.org/wiki/Miller-Rabin_primality_test). Acesso em 30 de Maio de 2008.

[21] **Número primo** – *Wikipédia, a enciclopedia livre*. Disponível em: [http://pt.wikipedia.org/wiki/N%C3%BAmero\\_primo](http://pt.wikipedia.org/wiki/N%C3%BAmero_primo). Acesso em: 31 de Maio de 2008.

[22] **“Why is the number one not prime?”**. Disponível em: <http://primes.utm.edu/notes/faq/one.html>. Acesso em 31 de Maio de 2008.

[23] **Perfect number**. Disponível em: <http://primes.utm.edu/glossary/page.php?sort=perfectnumber>. Acesso em 31 de Maio de 2008.

[24] **Polignac’s conjecture** - *Wikipedia, the free encyclopedia*. Disponível em: [http://en.wikipedia.org/wiki/Polignac's\\_conjecture](http://en.wikipedia.org/wiki/Polignac's_conjecture). Acesso em: 31 de Maio de 2008.

[25] **Prime Number Theorem**. Disponível em: <http://mathworld.wolfram.com/PrimeNumberTheorem.html>. Acesso em: 31 de Maio de 2008.

[26] **Prime Number** - *Wikipedia, the free encyclopedia*. Disponível em: [http://en.wikipedia.org/wiki/Prime\\_number](http://en.wikipedia.org/wiki/Prime_number). Acesso em: 31 de Maio de 2008.

[27] **Números Primos**. Disponível em: <http://www.somatematica.com.br/fundam/primos.php>. Acesso em: 31 de Maio de 2008.

[28] ***Solovay-Strassen Primality Test – Wikipedia, the free encyclopedia.***

Disponível em: [http://en.wikipedia.org/wiki/Solovay-Strassen\\_primality\\_test](http://en.wikipedia.org/wiki/Solovay-Strassen_primality_test).

Acesso em: 31 de Maio de 2008.

[29] ***Twin Prime Conjecture – Wikipedia, the free encyclopedia.*** Disponível

em: [http://en.wikipedia.org/wiki/Twin\\_prime\\_conjecture](http://en.wikipedia.org/wiki/Twin_prime_conjecture). Acesso em: 31 de Maio

de 2008.

[30] ***List of prime numbers - Wikipedia, the free encyclopedia.*** Disponível

em: [http://en.wikipedia.org/wiki/List\\_of\\_prime\\_numbers](http://en.wikipedia.org/wiki/List_of_prime_numbers). Acesso em: 31 de Maio

de 2008.

[31] ***Palindromic Prime – Wikipedia, the free encyclopedia.*** Disponível em:

[http://en.wikipedia.org/wiki/Palindromic\\_prime](http://en.wikipedia.org/wiki/Palindromic_prime). Acesso em 31 de Maio de 2008.

[32] ***Smarandache-Wellin number – Wikipedia, the free encyclopedia.***

Disponível em: [http://en.wikipedia.org/wiki/Smarandache-Wellin\\_prime](http://en.wikipedia.org/wiki/Smarandache-Wellin_prime). Acesso

em: 31 de Maio de 2008.

[33] ***Sophie Germain\_prime – Wikipedia, the free encyclopedia.*** Disponível

em: [http://en.wikipedia.org/wiki/Sophie\\_Germain\\_prime](http://en.wikipedia.org/wiki/Sophie_Germain_prime). Acesso em: 31 de

Maio de 2008.

[34] ***Truncable Prime – Wikipedia, the free encyclopedia.*** Disponível em:

[http://en.wikipedia.org/wiki/Truncatable\\_prime](http://en.wikipedia.org/wiki/Truncatable_prime). Acesso em: 22 de maio de

2008.

[35] ***Wall-Sun-Sun prime – Wikipedia, the free encyclopedia.*** Disponível em:

[http://en.wikipedia.org/wiki/Wall-Sun-Sun\\_prime](http://en.wikipedia.org/wiki/Wall-Sun-Sun_prime). Acesso em: 31 de Maio de

2008.

[36] ***Wieferich pair – Wikipedia, the free encyclopedia.*** Disponível em:

[http://en.wikipedia.org/wiki/Wieferich\\_pair](http://en.wikipedia.org/wiki/Wieferich_pair). Acesso em: 31 de Maio de 2008.

[37] **Wieferich prime** – *Wikipedia, the free encyclopedia*. Disponível em: [http://en.wikipedia.org/wiki/Wieferich\\_prime](http://en.wikipedia.org/wiki/Wieferich_prime). Acesso em: 31 de Maio de 2008.

[38] **Wilson prime** – *Wikipedia, the free encyclopedia*. Disponível em: [http://en.wikipedia.org/wiki/Wilson\\_prime](http://en.wikipedia.org/wiki/Wilson_prime). Acesso em: 31 de Maio de 2008.

[39] DIRICHLET, Peter Gustav Lejeune. **Lectures on number theory**. Tradução por: John Stillwell. American Mathematical Society, 276p. (History of mathematics; v. 16 ; Suplementos por R. Dedekin).

[40] TALBOT, John. **Complexity and Cryptography: An Introduction**. Cambridge, UK: Cambridge University Press, 2006.

[41] RIBENBOIM, Paulo. **Números Primos: Mistérios e Recordes**. Rio de Janeiro: Associação Instituto Nacional de Matemática Pura e Aplicada, 2001. 292p.

[42] G. L. Miller, **Riemann's hypothesis and tests for primality**, J. Comput. Sys. Sci. 13 (1976), 300–317.

[43] M. O. Rabin, **Probabilistic algorithm for testing primality**, J. Number Theory 12 (1980), 128–138.

[44] **Sieve of Erathostenes** – *Wikipedia, the free encyclopedia*. Disponível em: [http://en.wikipedia.org/wiki/Sieve\\_of\\_Eratosthenes](http://en.wikipedia.org/wiki/Sieve_of_Eratosthenes). Acesso em: 31 de Maio de 2008.

[45] SHOKRANIAN, Salahoddin. **Criptografia para Iniciantes**. Brasília: Editora Universidade de Brasília, 2005. 94p.

[46] **Fibonacci Prime**. Disponível em: <http://mathworld.wolfram.com/FibonacciPrime.html>. Acesso em: 31 de Maio de 2008.

# Anexos

## A. Números Primos de Fibonacci

Estes são os números primos encontrados nos 27000 primeiros números de Fibonacci. A leitura deve ser feita da seguinte maneira:

*Número primo de Fibonacci [índice do número dentro da seqüência de Fibonacci]*

Note que: 0 [0], 1 [1], 1 [2] e assim por diante.

2 [3]

3 [4]

5 [5]

13 [7]

89 [11]

233 [13]

1597 [17]

28657 [23]

514229 [29]

433494437 [43]

2971215073 [47]

99194853094755497 [83]

1066340417491710595814572169 [131]

19134702400093278081449423917 [137]

475420437734698220747368027166749382927701417016557193662268716  
376935476241 [359]

529892711006095621792039556787784670197112759029534506620905162  
834769955134424689676262369 [431]

138727712780478382711418610318624639225845035817178369007991803  
2136025225954602593712568353 [433]

306171999248454503055431384808371720811128543235373849713167479  
9321571238149015933442805665949 [449]

105979992653014907325996436715050034125158604354094219325600096  
80142974347195483140293254396195769876129909 [509]  
366844743160809780614736136462756304511005869011952298152702428  
68417768061193560857904335017879540515228143777781065869 [569]

960412006189225538239428833609248650261049174118770678168222647  
89029014378308478864192589084185254331637646183008074629 [571]



357103560641909860720907774139063454445569926582843306794041997  
476301071102767570483343563518510007800304195444080518562630900  
027386498933944619210192856768352683468831754423234217978525765  
921040747291316681576556861490773135214861782877716560879686368  
266117365351884926393775431925116896322341130075880287169244980  
698837941931247516010101631704349963583400361910809925847721300  
802741705519412306522941202429437928826033885416656967971559902  
743150263252229456298992263008126719589203430407385228230361628  
494860172129702271172926469500802342608722006420745586297267929  
052509059154340968348509580552307148642001438470316229 [2971]

500195636126957292905024512596972806695803345136243348970565288  
179435361313804956505581782637634612477979679893275103396147348  
650762007594937510804541145002304302867341006298493404319657382  
123201158007188252606550806694535329232256851056656372379649097  
735304781630173812454531781511107460619516018844320335033801984  
806819067802561370394036732654089838823551603083295670024453477  
589093119918386566397677610274213837391954591147603054442650326  
827980781140275941425217172428448698161710841740688042587204161  
256084914166762549007012713922172748259690566614580062682196606  
466498102571627683726718483229578044343646737694436406261444368  
327649097401550241341102704783841619376027737767077127010039900  
586625841991295111482539736725172169379740443890332234341104310  
470907449898415522414805210341138063350999730749950920147250683  
227798780264811215647706542511681027825390882770762662185410080  
310045261286851842669934849330548237271838345164232560544964315  
090365421726004108704302854387700053591957 [4723]

293044128693925805540079800220036570207038335683549829605292937  
509960331461275018999947483996404140182400006001813859013500110  
258729981501615032647081310079135836614150659020765210818796182  
222614184488822724672085269356529252077273623325813788313163388  
477269159592673332234416595710522193927457577431894146486086084  
823325839767553634368566242079706911860896121287858065817897191  
634499859738306063584009556946916879843368268869001151445969933  
951122621124916635112090382558670698014111424739118911245216930  
115278567320888598470094438208517749906270843569766935967905098  
452270445796823819803950135759416222389768319080561861883823350  
328942928224613584258543066887565356098146479921878209577352350  
517697817333056911258348684866066206890874984415863827167567090  
822635497595663618146255397759122755353513494678177653590387966  
916873954171812541316311548943812717314567136914735318444818294  
397758487543144909515271702315100974099317046184009854232854005  
549921318847202519400159531009740303615856659906240700369816430  
227657880084478971551990997745032541695532639243008712273887098  
8283653737701175138504893394815816782040327194725855833 [5387]

342320860665902386137316909139517101076912159306672404651880547  
895042563731068215211720661661977667092526815503098493766317096  
281400694352575327405240174524493417020243686006978967258395412  
111934155549229863016555007276050581242922967380398535774356396  
949415782561336524191299901373842579398168526682314697150906370  
283294210309314380923460362523480763562974196007255953811694588  
464230570377913452040365067396890493104829603023968154662444259  
649729937752008192813915303882171616263916318398495317051810201  
309089947274541748505723211501060328559671502091158627750732848  
754326779102546271128103709603938937408612366033815669262097222  
499819545161512685075007490080817183051446158685945209171465553  
339786519153708854419864186436658176736401425196824006768249789  
818351432143737823771907883460951318068772990530050500851581196  
217368206006041117099427727642647409724914288302341380057734764  
899472784802018482077304075731257259016381474839492324957237791  
870969632216350513832413330086172404535501036239006155784321315  
228437586375725938520655452923584148472105314300132859656556106  
959535404252836836616572264849494299389675199695498014848625834  
475139784842344604089896845016079654238613494314775885581812178  
528267599563477408963613817578346398364178986335233143306079341  
079472348257393547025158913336903267812430093721831501004481894  
814935707975423134643455037532234294602762506666231055036483288  
698287833779652737349786102674087156791632881729006116983370503  
616645884340259571236808775921723252563373680567169962777721783  
969585070158102977973294619274118943782926667102389639851765550  
321268781774657799464802301021995335204310141982081057626350364  
056428066440792247104903337220270676249035027575131108827886247  
438440302814998841221076462165362753452880422786273308945722374  
649966546481735170575132481975956046921313923645298138240989448  
872994217145457850124520142204361402119173237385364616297469034  
90068434702342629076013355207397345037580645424669476289 [9311]

105659778733088616560728337633577294791200403611256457987437535  
275959443924575011502566175163577185849860406353824991915052191  
014340897458282903824132176589968697437206589254353815861733407  
326847272527536408390583360918607091266151226911610075877543145  
183730540677482961593044581760732615068565879531586711169326482  
373200483965666457523711128817909923244046629843158210452708553  
287703154960396488410169195658516335585159114232798074462433018  
787906485530479875577168679705154700794777188237295266789342714  
369022438106778029148829152584410732303423196745346960738979826  
513948051491557075401036263453606330905092506968405840288315879  
374738455742324275229285913702992700263495859130083168628627014  
829573814164226518515947409237407172783522787909333772121897096  
004511446717952125658282085764447893961587269325976762505165678  
443632053621488809924697093520247784079402000180482493409432294  
264731324501546414623541038169095678850326456140561817414316855  
879448559059362190507484344546986152566196524585630781634530055  
632958969597562844061616974634095986796453898736215785424470804  
384222140222196327771630105254824780589950271782005203307225531  
307165758688424082168110097694099873667232211354736647812607886  
111951361904437069608336082860180992488471757551982113395649211  
447140302869854713646570582878921947731123779332567390624177400  
854120635171378074220128526586953345282400052467344042288932780  
032836233554751951150166619761910806328590241879930675318727225  
635622143110385488010559640302009550849558134831910730291606104  
796285048322040824153672445357264513643468751027870799928152617  
137552562595568776239891076011347108694769329084944328439613846  
369487730397277862891300268053145113543905823093850830764428262  
822244020690372531889723615772016403086544579015114915122699543  
961717701923460588424419826713645328118842454064949757364441477  
052680865532896708837038057967791144876558987357331177237668996  
843221723562573135103082465226301686021014418795670447062934815  
747557778065513384231269087882519334223599104933599516979250455  
0670357 [9677]

355755354394658122504047916411678803385121268020950455810699410  
093668852897009736419492176867838571959531829430752364867162224  
290691742464668881189225102459318389779724564650520764659538723  
699687615382704047258902392678373678655039428429356342103455964  
000595730717895549415078058082127024148545159056582149361082721  
247526474771309474122542153965024773433896167434182942841234045  
961495551991056193648439285562353325023861589328116846698001200  
312326614482746772898625048079471908257930188296714425249540518  
744197254949527056570982226264825507470498344431519926744777806  
877367981029477047178496964607107753499773948217847206380999010  
096082890811358803975490788882817034016584568586892493297770217  
282295674172004984187641140962500702153821586477568344659745781  
583417028280690695077331698350150339901627567838737950571913746  
716347194856739656675971864640791147455497962886012940234877152  
905062822734901240929269768039230590938501624536112761621469452  
871217192640829896733387128592596746869027799369998652128269083  
427365110348940470005929278253352730925293749809452161035114949  
404334080854911307586477152024963341275428267889516917119559242  
784727479019084271816678286913371614461650173401079709169243210  
586197550704857743990470495274084561449590748981673104000488346  
525028007275608836718722851012874620752244661440491315773399821  
693148116799039108013891340699412077370863641840123353597245187  
446262139361284135638384684158533220942729180189658083360910737  
676514636902052391983610337253244795617789142521166521345058686  
644816950659323534465940302731445407252087886001131955454000224  
392970072675258059021526716231974954024233747922230123179140164  
537416174436148240856032258663514277015613045099437862745651072  
740095277299253603560470046235616775615114704220854478478880356  
557434538178143218595981225110584254915298849281377444890025218  
754982108627155871974400608123980051103836193368566102808613825  
787217404986988561269598644211134552215158028003698698144318044  
420004286333973997584700748793480755428411468298369780771812360  
401847940302934007697942129744415143523259252539702475416961285  
261006640097205001897010132353460280933722182986094223911146590

862400127045319053826477038346940387003701797445646046577152510  
419114004418452472792857920169695455340447649827104592984240526  
985677942198951201635797362103051947392645459005091859259388653  
622799527913211627703653867676067588306639195305539808190688207  
964037007849985340599327652056978218376320768935464661531895900  
601323120549398185479763413124987492835048346907767078509397248  
688131757087682074902311796851944493001252086010546519509633633  
053780872088358107688148179301784166831694622327402119197189145  
347985083735644644359185988625646498798970241905350660480576777  
636088238544638214641162971828341528986431501141453179194948188  
627370403367391258025612163749368219410614434493620283139356942  
344248380725963373977978897502474135353720309869823747560036876  
896386745139506787482833287665956159074702660583007022500727208  
4294577672605926277434975800794416411563151029848075869 [14431]

383342903142356814029144229035652666366009437898064480772023959  
809287638219422695089120789576600239276727005607235266490563016  
026822070361414288887390685728883483802491728770900801136043845  
166406382481360161227301510440005020781555132402603146366931362  
364103582564667309005977207681137538021057321887928895466084536  
986216498291491301212246764908742232266186169626327237017596522  
866580242068119925728692594847711033153329271895629218291058292  
144292580176593692985454116778775813444956134186331839838472028  
079178495599785810090322757117988561228492966545113373263109417  
070739473934159809635805185435747904138052665797175846659768262  
679622761084535812914017447767852546354419234799116797772170152  
613987647939162793835720842772862746912723678872642475936301262  
911193562323029170174728092631531399977378376009997833745614728  
016567185888065784370138881075004931824499300963568048143960545  
660757144052397294589208278283251968518143199952613172802784930  
356603494794313724215065529112347221350679180037682697176865435  
464380897656831499881945102991820082254427829838919531211007607  
059650273549510082081679160152937795783406306723256036953883755  
943081090779363694720344724090330872775832442011528448296407322  
859974964389875017782863420666643572755246097580928596365624668  
868868420005270602909300747722134594117645643184860408487787692  
503002260089572714061490497674929852535817862772147472170683677  
683709643215232853726247940938606430195053981381604948687525673  
232683143630334030608046704309599642097124772604653626521075405  
821875860859793790578642418101755188765465163654197545711598815  
925220608926318965954862752809131553714063862318576732630471936  
475066710907552065479758511409516500653226381866016931391661428  
100886745620800554320748750007816414608952275338653903097106178  
516176076194169040347071908329340090701747947314367853001124096  
031234096939801385463703965719382370230755351976358182316343504  
786117290512892177669627014130957927888838554108799091519607344  
799046311133776869998596812150474819150699607003688840537297534  
976337919340637840082219678732990453628397949294896182028942872  
295562330377372050232194798396392442174783342437386427504254356

033690455773824178089463865136321291563244921482204967995745029  
710718519390246985175382799867605478436935692887186161531300096  
013456308824254098054832697771321449200449402789077323030349758  
428362204727834872178582049491787954430439776837862044288315072  
428023816126337620275542573290636485661231683428479573460116555  
968486022600594502996627931256162162284386808609181544643649545  
992511218253834082260172348824989654952217227622609202695365025  
874569738735127218587984650413076001157404901006941056615683578  
983929428089873589079880969859118955976084484377793789075975848  
829504181494869121271567163264253782591404753379124954516923640  
452488271189660036581749522743552182310306040603563377048844985  
806430160254210113704766747135192319866386635694741989951153738  
746460480986289208928519761140496638637285026334623794863780258  
351442711913904987014462580483105239930313068826260660743932364  
459099166553296466726088457283133127790894008593617619256156992  
482943045290085288716692181115494351740557271146238369366290487  
964573992491210468811534527654473244805538752857876571089293393  
166419085894518875422366553972495734144400164136366221109829868  
734421253293170264512614524557035815463248033605254006174372943  
451309061928999423991909351758193467567476443363104682574783686  
854679448963430307089875857291539647930150034100648385359952727  
261932354340830053174120686742228499724674515233362904678521973  
342863896546561396879159716148457586793965791656147509291414523  
015475597657840254205574472425923934383371537302913090703362040  
130212529488350141472896999321791873237417224511986346652681679  
019437427892832464186653754062813161549616903738876150214082834  
486324984172691220112286737196234937700458932134837432501748272  
384025785678171761969101978311092452040165938315299762217534298  
062048178256884198698572545996633207689497682494779181477325093  
617795461719949008166852488573643045134605609447028426049681236  
650933346746873491317202682535561360514959731448006841753790157  
149776485836216971644376049096425573907744858908357764335138176  
149578300080134255635127326641410860726836996012282819254306541  
966419769631617726380834456674601783180354823903148629425601554



914362924313905433129936624134999755817018117668758521430924971  
113150845361072719642438026295246031917298844627047040031568211  
892161243909358734026060754765600922927282334668637977191420300  
022979326671608178356106946000356178892183013706231532983189953  
434271123040769334095432321565233558911347863541021880296970833  
460164983333111339821208167308807103707349036156883373399997720  
547991264793775836982189427922181282179552002904531651805217863  
809321034452426235400296113702265836012891505095007321790696615  
488064282178957973177925867824299494023620768004318045844169012  
521763056049906137908561400821184255617254411243702408290168261  
866585810119374958227741400621332584952776609833599398833010199  
600235701625435416819173964464106473860341312537267577110992947  
861336970587171306982868953051469585602731627717556474706298250  
772387470109057668686118727331564470055314499533353747852291444  
374537880194118935131207477858493497992103858973330645875737111  
666427218272790674791512304789117887616573967711261102735685873  
15707923886400318953500462678037947280396845314961 [25561]

## B. Números Primos de Lucas

Estes são os números primos encontrados nos 27000 primeiros números de Lucas. A leitura deve ser feita da seguinte maneira:

*Número primo de Lucas [índice do número dentro da seqüência de Lucas]*

Note que: -1 [0], 2 [1], 1 [2] e assim por diante.

2 [1]

3 [3]

7 [5]

11 [6]

29 [8]

47 [9]

199 [12]

521 [14]

2207 [17]

3571 [18]

9349 [20]

3010349 [32]

54018521 [38]

370248451 [42]

6643838879 [48]

119218851371 [54]

5600748293801 [62]

688846502588399 [72]

32361122672259149 [80]

412670427844921037470771 [114]

258899611203303418721656157249445530046830073044201152332257717  
521 [314]

592429953134577297805108237673547307982868489214813748742645347  
05573628371 [354]

132063573833283896390922392875551014003425606941812468414688235  
4518875225823337405694736924839855437876879 [504]

128654053254067001789796154414677061029563911266334766544884715  
737078582075546200311143377241563666249432665857145030497939634  
521 [614]

881807999374692263162623552650883434092674833548025120916866832  
559941434599328014086341873039457819883733564035369994616840509  
571 [618]

227160876495918562748535035942584201965901433059749617427535706  
949917136103176482875403653972639455945062095866005032008819923  
6184776437699830957031191632116265394965429613743580479 [864]

181736162867458550592504529201384720191765807848796228847820445  
191196394777553383326668839266981171845884105263517742428754036  
342193505562252016507092562207310556207052344637533801516447515  
06849035482595585816411305899431781010371 [1098]

270506920428756191684035999089018851615401938805594773074967969  
704488936824411049864682656559629896230378301980421131408918187  
821267996215783467398038224543737468042037956373590209412458390  
442392466121653400338041966228025093960740131674681265070412932  
486600263932615753750907033544051 [1362]

265359033461213450875935869029096311563903541788635303068321846  
452971733213228866733788290493054514422476705953191475761492640  
656242684553691723143983286299957138688911379124044302269814532  
874087796357898759334998100926354955689802612947945693670681234  
684407113100953489018170729262613831112096976710842914191199251  
767442626826456221332875207651038553230895865017275241809487044  
198148753092817370549692339361182748520312089575806924461019005  
449699704047828398360104243222439820202455085971520450413406787  
104822476441970092281570892583333819760883705015452397493379951  
108717671768345698455313085738845676589082499772175086217989066  
302103245862149276399903168258120816130284640358618680495729960  
036218886574274669244101604434103059767049002376732941777839473  
838600057793015200035246405470877127445422588830157907363113752  
368080617171436719209995499338125647005675534967428828530160295  
037362341520962326361746861010385282326439475101183761682657739  
06466879080511878966753150739244744191300378424832271479 [4788]

476167465020257937723684051845520065883484829611686951314461394  
207193173647187880579773764991680476845543114606634842179582197  
781869319983644070065822631532656669147444607435559960525302863  
107581443399880194099983138405826922531355758250057576938366689  
294505815348081364923382599057673411300879267890611753070181098  
930223950258722795034517999545490501806585583251108824227884860  
549221001978452770597904284094592798843666168585703483697057344  
640367566776091445610161503753644010658016216653677549295550679  
880636648338064064286239952347035921119534138885790524489076166  
260609566316267679097645322085197127998474143201261531524579275  
051666780749938216213477571895641652246462403450283923629462651  
518510231437802052380018618157655502695429395034246342560601327  
334067869850588568188637157328991833074105614937113484615137433  
318036750251733999642784399115054162083024337510363278643877846  
079042983454917817086608887399683218420880209220652016580488150  
410371748746174996309862502384756689326146051008326991971 [4794]

611903732929084552244624588774171103959217156084453197287383713  
634270828610879689051351307684831146911692705530579405810502039  
136717521231561554630792662175211640030143693769345223800042638  
520462377846813800493882579153823155956634860712302701545066427  
363428404087337310106582791859860962456940474106933417893888611  
075301829666831913291133850983821865626400522652036876334265528  
395031560352251856583000160676838737484562863907141516893345850  
376157755651551099278068558062427477296895246566105597597705584  
530091457592683084817130566371256629367821648865360267445217184  
506335130509643061325157775658087723608428540998965232397813023  
734069203270782369488937157092475103788976043977939267078245491  
308255694854298794571857438581216816285325477317641301242673778  
901021899630906465281179689082658385091618848502477979703496353  
641612508006440689454504744533167649075372889895742647920491426  
248533085246957964091759481905456549438466234331450411232785992  
827659491012267037562230764386909308581538148950805787980890563  
658278341801965466092875799745283145175198044122213768172416818  
314899379251871008042686592525878819056566839398515718773246212  
061630001785281017455874434193319800028093161167354232937062157  
37867566168508570928125749 [5852]

593366707129070783657740856905888521221270181913818492430352425  
676619227448214365601833325119912266067872336475792877888412606  
834545498570957430689467454606815579542943988622469431728050775  
822468637035738790350797841085932645208638375762836670955479565  
160336470688263608545352899838481576412634952310501594596201810  
297866103864296954737785744944833004837404038552018626095157688  
727117394211456108846340389506489475750379224517317039105622089  
173941687336755868590059139682200719112406799248037720566611628  
207607396945841404448155720480653339198649685727759457181418971  
291513210982853145723719659141486547043573905081759164284102868  
366200439668820325346010713114606936120798321420626357276140688  
970974340787931479924124891536402134259541523094373635613732953  
814497823644720138254312241634893484943984547626003469390361888  
951215537112903694031485236195966199593481352575635088060699362  
485156376494193280354337189811984090978589387965933091109979557  
105494898976319920330701536455503521164362962818703124367750882  
737854329805418023456297867537092716880717130472071962120133785  
511914181771353244194572270592807656376511792699832187152222469  
727512879561863994701939980766085820854404998971356530840316847  
941611022157581681076100730790073757643493887037536996813798515  
993744032213406339825708120045991061361860109229754736811718329  
460791870146654702084840127835396727485732244929301549935973694  
221227139878884963938921868749171222924048311515411619043574400  
937048752103175966837257586646642228349646296500481696138425457  
663713804605110004843937705473317319549511497764125932298153750  
1797487414557807152070122619241499936748201 [7742]

315028609711932946265605412057891716313207128116743157643153623  
519184356694222203723895906782591726583440573157091146695687857  
372333945116672106061973044606381341021306245646674588836931325  
341166810973201499108365514522955204939427628262245252347455432  
254905157683966875044873050639770130916095900235421283247308736  
229528181283924785257829377880531907084187170894382479204378109  
041418189238684067963149224060407783286681053420743772739784767  
195360467666226419875472470463950363039859799433716876005988065  
572077389260548009077081727586621102967762002009382751715402448  
066240500380442073899183809476487545297800926169596636238701806  
10744031513409698655780525591032924285509259963038549592267472  
718166679249499938766657675033385917719892900345144551645274397  
364590523938617031808486638715750018132920203978838316549501900  
955731888430890815210810454842676351397051272537041063539513215  
063126697103794816891668232781625308704961594580778046312170112  
666801718408796124385042847418319910130265077753416119222498094  
406262618458653783618343874768864841524223424270057464552509931  
92104491074540120156578393265720901987539758958206635558503830  
308250595255092601703442333913504854012221770366002286040387915  
050796232058866821508441496394561509813030731886522488236891145  
922421168813455129205055418513300267204485797449258655518214116  
394027644910660352467748478351502969191417513380650245937817551  
267475368494583375497749917050817249165936371970890981373981054  
319783594466786457779148300287006566188709075041949745665780502  
770891815061878231447522553771328096974720476776740510784431387  
962098847481743977654757607060952951357163263846719459871995820  
878018289160115663980358986113906874117151860662738013988022057  
704939210983067448095928637460910473842563566942340766517757799  
799429 [8468]



193580636064185676201648851220584341335834143536542297690824448  
167129066974037820075406660099532302622923112222231648812299150  
726365526939834788158875761993306351613133249237921589086643115  
116698792739431454111510398527151392676808939929380825792701601  
178620641526698135536221404256420231999426233102312877761792115  
888356174464516466789737313604034480720450932166048964516779096  
691735835505278667630782880623544123228359263203125282671307438  
466287748444552929357362742873203188697782994110254177312144937  
027579496316488607138711743356919685145791692398778630500137266  
593290191586234571562875529594265649696892142744461193174000991  
315802077210596106951002584549381082826035432430745079094347250  
068384322807548344995550744738569271710864217265455940425772718  
930072852826900575832515839522776288958882578897937550225683953  
086610200745193902943637979675716625897683234616277612744570171  
511989688443190584509724276529019327305122652657570065672963115  
197299879678298742134660413901034202973756820934466132679403148  
608513947675860211946897031242890057903710587705786711561731430  
411179529331822604168942604615851958787433687438166884875635241  
636189146872448006080976130261738992204417264708176199642227968  
134922259294830905685761596817440774940982594492295437542611826  
586983138686058260893735231101360918620373339733350896016626258  
403912969803232829031637390756794649539573900119127859007050533  
618758386202754901723498873877646728100197474114043298495955772  
160261770672469246209836871679814445741501566891025781470483350  
047734336552292597859388233375421720212577270739668931254439629  
459790262030947707607563660884622002983142962631449985002231986  
608947553475430308359304950424029641068581704957107256759687996  
568094642387000729777739132604263697360364510429196964554529958  
566054605415787035978691797182606075670182506520458023189364849  
956624878380072442766649395383651875963760121082462293689860206  
711286824203036503166404854854246224307109844658417687148753486  
452968059475026144131129952860531287610138433096388482077405440  
297701603499094331787117331475914482662694475144495611660614937  
117395028530462028257412639297609950345088401509587724107651015

570768289604479065880358169754640010370229397058103256610794705  
505843143020403839718739475799 [10692]

203039578178117153951629255563166977140862588960103703043733699  
219703872681880832578965998521452795795748488480051149269491426  
311110537260669636154803134761126364840743167933272605781292220  
109607853515129714819249198293281203974227048193744737819017043  
856496225942295325876588966456840337887820672636342412500595470  
726290010039964436064388640212249897507503225182912842770671602  
442473702351773405615318951993894957416530624930835488437592456  
032321746437896669603169611848640348916087885775500293351007697  
632923940614199818320150566341181813314705358303195383143666431  
575876172899144383134944927314017904874773502263722543164181934  
322586072681191816544690358448554545118360546199377872941276822  
821316058284476939881583409991328156620024070903556851803383766  
198221860122661527788662696533971934311517963081986428442874255  
907799027047658031231046955438966730747000494870259326494081729  
309543737610727477543749063147304637534948372240543798269202305  
534164523152899325568288987901939526104049864428172186712554251  
780530749753536424997228920042894740859443925327842402887745401  
471777264740866886998491715708548497815256812694450288612957074  
556407850326300133405186741126936482842779263653571847178346958  
395269425930657421372591460767345846997399144766602633834728975  
857458862978365669394153530916603382269436777231398010832286871  
168842623563061166317770597460338230341627550076334403858620089  
232156078486249335431160206329890515763190567896598468948085146  
880713108203040240688659194198753990217609899970826145655303876  
968410222259661933660982825264599717074873889227454675791710236  
584124630248235494861510473959215997149455981939949026859700891  
206852185608926280581766980942511496428003215394968458624272710  
288878102875013237388968482609308924779109610784699418594731017  
922330538070507441257963228513550549982401603277565399277175951  
980806805203841490041062831846164760218242018354078888160812347  
799119293459952394856027822374577918573242204010108086789989932  
588036495051655198481367466676487609671123925040313947916138571  
370040478115546338705036776062326654273597715562538198120643540  
575962361590451878792225000866581361618289171687094730688480094

425257111839256111481270257599635467877926781641137376974755739  
857571316357795553452205656059382972241480204839266775289811801  
159050842661104711501309632870141052930710791546774798742952840  
112361374796188695930641274479077802920929736869599285905881644  
503039742830154917379815459076580715701522203805884981641789035  
660466140920624504126848468446158311513374355857841129040127057  
07885577084180119244853860419086951144999 [12252]

124285599198738119422908274415438018871486635630705395494044047  
053499156043792861500233879653636561145609940089840703428781602  
015037482053926308476711997708899051981856745820500750428003080  
967366370626083041235577558577575187706487951103195312400391650  
730961797304666191231114231443509167075132193760962145727762406  
901493623269214143453962952275660280955764420790444952086014360  
475737158086504771809227525324330154673295367941528433556422242  
290550554369785504682763455736903917670882048080131368224267317  
952421507901570770120393831225014188695842101861061861275957641  
121353880425265729992935864953261035198315772466759699959418181  
205723623289794504336057027437862945829808863606454639489806676  
767934158487663554406980701988837261501369516861058155242080148  
290758514422294112427708706654869195292085856431577672353772376  
070522315229349097087136292787185535102063582973214411313205920  
188289803795447124552973340266363099079552676457199199991670308  
881275029577861482814922341100547916666459541921990566549399066  
495699307240261363157464263637229828431359548985773614824890838  
246594363637533941527247035312726045684264916156290460365769370  
488688991027303502050420778941656513382219854188112637352581114  
536663780597417236611949531513100923935052967568573335454337224  
473710705656162831292245812777905290920753754116945562968368392  
925517245654272818114417974715129703184146713171757296509633774  
438466034586038157509444736860423376337750761843793231651517038  
479474828584791287239826544419575228432263907202504990646083305  
980370289481353124024342525689191956581836866452131305514364002  
064067096901844134930761910893839642434506777778018952402068197  
961361224058987938824929459102810115040924675292574336589908639  
982346583830332199184255663005220472907709731406899568045441614  
735441299544301670705704810963372889627882829174984472014872629  
807581105389847548394687714936078486804146525137042448136590655  
017618997525386367245154443482439679644332444806894093521926301  
599858452693285731520069810081448460590268287662403156020544620  
253561282986792378793754724497001620505435530328168644449193195  
817786321737603380147382131137147581988486471082442009029393863

717970295865705748230007495248262406968797993370462973635818740  
546670431262262137466081490146524798387444609245036918410615241  
505223244667404629756680812967765619910269416323292207934207710  
253085356771829819903381388373342718582619310060399126153751211  
260138403930121219398528198190923665355988379424381952381099947  
688791884272368877973553428252804978820503854091405582372647989  
974977304407813721424316324040258684937593559011127396588052188  
981344434526100546609678197784504050862413812804948731764746572  
840109083344012334393635175833477261110413564355600933374382183  
874335817852953471921524340931495789167997254069190002436673129  
752072793631921363439766561532478208420273502686802298796288083  
838938261835599218591362513138625554570897914778510241574967702  
953553108104481990229 [13964]

459635931645519955985931299470168171638269931796973943201291292  
610451345180753334883283364514089460882384057874331970549695916  
265620170255853384585072346665976752788626314073502455202492649  
231171027586718503712413787070341169689292576529047005845927688  
770413084652191564182238933687486166361462723733815766679537978  
745715773857719019101123262662287230153969216588966506212114448  
234353104814837337376235822497724901959221444246723289685761633  
942424888936813097245581345634797124275042397370968038019045100  
630657874548484670687789589100358792878226427797079618666665259  
299458694707896012651316755696569854077114027372956658854103356  
879187805881624421295161113416534262033414793276474227159687972  
260693936131995102139044060054352153180395665643566743128551949  
375722147732703072103758858858014894950442272173130833278146542  
857785470234006554037230084666853822920176091226453611514965160  
037671778025174805623236574860493937178614585079843591883802362  
313008205124136666113519880604089673514249301767635504760021802  
116441476440695627799188936164262999234528111598984170048872389  
673449799631481297955783043987239972188386853529348062597006106  
764485300100355944566669585844193904386604694533301711591115043  
975990327103498227544168111774362295782382906124994088869019656  
628088846559894718805344410037790761890158523630034888865753231  
335105230231919936038708234150369581013667425267484674560631734  
993891446219173543506266690717035336705327094065908913300091159  
931098012608412198145430183834347215221784936872951352652723417  
985103762477677901384089904289092779596850875143088497601064535  
204288520138604667347048224289555382544576027051433483601761419  
358919241777221066071872663262126312471398027840153046130891824  
245411568984669080383316247169677336755558044599199699469669611  
669886832074313577778526497187400213575251539884161187458922375  
088629317395007900489820016253654650041933288089686843731626179  
421760326406094711282437122847493472754652841340047898079760790  
928864292699516860126214285953002878087680391866868074104612953  
807204208251794268228417317967309523814961186542329722530967339  
162350549308065792760353730790217963973301162242954634883804605

332158473261918255231710229694804619788483458783761881492353135  
965396363238463619731530738652106304440102061184586790897790260  
530210297771141870753519190624725752305948554242970158612210475  
201179571778660714550870602380719029286851180327559574710752776  
196802411118507835025875560789975041047235578135681045098150749  
683379189251459613326759012941902790703072524904602216094737876  
883566035635432745911406343516551497116441635091465386823649832  
642028696313840157428134081593045883345840088446966003730734848  
210955517334964790450002135169435080947022571228007918142482321  
342838135394414620543134591342427925959310845318740116767360637  
909366996706812440363181553200956548341478403542119613700124287  
499187968207790210359019442840511223336366432038331959847363875  
068453346936337828381807512839125839013958163224678616956643391  
12725873315331817271734483301723165097300461164814408244001  
[14450]



603070419377785320878396754770335918811385881879969929849928445  
725032525720799749427928612814664952743456666361784488474588236  
096256996511243275501167379750137693444297177625982419422559723  
739123372393392723982944215504251728626721373629070782345788144  
286260312497777747516225644272632125172548431449974427980479554  
616407288323823852239582447779140079440211723487026048282698013  
424190788863065310032970526933523328345005337846908628729870813  
328762988800882479901675758303870554322387107219400948734963495  
497376497446313494579329858408821305662644569595252315011980845  
236477730021467175884603568398135784722119425440618888775888832  
189513671138320322283109868493734947211504499157300404094188760  
792656711963623043629153720054703597013777285992294060260441174  
975387772246356995045507039617900752613926153673152123758851915  
913789633560067175418012608319859044099334567172176208778969715  
154487310891573220891955962149759466109753399351530394272124194  
004717958804175429962994844868027435171287885086269788116103531  
971223951749505113571435127035567640379664223531479699882629287  
902421144365797749376204915052027057867175297444223872378225219  
276924917310522844338281845102036770831434069893737616830025891  
058229953360594803930395082747891420705947333111780432467653132  
339555585399960156178324135840000055410672181330800968019611533  
101046591198527919303522612052213497114757519818949723363559056  
403529167493461964145418838758846565116188039154110038955557352  
436050844875955873777526540567032348447633800294800864576750602  
472142054271128862157991546294199860952619149956101902844767310  
392657413917409926186294657279433772137368838603218945436384642  
948346026538699347437543191835253619782863765295691034506157689  
381775493442407526758656667248257830045035390246377298006566474  
537185396317406652084467466495807752798827960338878428929024075  
072811709936894116968802634852901802913713290807736437678190778  
842161799093235252521828255330685827587445232098544940831735452  
205080935209850380011132899544232250655497260916961214801006838  
827721514517212135915860499436930164758712910506759814938395133  
340921267167472244086872705171624998227137308135096761381077410

479186982994776342900699276824543700651554363906162655908834507  
635182883232597471494687913133098617951501015748965069794200358  
637251377462089263314537447156498949446992199863206502011866538  
378434476418976526245736206411770911180387067406764242132145763  
294007704776079559086256469640283900915971471587942667797831382  
542469223455630726402264623686169091169808186175072239425848760  
715637119758705496506798260336259536012096762906983305364893657  
670452857661938051911690674943354113162931952239448474470723038  
080997662691167692104204854371241380825491885730013554546568769  
228702121884765899439249307248427386839149904693830201896516252  
535017070683180074933832875878694121548566217956851768077643501  
665630184745095687812845589076045907589372719008777577653852786  
487952215824677686153182488320882692607619186952948600625643315  
538580073956313385139706494628871349027267336727208067211950921  
256822432782922081390392027277936762730639265525711005798347579  
337820135542940049224161998820300248141633208737160878213994085  
675591993270988614070972288968018327376153212499749679905100089  
981010108745707630017062345529208530053208672933302849796865165  
502945209125238462973835244367409444255384314294795047622875205  
400567755062365774011022689955614837459342307173590039710105084  
752495508447134592653602309142117394112351184950760898854392525  
189539509912112987734280631587593321736754115772252448317013812  
304637277489542033053500304202684618321825497674646632212184806  
320617787649099205899992727242069613788931660951955304799298365  
071365603380970672709976056903964311449271579004752029578525095  
333973536711805680354759289674320529622231047536104736928502178  
529400070740665548034327913940165235287810638226937192629891688  
267542231223859540360212910280506558300811145728576425496596304  
078519220332014435211336317627216093196391680196000822016756888  
138078651486745318972184593439497202998237863370157264407048699  
5515032653315349887388669356750254651 [19470]

C. Números primos da seqüência generalizada com  $k = 2$ ,  $G_1 = 2$  e  $G_2 = 5$ .

Estes são os números primos encontrados nos 20000 primeiros números da seqüência generalizada com  $k = 2$ ,  $G_1 = 2$  e  $G_2 = 5$ . A leitura deve ser feita da seguinte maneira:

*Número primo [índice do número dentro da seqüência Generalizada]*

Note que: 2 [1], 5 [2] e assim por diante.

2 [1]

5 [2]

7 [3]

19 [5]

31 [6]

131 [9]

1453 [14]

2351 [15]

42187 [21]

1981891 [29]

3206767 [30]

13584083 [33]

332484016063 [54]

66165989928299 [65]

146028309791690867 [81]

1619478772188347101 [86]

47020662244482792763 [93]

229030451631542624193448579 [125]

1569798068858809572115420691 [129]

232492485134052830921839055027210678729416149361457369596534215  
144061 [326]

479155237577163723796109754326949316521582410719452823753807916  
925505222445604169461776720656214911161353764078706840043129208  
9283912649706364406847148030026738069441981 [806]

447962236736093404152005908383609356960880097748815023518313455  
251581870233695742026845999291071113818642579508402218643365597  
95668778607933415002060875219629964471711430179 [825]

302117711603255864834350205106097788356129144197168650928969896  
871537712735387217670624301915341507918531653396605334671509706  
191796711899172562141004020550012027627106262761397951503717198  
151192275594245568880379578512880203 [1073]

238104890021677204290193364731378978592240528745149222218993103  
942639062581364141449906808891973425400616282475101952522904235  
697752738985382405331773646465470574755761079396359962422241121  
7093148525632467988107808735790979727038181 [1106]

923227483439386165343513443338723865722088854143055778126721249  
547320653242098505293379769076405108912993284160467179400679314  
617362948315961571763040768429667739769442197458844218583209336  
758435233526483379636196899765526138620310011679184338417204669  
816099478186485624419 [1305]

806935930867218602738259727573356441175095158396329481444806398  
929950464934131365483626064889694872476691594221431938492125194  
724322578721713144261693289983240367928014730885823964913565902  
893857272820253248446693701378008741512522270772106838881958843  
80450711166440991854258703487 [1343]

306331592009026257089390432969231923511162666468978037897976090  
085322747303241874007476823480126062909018541138420601064057558  
311907564657240907418377262841230631457391788249347832117427317  
133963589276548958995937395953896796486697852513853444577991676  
922166640241884175673596191494813725140856615526490481555308964  
377608726122148274445337829531962052395844639 [1719]

831515663285775842175608570649091214263119150980734403384634596  
470833379045382731896939486512544507384844645464596650005616668  
105244252540829110772956348623286768813941445198563681414440309  
021195739828673478199340349989230085294345298370972948607039207  
410215834726902270191684518039122400369624647925001942678921403  
67169785919530381166942967583026555251867843232139 [1745]

444877940853992767497787947582670655039423115250638945347424310  
976032935331202367773631614434871024602753679880124422246825882  
049096495257629493756206995491588013689239401316778090574533683  
502567353288501734186152004463721851203232528351310037137110093  
660478288633008445001360987701492071813872631571273397356059469  
734571253399314514209811990630486230356590053299124210348337624  
155732147001456792623630915229474826392779233253985732251020544  
489921742953648438208812041736454689551041318450591240808744265  
244764431732097597609877540421794845931006674653230197953773878  
790209288170237983846404739313406112056773186380458481636094651  
099081211754939918879998607341814224132751709040020512687252878  
59937041573102892057565765484298770111 [3495]

110960604842985282329535649342988216191881415991806068186435640  
322526231426434692924234705327135795565437752021561980163955962  
438264691171175644180297562436385573850629401353687915733889258  
015226001533031799283904148650669949249751099521063755057062631  
741806200251886342737544159761746197887352409046649216909898747  
590141737166328875436514657213459398149413817754928756963923806  
124290039873129460316171764431722445340989769329805788196098828  
350481907184711698940485020230022764414113809896308828375112657  
094893891541510274074142990396287301541825935847446592161510983  
571652832525279559227052208550838776933236246534243233151600032  
705327260092994320847844469196093796246590175764888383796726241  
198854436785878513184086300830903198831805566383391613739450900  
404343306390266427937302936540137140607186748584140693049658473  
203143692729887734983849178029488563470326874428486836138477961  
491 [4229]

989433776527832645402095863612393602001901627944301847573715738  
803532439459352384581880882849546731472738251567253507209895266  
392075013705068072334524672857514182391016844176481259454233650  
908552634156752212941993409764315520642532129406792595359299308  
240175319816625574349159772573427843670941334700957302103798847  
375153830878849053209956761951456008762148901656635130334239103  
760003241095718057960792015731185496179654684193067349684332861  
460265305470669083314039712490080874756046799310296330245634722  
218173324441331593103864495141108914384899578450045864949267669  
394879291045196229559788703471562638593535658638513142001673315  
637094403359322864718453851847287816099696777080213929020728233  
276214145749861977935157842666728863985383403668982159904756612  
969461115270882624483022327904809107018623679106012509869519084  
850730976827386919793604060491022235785062608572913376342008789  
440366771108202992920125193652809938672745615561542337819601692  
591 [4535]

118141721698157217854779460420137149272604815787281177498609667  
760618229778633049894375852390681980083711514724655420488918248  
896048827761159675934767225282882766306223203793738446872611357  
552016580286077462404957621420070374493677325237728161742743094  
894727551423314097790432124329450340135669389165244958198454345  
777014966348049532459342234829457788105708079814717613667284897  
809710538095441544273105545432583760909338131786565373895371884  
331456533454039502956838416356106994866778534008018830876318610  
351132310370664557670596173754110206999101512658795355188346877  
967816959416807238370004355963811565162939307293828789103992183  
144992019240541653802872927734215555238079050485174839432842458  
807883937362389190438869295461341234702167310566709314500696042  
849017700543618188212493158712996544605911771394969100356143283  
437211782111996576237221937925575242407807167664948822859117315  
212648343605248845731737123725304280355033287266101508450287887  
541514700917889440051155429529773832378512497821784376091766737  
751073323511634597543240069074276934997343305610032776892003679  
327704278117598982769269634436363108865774768527833857173495870  
654637125430305949901632687738006016763157290177852923699699755  
95958050738917637519342904780184029677971323469141604157 [5990]



476780933203221034392626963966832974913601588768253359313759169  
567645785718193978064620050785074228118477200205072437762738628  
696644594836282585700520965039020652779624156076196518848707540  
893229899058309455208567562737890591472458621227143663982352942  
575566157789674673159462938169468319036377906561021361607094288  
126623240219924721915160892350121912353300857642461277773165736  
924958483262055550304693507141247557311264099553373802731783152  
914941298378752707999568491019476989419703692256860881575753283  
669899857202592753547010253909135572139849630927601062961134902  
282567095419169334460514981489620699079033463713309909251520052  
728852400815978314072502240174289620412959893977951037042584876  
310250858865266376486532931796881476764729021596662110713738230  
926004991641689509290336476069595420891898558130569199371159045  
389129977958308782910171350146835620262486361178168513942257270  
931759878628314920457165529725615899630721258899863701816927333  
588372180159196712027955918966641987005277703009034834324919488  
597841485783358232726093930582368114400157690437716633564104079  
013155226996337077785917209196151893631640326652509325717693798  
048094795812534963220725749617305700223569787482095936581177587  
492134525544300573753998554361600503033763733652499289267936064  
697836415985816047340386394633822071799488665318363634645575578  
713503558231858215941223786232049037032016875187290123053612136  
50978603402540639379 [6725]

531007225082809068148391607367811004959882838097759552637584641  
015245932165326046350425401822078975447381827706795152005682362  
547486431626637556548962380919509464174789719195422631820900545  
911072641922780444082682527852850386649673941193886962830221995  
982429438888415796018751919424321349080998577464052645265961705  
259985528277322833768351899618916767252880616962078792243215354  
076069117019734980882455717115746917597344434558319062125513427  
044967492017188568783756513691854219572849060832445327775624999  
651263136922839794353083253237097673151836258963009017091155212  
730555576603096120551102121247530417789440538523002212832080555  
019870501906613595397966783134414957400189137262592370585776254  
303979169699814536767105696675067803600978089262050950654183077  
958257557709356243468118992609844000376485035808964824335079541  
623139836278314838984985608202256829316763275614168338723997696  
555636138884172467162612673901816603088069416369605988552611726  
259349737118837892834763541418392955734649459964463068359087178  
626817628985008731829020135285762313575121342447485360826868689  
142400726660735541424655923980721565342555874834499896302578114  
435971429507969610353511317621550160150598754947930948028344640  
484775283723373426406916032750737247564387713819911318863627501  
127166709124862627339789722129850931692856806127623751442287668  
692983956733399876723148630965280796767766570042207854128755375  
204383666288465360350184745636440714538615499398706950311702676  
622842867063789097757582359628864416143965716340675809437771772  
736456948576081388003926229083063610199152811094580688730987956  
351052662231305590925850844145719429854659299654242935257847196  
645314060042516398600677512109807902535459088452442036887466181  
721258280145195442865927329132499865405570921598810370724221658  
139736234118463704668283862233997332768527715058190696946609575  
775486173402148847413722153347416687810406967647255508948756621  
7767176171 [9089]

966144027007248421207625909756854828485663282642611077624527697  
841773752137923719599246641887337828514485398600881926319451929  
579542977814108092701774768870097820304113871320362448056512328  
783349052921630221791901812810253653405207826971032596080370701  
449737458623333018556149677182807101913219164414141292996513040  
575030972002575717181514702649013077205757546991196103277254598  
347892660301714141529092104807549438007430521169170949681075983  
766994234346374762827857791354352904209326641631379281222522560  
747448602094079174518571739288656533011996561247859136786209014  
062184726436956195661112990954542229688356669138394074645590253  
740127960231050636235212218817784348245422489741767884800271620  
964496163261720492327946874997614131915180557809466293182251477  
239112601189430815883776333260226798975230119958551601864142302  
992979678304889217116942193509620795289197731010991268121522139  
706243885001371304524816160150182596859583425022876646095862384  
391239905124574099114423398160721776200443170909777817805586397  
340482946764928911054772371604258250668771151501979844661474578  
521665335051845444488963562419358422025494804446674218857360607  
616281641157229681312094665893393670918617429683948780369995000  
207671646423766703020120552990730612075490496067662796344500501  
783680837071767457420316023426170261001502756779151957806899460  
189618541392950728915198568668589228134739266766148289674829957  
721703777627059150759937746689832178163928416015474700665666224  
516637444678643470635350002567877488696448406509619853361677982  
350026727660982719016153377859090443536525005378963245560141732  
936117296879714808142006471788092944213140942139217579859522513  
404102518444414294969347930474754460903825888034433327078292320  
468011023808657304702718727106869212694355193771517091772512361  
139276233376766693896198404804103882159314774023636905210906269  
712412111761359123663326151429281835781093039762375034102229776  
966788703179270488111928651825673192216251629726113088360507431  
509163461908095423127040147851490391582728400566137856970205944  
19813302274449904347 [9741]

274326391319369069561998388861187353683469745458593005184165082  
018012095578003608536532711773247173313632390164724651850245890  
693082249992042259028926077135565052356834322814780070831897185  
304026357330688636852350073652570799332174381212493683487504434  
746195789767391827440952307309684434980752052115117194874429002  
428875194163121354980836530671158357314451867187077325605534394  
683613645317694053049054327048067640021030883663940755429900029  
804649108524871343502461051988284716110886719936586280720683874  
477917513658937338790882740091972128775396088102031984173704147  
113646984365143470197000319199797768884974321482422257958989176  
802261883093624251513441431497381603865820386809861311918576768  
283022496968091247661914852518626368475265296790703324063836769  
759246571943562251786066944054098599307006760371125531761422246  
122230130899287097941021914907094240618471811721192058492676115  
422169578075015571778087351048717087196081965625146753843866609  
690836511440296501564526016102577551352035691185574394828979123  
655257783215119074291415387695786783346836668856784167270911260  
457520903875529843814781679904750766679437348058623231299213838  
577820878045023974481808094353951918257660628531909537191547812  
574091536795930690666523731734990442019611114507283755832032443  
794347306246242742315724022030131522208972837727755335226299554  
828013513041978206393398490236779038937784711255463563827662838  
889447803814698188475400654479264245537489233677472230030028376  
463326783668035924509485386023864918835348266567882785353318151  
318532084222343903028312015452697854954554290106199890016637291  
323555682720441190659069587817280355234368490984923795076674359  
471362371422505061627819368168273568696179879828296053062047840  
022568843117739274228542920996514138441126980478136714376627891  
658827116134747050013086759165808117579836690238152007524578816  
996138761006393916718648790890414931940176172662838079582339299  
521029675907479020162268983556584424593320097508723909930267861  
686571525938391878734374900536201993539350722126580431698767116  
117357075312721573661294890175438006679351669206091049357712442

248406540779759901296831254993204663313042346502334518521778786  
75655904167452364931427077 [10370]

108688039254767996320116427507870632231299748302399983121256141  
173013218214081632133415034633625763845634726234039448185234351  
057920393092250201373153273951175650526272587699066360976656272  
871381394140111432543083456839562254503665484250855651342971991  
769146338915303582405787530733553481569629904865875618513118911  
506290265378026637352881575883076174248404637739976201205417593  
755108148373525930740133450799945985108961775780873405005701235  
038885972592620535344403056178839676535353288436512659525470687  
355144673781618797288576795977920595637435083805344139515271892  
715415706563686481556075915493856926503167143393785078673315177  
027594104735330860187572503358311727990061824846188528773870532  
853052317418191150015584810237232885848331599172546769467747565  
841140101886609034463105193813852717577756813631897445713134148  
931955354265536366930077924757781835667086716474963133469245252  
271155277337831932059609906362993727542528208813942909752689315  
923182768969503078353551114202541078234284052307781607470505156  
134508118311272119517066582260984196799578550438109748842439934  
039023993748360454068614619391995766453457239599778010862717067  
353768228731585009533913841511569471521133759091716108116884242  
078646600419583687520007850987959416882363264126633988527560690  
631959567364167422216122893117399584390511286716260587234834502  
153210935289200749450055995919553018984677229677944158666070022  
933019210821329492412895221500301891617052029858943656216167009  
593695224924171163851970346151068174829133855862448133443509922  
358084173886332756930915626264385532897624208388519060004746262  
722327341505449135920257272235699318608631126233026334859245006  
827515465576638395847479266716666455804563597209913742477927411  
183112032573812704798836762472460821274767228255417695851449324  
456555135840835330364085247949406889058255047321100297793198604  
654352566531238299583598880422049385127995527121406561176978103  
588889358445495291780317238678126469674952307338365921020068932  
444120974043678613474860967536831263987321119209725322420237387  
071429614253004213378220032462367932442092274254631849540901899  
261887495063692306489803464606441566400812116523919221479823548

603944236353464714213211613374809550326038296829615015168697009  
717629697026257295555653200453990172239396450790667854728164449  
662151793916182534000764064955971493769959927536749241091664134  
381362090797637016857013280395324120195824527293730917683430919  
076989779784938599313515565647695830064452368494710257976524835  
347024823566156558332589401328203422892469174016485169803951795  
213862861902480628963600499634170665539199838635817436531240020  
552686192607669585729601064145491199674839204325218330164211619  
658202136158655153639574851712834074843468124986135300218751984  
293777164425095109922993400217766630501634748349859322997138224  
791461269550374359769851976358015725344918125731377949214905559  
709955837079122615444822307765807542388664252789503206064078093  
696708091255111041441441331284400726352329212638867950992973201  
700421989592589819314561636501393714882630023786845807135992271  
010272269065665698454295553764170092605348329821641962950391555  
020875173158415179328550809146417191004994960678000359142220770  
353435326984160961841089063345937772860423291925158700332963271  
425637843221023097186785975779791289296041381588351222884787491  
914736285573656521580178201946494113594906135973609049211001282  
754731048420696753418631235713785873214525625644011925287224323  
404239042357000672040602147777217380084849164569841247129560615  
520052563733174803517879524015186604961339390757646703021509181  
948746104102632526234944334751084659905693954097178435031994985  
082614847495058027027731771981982744477366584882072579293652155  
391778236325872658641001864278070532862114615751895639115159350  
103897102346659886270242671499717446606330732742203667596278454  
431438037450579641092296051379 [18225]

D. Números primos da seqüência generalizada com  $k = 2$ ,  $G_1 = 3$  e  $G_2 = 7$ .

Estes são os números primos encontrados nos 20000 primeiros números da seqüência generalizada com  $k = 2$ ,  $G_1 = 3$  e  $G_2 = 7$ . A leitura deve ser feita da seguinte maneira:

*Número primo [índice do número dentro da seqüência Generalizada]*

Note que: 3 [1], 7 [2] e assim por diante.

3 [1]

7 [2]

17 [4]

71 [7]

487 [11]

2063 [14]

37019 [20]

50493943 [35]

41260527855741160523 [92]

1938366527876006421329 [100]

200973718324544793595601057 [124]



605001031984641855792188397354823 [155]

20198130063098269902836666595934273607807 [191]

3284510854569149269570403282923784215924598396933301439 [259]

410074528479078104095579062313733746577870952930189407272233217  
956674890174190068978154935541144831 [470]

151829458963934055056970721726559691555378662465897128303163925  
793243140767222362716401641016455102568362487 [511]

115988973097041154856053338341994291140272926235058630269759224  
2384545898010775468946141896218812097926609112483938638495591  
[587]

122077537333583168811463907219565376741104654419917382379673456  
143473954268379698491865651742481131170512562332173725561840680  
637363496458730215030726855471969927339358763 [812]

185592516890794062724550852831280925173763506509252196738008241  
546040695745551699282999225630706393797141937690542668619673334  
006537125393113692217511734980217811827135251790958342097324599  
[899]

142877794073857177464882314625368338058438561718878809246438473  
187734604674425995211660836792425937527156267109250245705599627  
813655034534684199732246875852261623641933292938386743338249730  
712265157558717166496674979314319639300198528456174009225897535  
356447694490403972528870694109757337210191417325657360019200032  
487454916582764374836981336272652803772377715178396363048983365  
73791917219378739218552603338915991262999 [1999]

112604789914372502055572518192807788778174735615244180292797231  
799163226219662835788226874107986840808361241011082158068271507  
947965986623853601893500904325791338939197600196063257051730349  
307939861904273239997263251683025618511619842490164708806456207  
986861974746836803893925509479213899046064067643663295119874312  
593086275099777150025343637328990276445885338446885565686457977  
044192560825562076512885337255863653604185297753 [2032]

165111833621706367392867431093496895630655485586600342632952443  
810209243842890278172070506473605383247931546867666458568442958  
057369475556564330629981484427863765023227498966034403072557458  
161462479379709570161309590301698103053015282789401498129030266  
421412774386735883324336015138370047561278476617529503536632286  
508186185281521601653435126859429503269969472458593173875806677  
0233735435517159850848324340029777066458672276061739745415383  
[2095]

676409150917030297807008847481050855147309008297359648170408783  
550594207202670714427543373109754728131446155508711263054450652  
629362025024541914650176050352376147559136634776753895537190042  
238315369295473552922573001030610558496432725312353027756493141  
542075712288285733250821002836954121345295556157862546079425019  
748382372156381412061154650289608621054491823912305793996758110  
266831725870907297712299625354975692887851687845162438847921877  
711172936566471524057507508437557940959618479735211057179537426  
264471872868401155541378864500644152907994609534288464783897365  
394029306610146827566668921516332431536134068551090130850227238  
8967 [3031]

826825555615507138137110786283192783971431299422592517910963845  
224624948798041329518473890990841344839312770045871739238906833  
928397823436811582294885846536408157311288440852501471150185083  
296324825237334726600086815336841543267282749338105026277318918  
011150157342225093227299564254275182917306557220718035702752095  
397570238535281173927200373133879276003300290162965599518209381  
010915658119488980273013448035350109684837352225816683719941725  
821716677022799303645656089717972001005254296831338868686048963  
412719916185977358945264130118118570153321952624212236458851659  
365739664024097422478698751321714891166913335831649479818111652  
236195147393132436049353959022774727724831655797321783109716656  
0139411099760430017479 [3419]

412456141219629204803380013376761207785859405416337752379439138  
812250582396463451135506100485509501151112998086374896855238984  
912337235683555153732975228672338807483319416231625397064356319  
867992607198197625428078739059134259271270684637540758907928200  
566567142278695618211156627621431194822320299043981042568436941  
363848652345701801781864607614121520706688331939841766090443742  
10571513293553909822393548233804307538136640294036455242548514  
245023558794780439028018309531844369152696431522080407456951679  
177145343719255747694893565686784493109626779850535672831390981  
151711087732937564127255317480558340140844631164696078942353096  
212862594911935642819841016763570234855693579325739592346477975  
797026786566821351779183656695379232516355654113252296552785435  
903906012269010586144294395747061346835603914672892489794089666  
354925067585289660060619656866014547724087075270908129276273597  
767 [4231]

625855164451020985084698918421248184329394185329596995840405011  
143044588001372591144687232352308871307338422458658642076425998  
656849183482228424594412215012219931690899978208896744714973074  
853089107887378074666221647732800143777025532181324190956355506  
351374093896998503232019979501269688863704514045464829719501315  
731755332474177978756115345698046198239503058002971811600805702  
479591586196721864300583974097984146006486690494567360501235468  
016459094285624727638518890572388041326573221738775987621785375  
115933683993096698009443476341526875016704351089939434518474744  
798746669928608955956304146944284163571354708826434283379351761  
091007782934476735394336621725618865841082940072513732283459841  
906073290353687242833278712735397599718340943960504543536559782  
352458242268042484641015210304946486259973194477255449313199984  
824971817763820040182613672312855999969922150947499330044399741  
106477752514626549512464669056137085655488763522481295529084202  
182191073507576301799296002922863231290606378475036505312091265  
507696780433802808314769850454692887845460987091453263057458951  
678129423262326046503652080907100711790833757679826910313484829  
087729954467822919736341054250029684299034559807682446046465071  
065702607223807217690768895749066648703895654821718267525805675  
953326354346415655532531619296420360629322493993918111038238545  
921220765178340416455891541546151911475330469864726057319298771  
432666090192046426951650122211006540766710985481821961105273409  
12783903810527357428515423 [7055]

232531553579525677634394285594095168638403091447165953999593182  
075166685651148351499778568214609919241821891501782634563639426  
711635722292975876547080613615378084349033166235195361450080589  
742796507729660041187388646772806460148748372513461926179979612  
419945892108091692604497242368162505470438017022689038528600148  
392041787673465750687808655305225544427342034953044805446450662  
582458934536517493729681117262602076657064421645615666848673089  
462998830452119958529493445729429034127881577171398758122756286  
426697749873343090098686528241369361024689138508645646821414708  
751203311990355824951547664723251174063803323549461273020270557  
584988394762013478624970474940543378496167404255162069462913567  
197685468644449360602118788717950497377873186760968053988883299  
852920541468635457118181833064312434782706315406900989036788184  
81296871808843222284425176420329932152604800098264101370029023  
735596687411853213112872944294131650590950962335309107255756130  
551288161826921699565331944936437133276354899069953814385866782  
926595190098942823551287499070567899873430439325516569506675244  
424381107495040789040770330175955031316155112595718136279657697  
177905625293766651503282453161468731231063844057214262199753041  
892208909547592209397441385911074623748965983730096742088011651  
964667488021060792235611451576473511630091592283948323205527279  
345839658880520148924491678577438363170012956422395492037645281  
046425905598055329273748976952957549279041200439839488749747564  
713476891508763395845279048462772189918926495004781816720482708  
164137008695207701337376669410091035752528401161580871223810099  
220251619674887153356314769942338341031234074993707601396765627  
706472336713918566691804178189721816573045398295537610554686980  
176144561786246853171234225794479018375095800784911748891887154  
230619594731836443911309234185354090571921677405653741320064076  
551303290653194897502036880365986029093896510197255165710217602  
319300084633145448630280283729257717751920702443456561943360190  
243572124349539461814091072642774970461096710854666128318933314  
161036807493822256462313104226870755459193976730015494884449762  
145441835913615891360579520817158482548491960320544424598903688

028108389704458770582199353716594781140040136277205153315157640  
668002852397166872928139864364985260173044063191859663785393943  
436021956978065181581909690889638140542323571863911684538076789  
375946504979323017013639919552791989063483204536122770391845159  
42112054450404369681951834224622674036570037198074809268032631  
[11747]

E. Números primos da seqüência generalizada com  $k=3$ ,  $G_1=1$ ,  $G_2=2$  e  $G_3=3$ .

Estes são os números primos encontrados nos 19000 primeiros números da seqüência generalizada com  $k=3$ ,  $G_1=1$ ,  $G_2=2$  e  $G_3=3$ . A leitura deve ser feita da seguinte maneira:

*Número primo [índice do número dentro da seqüência Generalizada]*

Note que: 1 [1], 2 [2], 3 [3] e assim por diante.

2 [2]

3 [3]

11 [5]

37 [7]

634061 [23]

7256527 [27]

1424681173049 [47]

123937002926372177911 [77]

1162645445259645761067186771261917789886280958272456912271142219571728  
7525967039283737539228103088521392368347570190349402916473361073627530  
4212849107570128456636811335313319095073179198057393971950178645856131  
0952745946289738183796905255353904345218364364154709232727416673908288  
6102458107761785566403040655482190296897713990172972514186473587602953  
8303615510053640582984188419440219927784134064038384956008172207640820  
4585031 [1611]



1515943909415591092192401065006903636103894228268727461759652020730696  
5248864554972754888112747365859582160039751707662881578938344579281598  
3433477896770738654273238303863272350320765790631220557835533509821287  
7857893665506519564029397007553551652251297871575339899703348881482383  
0655969181723633453947738752305137853484962448149339517327799321643908  
2445963402616612445924330166534453886172538771456032926351007024033322  
7758134169708190978141956781156301642490134798979403193964128010630895  
7160783567844996223632108708464882819293900983109687436422847110972303  
1728525670452872411788405016843534113561983023975555957836948497515751  
0858050052346897703285350066556969808218493546106029869499931893929601  
5606469533124842805086138040156917385516977838908397077234852641009113  
3065928024012747697108012501653850860449771508345254987479556750690434  
9907590044846418339543264220547866301138222175444099391754315346787450  
3985873899978813894988917753616565697458498146641698413156552433235418  
6820661690855796636722353546150919489585050141091574999260020834573733  
3868287147379105531228953133718432732683738097890963631139263035995343  
9116708726322917051890760276238657015339002302647400542192009142158567  
1429939580039181587746565748226915217610904710499972336253559747677549  
5675472902902060030486058956184057523383461235524371452999070634738135  
8766606985847162608794967980406625078302920009151335302024875141680861  
0919994230075813706954238926514818711786506753073536140178577057959288  
7886282478410113889251732105729097570599938700737230822621764863322134  
2559752982629282020008278088092238826590771722547921761090585827474266  
2952689487111384628647769744720935081875864918002664200031261312976616  
1119296754116324590544457141302067871388168948689337030899588022420590  
0397743303502453236235153997589037199635084154594147207862510250259687  
0036481954738784715791135710821605106166679165375950666230725450046229  
9823000814116555793706962612010795234583181570923410027111609197529572  
9453896258983191232277817028624794822455940654179942152623972833674099  
9307455873876741136860873060625568929396482089345515060722164535225766  
8670220982894808697485656911890877317363690043861538155205814437040242  
0732382795665848649717313038166188441300652009991921695743060101443810  
3466189704402468891377461013014024972445808306178736296207689280212781  
4004162050425969698818202804071939669406066783879141753011717076608662

2760132288264025106495102538131988406706487352141805483030787498500106  
7431731580028409376666715882919637030353804615865178726888635029576153  
9692798391787412104764417200754241652204923735763763676137864895817707  
5892208285789186341692492561323752478574346690182455847867868162006543  
8416060857893865676279523252132696936525293675818981092795394218256903  
0581400077272831253294675629058593139855743919432395419687657213525577  
9296554283821902703812133409327145937873131601455555416470862483909322  
5070354817035146131996200831799735039481833807477127077684384696720421  
7526040020076782186185492759099435177087793090571150254165039210397837  
7876671659836222927572186762816888964449858105977585940212773544907415  
8256819491513955075468173153782102459244411995524840810010201076864259  
0656801357717468674232358036038368465198307927413667052655953571147089  
1095554288286676049418203966849867364295890257046580240852927954325779  
6617407734992414916546548333942223130989239271717667942672137209898030  
3869780018174884250448347521388829313732743262902348000584427954600158  
2160523370992703487177895875948975871562136099782178126284656640899754  
9355902931663108887441136943317939486997722932344664078637665056824424  
2746932156093166500928480606382519461386404780086205850291495001567461  
2470552938347943814859033297664831868075711204862410851781097130177904  
8943250532816445408832917775998003852788414511340342981813784744394776  
7359912451070704166263784902251916049116843867604307745253274743448689  
2767099445675367822189331124658582700715799597090701518043402639424741  
4376880538909307051869925881826167734574343536585714639725780775906601  
5701592421510977277495860396994931 [15203]

F. Números primos da seqüência generalizada com  $k = 4$ ,  $G_1 = 1$ ,  $G_2 = 2$ ,  $G_3 = 3$  e  $G_4 = 4$ .

Estes são os números primos encontrados nos 19000 primeiros números da seqüência generalizada com  $k = 4$ ,  $G_1 = 1$ ,  $G_2 = 2$ ,  $G_3 = 3$  e  $G_4 = 4$ . A leitura deve ser feita da seguinte maneira:

*Número primo [índice do número dentro da seqüência Generalizada]*

Note que: 1 [1], 2 [2], 3 [3], 4 [4] e assim por diante.

2 [2]

3 [3]

19 [6]

1847 [13]

12354163586573353 [58]

62650119569526184337 [71]

1045587180235646638890118089975878747615648535017592579451262223184344  
2626512788983296887859335336688371 [363]

7403613774828869237263279089772518975188365524832488189682507197794613  
311956933550612493365051696458728551 [373]

4732093762031137349046962861873167000934715341064637895418713674664427  
553541051438862001782444505379558614178991675182440556851 [446]

9695652224494150611326024624548263566474585489792483758489748139903518  
0486829236516225812880149509637011866873835372744127966225988521347725  
2497111917974021320589708839674417730004663429125766916286272384192616  
7351448824422334722137007392846326866906682960034238322176814407591648  
2647761061412529574209284144807242845783916560955759506528904114551891  
4088135887936342970221969358095489112000281070278219535828491981553191  
3238708215022502263592551224642620060945682509850544638686226350614062  
206286182172234318624081431331 [1826]

1293762457013035161611528965458250221898436257789360221984163820319687  
6301870892588715432943178419532362283333558500580038744671095591780644  
1394165744345262362427705891992009613135302789226119260703564514336603  
8546360092372678334291985886575574455442451795600835096873314221312200  
9093102927330469801794299573051724711662867960399399783396640544308595  
2946532418181945062668617548565715024672967103670485918334229690241229  
6708554752442643623700219894346542775734274141614679290834341891758042  
5073812983824583653528714932639928464327163118184402025986780955753002  
4521139328440542206448395891850718480021003368911458503533662950603325  
9760994043648121711015027395835013809474922058596419596041177453871549  
7 [2458]

